

การเตรียมวัสดุเชิงประกอบโคโตนและไฮดรอกซีอะพาไทต์ด้วยกระบวนการแพร่ผ่านแผ่นเยื่อ

นางสาวดุสิตา สหาวัตร

วิทยานิพนธ์นี้เป็นส่วนหนึ่งของการศึกษาตามหลักสูตรปริญญาวิทยาศาสตรมหาบัณฑิต
สาขาวิชาวิทยาศาสตร์พอลิเมอร์ประยุกต์และเทคโนโลยีสิ่งทอ ภาควิชาวัสดุศาสตร์
คณะวิทยาศาสตร์ จุฬาลงกรณ์มหาวิทยาลัย
ปีการศึกษา 2550
ลิขสิทธิ์ของจุฬาลงกรณ์มหาวิทยาลัย

PREPARATION OF CHITOSAN/HYDROXYAPATITE COMPOSITES VIA MEMBRANE
DIFFUSION PROCESS

Miss Dusida Sahawat

A Thesis Submitted in Partial Fulfillment of the Requirements
for the Degree of Master of Science Program in Applied Polymer Science and Textile Technology

Department of Materials Science

Faculty of Science

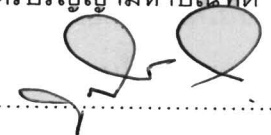
Chulalongkorn University

Academic Year 2007

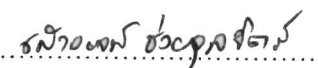
Copyright of Chulalongkorn University

หัวข้อวิทยานิพนธ์ การเตรียมวัสดุเชิงประกอบโคโคซานและไฮดรอกซีอะพาไทต์ด้วย
กระบวนการแพร่ผ่านแผ่นเยื่อ
โดย นางสาวดุสิตา สหาวัตร์
สาขาวิชา วิทยาศาสตร์พอลิเมอร์ประยุกต์และเทคโนโลยีสิ่งทอ
อาจารย์ที่ปรึกษา อาจารย์ ดร.วันเพ็ญ เตชะบุญเกียรติ

คณะวิทยาศาสตร์ จุฬาลงกรณ์มหาวิทยาลัย อนุมัติให้บัณฑิตวิทยาลัย
หนึ่งของการศึกษาตามหลักสูตรปริญญาโทบัณฑิต

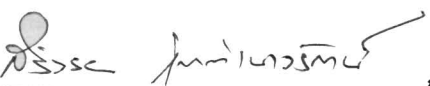

..... คณบดีคณะวิทยาศาสตร์
(ศาสตราจารย์ ดร.สุพจน์ หารหนองบัว)

คณะกรรมการสอบวิทยานิพนธ์


..... ประธานกรรมการ
(รองศาสตราจารย์เสาวรจน์ ชัยจลจิตร์)


..... อาจารย์ที่ปรึกษา
(อาจารย์ ดร.วันเพ็ญ เตชะบุญเกียรติ)


..... กรรมการ
(รองศาสตราจารย์ ดร.เข้มชัย เหมะจันทร์)


..... กรรมการ
(ผู้ช่วยศาสตราจารย์ ดร.สิริวรรณ กิตติเนาวรัตน์)

ดุสิตา สหาวัตร : การเตรียมวัสดุเชิงประกอบโคโตซานและไฮดรอกซีอะพาไทต์ด้วยกระบวนการแพร่ผ่านแผ่นเยื่อ. (PREPARATION OF CHITOSAN/HYDROXYAPATITE COMPOSITES VIA MEMBRANE DIFFUSION PROCESS)

อ.ที่ปรึกษา: อ.ดร.วันเพ็ญ เตชะบุญเกียรติ, 81 หน้า.

งานวิจัยนี้ศึกษาการเตรียมวัสดุเชิงประกอบโคโตซานและไฮดรอกซีอะพาไทต์ด้วยกระบวนการแพร่ผ่านแผ่นเยื่อ ในกระบวนการนี้ใช้แผ่นเยื่อเซลล์อัตรการแพร่ผ่านของแคลเซียมไอออนและฟอสเฟตไอออนไปยังสารละลายโคโตซานทำให้เกิดเป็นไฮดรอกซีอะพาไทต์ในสารละลายโคโตซานแล้วนำสารละลายผสมที่ได้ไปขึ้นรูปเป็นแผ่นฟิล์ม จากการทดลองหาภาวะที่เหมาะสมในการเตรียมวัสดุเชิงประกอบโคโตซานและไฮดรอกซีอะพาไทต์ พบว่าเวลาในการแพร่ผ่าน 72 ชั่วโมงและความเข้มข้นสารละลายโคโตซาน 1.75 เปอร์เซ็นต์โดยน้ำหนัก เป็นภาวะที่เหมาะสมสำหรับกระบวนการแพร่ผ่านแผ่นเยื่อ ลักษณะสัณฐานวิทยาจากกล้องจุลทรรศน์อิเล็กตรอนแบบส่องกราดพบไฮดรอกซีอะพาไทต์มีลักษณะเป็นกลุ่มก้อนรูปเข็ม เมื่อใช้ความเข้มข้นของสารละลายแคลเซียมคลอไรด์ 0.2 โมลต่อลิตร และสารละลายโคโซเดียมไฮโดรเจนฟอสเฟต 0.12 โมลต่อลิตร แต่จะพบการรวมตัวเป็นกลุ่มก้อนของไฮดรอกซีอะพาไทต์ เมื่อใช้ความเข้มข้นของสารละลายทั้งสองสูงขึ้น จากเทคนิคเอกซเรย์เอกซเรย์ดิฟแฟรคชันฟูเรียร์ทรานสฟอร์มอินฟราเรดพบพีกลักษณะเฉพาะของหมู่ฟอสเฟตและเอ็กซ์เรย์ดิฟแฟรคชันแสดง 2 θ พีกของผลึกไฮดรอกซีอะพาไทต์ จากผลการทดลองนี้ชี้ให้เห็นว่าสามารถสังเคราะห์ไฮดรอกซีอะพาไทต์ในสารละลายโคโตซานที่มีการกระจายตัวที่ดีได้ด้วยกระบวนการแพร่ผ่านแผ่นเยื่อ เนื่องจากเมื่อเพิ่มความเข้มข้นของแคลเซียมไอออนและฟอสเฟตไอออน ยังคงมีแคลเซียมไอออนหลงเหลืออยู่ภายในโมเลกุลโคโตซานหลังจากการก่อเกิดไฮดรอกซีอะพาไทต์ และส่งผลให้เกิดคิเลชันระหว่างโคโตซานและแคลเซียมไอออนที่หลงเหลือได้

ภาควิชา วัสดุศาสตร์

ลายมือชื่อนิสิต...ดุสิตา สหาวัตร

สาขาวิชาวิทยาศาสตร์พอลิเมอร์ประยุกต์และเทคโนโลยีสิ่งทอ ลายมือชื่ออาจารย์ที่ปรึกษา...อ.ดร.วันเพ็ญ เตชะบุญเกียรติ

ปีการศึกษา 2550

4872585523 : MAJOR APPLIED POLYMER SCIENCE AND TEXTILE TECHNOLOGY

KEY WORD: CHITOSAN / HYDROXYAPATITE / TISSUE ENGINEERING

DUSIDA SAHAWAT: PREPARATION OF CHITOSAN/HYDROXYAPATITE COMPOSITES VIA MEMBRANE DIFFUSION PROCESS.

THESIS ADVISOR: WANPEN TECHABOONYAKAIT, Ph.D., 81 pp.

This research studied the preparation of chitosan/hydroxyapatite composite via membrane diffusion process. In this process, membrane was used to slow down the diffusion rate of Ca^{2+} ions and PO_4^{3-} ions to chitosan solution, resulting in hydroxyapatite formation into chitosan solution. The obtained mixture solution was then cast to be film. To study the appropriate condition to prepare the chitosan/hydroxyapatite composites, diffusion time 72 hour and chitosan concentration 1.75 wt% were found to be the appropriate condition for membrane diffusion process. SEM observation showed cluster of needle-shaped of hydroxyapatite when using 0.2 M calcium chloride solution and 0.12 M disodium hydrogen phosphate solution, but showed the aggregation of hydroxyapatite when using higher concentration of both solutions. From ATR-FTIR showed specific peak of phosphate group. XRD showed 2θ peak of hydroxyapatite crystal. From these results indicated that hydroxyapatite can be synthesized into chitosan solution with good dispersion by membrane diffusion process. Due to some Ca^{2+} ions remaining inside chitosan molecule after hydroxyapatite formation when increasing Ca^{2+} ions and PO_4^{3-} ions concentration, resulting in the chelate formation between chitosan and the remaining Ca^{2+} ions.

Department Materials Science

Student's signature... *Dusida Sahawat*

Field of study Applied Polymer Science and Textile Technology Advisor's signature... *Wanpen Techabomyakit*

Academic year 2007

กิตติกรรมประกาศ

วิทยานิพนธ์ฉบับนี้สำเร็จลุล่วงตามวัตถุประสงค์ที่ตั้งไว้ได้อย่างสมบูรณ์นั้น เป็นเพราะได้รับคำแนะนำทางด้านวิชาการ ความเอื้อเฟื้อทางด้านเครื่องมือ วัสดุดิบ และสถานที่สำหรับการทำวิทยานิพนธ์ อีกทั้งได้รับความช่วยเหลือ และการแนะนำในการทำวิทยานิพนธ์จากผู้ทรงคุณวุฒิในด้านต่างๆเป็นอย่างดี ข้าพเจ้าจึงใคร่ขอขอบพระคุณบุคคลและหน่วยงานที่เกี่ยวข้องซึ่งมีรายนามดังนี้

1. ดร.วันเพ็ญ เตชะบุญเกียรติ อาจารย์ที่ปรึกษาวิทยานิพนธ์ ที่ให้คำปรึกษาในการแก้ไขปัญหา และแนะแนวทางในการทำวิทยานิพนธ์ รวมถึงการจัดทำวิทยานิพนธ์ฉบับสมบูรณ์
2. รองศาสตราจารย์ เสาวรจน์ ช่วยจุลจิตร ประธานกรรมการสอบวิทยานิพนธ์ ที่ให้คำแนะนำและแนวคิดที่เป็นประโยชน์ต่อการจัดทำวิทยานิพนธ์ฉบับสมบูรณ์
3. รองศาสตราจารย์ ดร. เข็มชัย เหมะจันทร์ กรรมการสอบวิทยานิพนธ์ ที่ให้คำแนะนำ และช่วยตรวจสอบการจัดทำวิทยานิพนธ์ฉบับสมบูรณ์
4. ผู้ช่วยศาสตราจารย์ ดร. สิริวรรณ กิตติเนาวรัตน์ กรรมการสอบวิทยานิพนธ์ ที่ให้คำแนะนำ และช่วยตรวจสอบการจัดทำวิทยานิพนธ์ฉบับสมบูรณ์
5. ภาควิชาวัสดุศาสตร์ คณะวิทยาศาสตร์ จุฬาลงกรณ์มหาวิทยาลัย ที่ได้เอื้อเฟื้อสถานที่อุปกรณ์และสารเคมีที่ใช้ในงานวิจัย รวมทั้งเจ้าหน้าที่ทุกท่านที่ได้ให้ความช่วยเหลือ และอำนวยความสะดวกระหว่างการทำงานวิจัย
6. ศูนย์เครื่องมือวิจัยวิทยาศาสตร์และเทคโนโลยี จุฬาลงกรณ์มหาวิทยาลัย และภาควิชาเคมี คณะวิทยาศาสตร์ จุฬาลงกรณ์มหาวิทยาลัย ที่ให้ความช่วยเหลือในการวิเคราะห์สารต่างๆ

สุดท้ายนี้ ขอกราบขอบพระคุณ บิดา มารดา ที่ให้การสนับสนุนและให้กำลังใจในการทำวิทยานิพนธ์จนสำเร็จลุล่วงด้วยดี อีกทั้งอาจารย์ทุกท่านที่ช่วยประสิทธิ์ประสาทวิชาความรู้ให้แก่ข้าพเจ้า จนสามารถสร้างสรรค์วิทยานิพนธ์ฉบับนี้ได้เป็นผลสำเร็จตามที่มุ่งหวังไว้

สารบัญ

	หน้า
บทคัดย่อ(ภาษาไทย).....	ง
บทคัดย่อ(ภาษาอังกฤษ).....	จ
กิตติกรรมประกาศ.....	ฉ
สารบัญ.....	ช
สารบัญตาราง.....	ฎ
สารบัญภาพ.....	ฏ
บทที่	
1. บทนำ.....	1
2. ทฤษฎีและงานวิจัยที่เกี่ยวข้อง.....	4
2.1 ความรู้พื้นฐานเกี่ยวกับไคตินและไคโตซาน.....	4
2.1.1 กระบวนการผลิตไคตินและไคโตซาน.....	5
2.1.2 ตัวอย่างการนำไคติน-ไคโตซานไปใช้งานทางด้านการแพทย์และเภสัชกรรม.....	7
2.1.3 ข้อจำกัดในการนำไคโตซานไปใช้งานด้านวิศวกรรมเนื้อเยื่อกระดูก.....	10
2.2 ไฮดรอกซีอะพาไทต์.....	10
2.2.1 ความสามารถในการละลายของไฮดรอกซีอะพาไทต์.....	11
2.2.2 การเตรียมไฮดรอกซีอะพาไทต์.....	12
2.2.3 การสังเคราะห์ไฮดรอกซีอะพาไทต์.....	12
2.2.4 สารประกอบจำพวกแคลเซียมฟอสเฟตอื่นๆ.....	14
2.2.5 การประยุกต์ใช้งานของไฮดรอกซีอะพาไทต์ในทางการแพทย์.....	15
2.3 วิศวกรรมเนื้อเยื่อ.....	16
2.4 วัสดุเชิงประกอบ.....	18
2.4.1 ความหมายของวัสดุเชิงประกอบ.....	18
2.4.2 ชนิดของวัสดุเชิงประกอบ.....	18
2.5 งานวิจัยที่เกี่ยวกับการเตรียมวัสดุเชิงประกอบพอลิเมอร์และไฮดรอกซีอะพาไทต์....	19

บทที่	หน้า
3. วิธีการทดลอง.....	24
3.1 สารเคมีที่ใช้ในการทดลอง.....	24
3.2 อุปกรณ์และเครื่องมือที่ใช้ในการทดลอง.....	25
3.3 เครื่องมือที่ใช้ในการวิเคราะห์.....	25
3.4 ขอบเขตของการทดลอง.....	26
3.5 วิธีการทดลอง.....	27
3.5.1 การเตรียมวัสดุเชิงประกอบไคโตซานและไฮดรอกซีอะพาไทต์ด้วย กระบวนการแพร่ผ่านแผ่นเยื่อ.....	27
3.5.2 การหาภาวะที่เหมาะสมในการเตรียมวัสดุเชิงประกอบไคโตซานและ ไฮดรอกซีอะพาไทต์.....	28
3.6 การวิเคราะห์และทดสอบ.....	32
3.6.1 การวิเคราะห์อัตราส่วนระหว่างสารอินทรีย์และสารอนินทรีย์.....	32
3.6.1.1 การวิเคราะห์อัตราส่วนระหว่างไคโตซานและไฮดรอกซีอะพา ไทต์ด้วยเทคนิคเทอร์โมกราวิเมตริก แอนนาลิซิส (Thermogravimetric Analysis, TGA).....	32
3.6.2 การวิเคราะห์คุณลักษณะของไฮดรอกซีอะพาไทต์ที่สังเคราะห์ได้ด้วย กระบวนการแพร่ผ่านแผ่นเยื่อ.....	32
3.6.2.1 วิเคราะห์ส่วนประกอบทางเคมีด้วยเทคนิคแอทเทนนูเอตเตด โททอลรีเฟลกชันฟูเรียร์ทรานสฟอร์มอินฟราเรด (Attenuated Total Reflection Fourier transform Infrared , ATR-FTIR).....	33
3.6.2.2 การวิเคราะห์ความเป็นผลึกของไฮดรอกซีอะพาไทต์ด้วยเทคนิค เอกซ์เรย์ดิฟแฟรคชัน (X-ray diffraction, XRD).....	34
3.6.2.3 วิเคราะห์ลักษณะสัณฐานวิทยาภายนอกของวัสดุเชิง ประกอบด้วยกล้องจุลทรรศน์อิเล็กตรอนแบบส่องกราด (Scanning Electron Microscope, SEM).....	35
3.6.2.4 วิเคราะห์อัตราส่วนระหว่างแคลเซียมและฟอสฟอรัสของไฮดรอก ซีอะพาไทต์ด้วยกล้องจุลทรรศน์อิเล็กตรอนแบบส่องกราด (Scanning Electron Microscope, SEM) พร้อมเครื่อง วิเคราะห์ธาตุในโครงสร้างจุลภาคชนิดแจกแจงพลังงานรังสี เอกซ์ (Energy X-ray Dispersive Spectroscopy, EDS).....	35

บทที่	หน้า
3.6.2.5 การทดสอบอัตราการบวมตัวของวัสดุเชิงประกอบโคโตซาน และไฮดรอกซีอะพาไทต์	36
4. ผลการทดลองและวิจารณ์ผลการทดลอง.....	37
4.1 การเตรียมวัสดุเชิงประกอบโคโตซานและไฮดรอกซีอะพาไทต์ด้วยกระบวนการ แพร่ผ่านแผ่นเยื่อ.....	38
4.2 การหาภาวะที่เหมาะสมในการเตรียมวัสดุเชิงประกอบโคโตซานและไฮดรอกซีอะ พาไทต์.....	41
4.2.1 การศึกษาหาเวลาที่เหมาะสมในการเตรียมวัสดุเชิงประกอบโคโตซาน และไฮดรอกซีอะพาไทต์.....	41
4.2.2 ศึกษาอิทธิพลของความเข้มข้นของสารละลายโคโตซานต่ออัตราส่วน ระหว่างโคโตซานและไฮดรอกซีอะพาไทต์ของวัสดุเชิงประกอบ.....	44
4.2.3 อิทธิพลของความเข้มข้นของสารตั้งต้นที่ใช้ในการสังเคราะห์ไฮดรอก ซีอะพาไทต์ต่ออัตราส่วนระหว่างโคโตซานและไฮดรอกซีอะพาไทต์ของ วัสดุเชิงประกอบ.....	46
4.3 การวิเคราะห์ส่วนประกอบทางเคมีด้วยเทคนิคแอสเทนนูเอทเททโททอลรีเฟรกัน ฟูเรียร์ทรานสฟอร์มอินฟราเรด (Attenuated Total Reflection Fourier transform Infrared, ATR-FTIR).....	53
4.4 การวิเคราะห์ความเป็นผลึกของไฮดรอกซีอะพาไทต์ด้วยเทคนิคเอกซ์เรย์ดิฟแฟรค ชัน (X-ray diffraction, XRD).....	54
4.5 การวิเคราะห์ลักษณะสัณฐานภายนอกของวัสดุเชิงประกอบด้วยกล้องจุลทรรศน์ อิเล็กตรอนแบบส่องกราด (Scanning Electron Microscope, SEM).....	55
4.6 การวิเคราะห์อัตราส่วนของแคลเซียมต่อฟอสเฟตของวัสดุเชิงประกอบด้วยกล้อง จุลทรรศน์อิเล็กตรอนแบบส่องกราด (Scanning Electron Microscope, SEM) พร้อมเครื่องวิเคราะห์ธาตุในโครงสร้างจุลภาคชนิดแจกแจงพลังงานรังสีเอกซ์ (Energy X-ray Dispersive Spectroscopy, EDS).....	56
5. สรุปผลการทดลองและข้อเสนอแนะ.....	61

	ญ
บทที่	หน้า
เอกสารอ้างอิง.....	64
ภาคผนวก.....	68
ภาคผนวก ก.....	69
ภาคผนวก ข.....	74
ภาคผนวก ค.....	76
ภาคผนวก ง.....	78
ภาคผนวก จ.....	80
ประวัติผู้เขียนวิทยานิพนธ์.....	81

สารบัญตาราง

ตาราง		หน้า
ตารางที่ 2.1	ลักษณะการเรียงตัวของเส้นใยในโคติน	4
ตารางที่ 2.2	แคลเซียมฟอสเฟตชนิดต่างๆ ที่มีอัตราส่วน Ca:P แตกต่างกัน.....	15
ตารางที่ 3.1	แสดงสารเคมีที่ใช้ในการทดลอง.....	24
ตารางที่ 3.2	แสดงเครื่องมือที่ใช้ในการวิเคราะห์.....	25
ตารางที่ 3.3	แสดงอัตราส่วนโดยโมลระหว่างแคลเซียมคลอไรด์และไดไฮดรอกซีไอโซโครเจนฟอสเฟต.....	31
ตารางที่ 3.4	พีค FTIR ของโคโตซาน.....	34
ตารางที่ 4.1	ร้อยละของไฮดรอกซีอะพาไทต์ในบริเวณที่แตกต่างกัน ที่เวลา 1, 2, 3, 4 และ 5 วัน.....	40
ตารางที่ 4.2	ร้อยละของไฮดรอกซีอะพาไทต์ที่เวลา 1, 2, 3, 4 และ 5 วัน.....	43
ตารางที่ 4.3	ร้อยละของไฮดรอกซีอะพาไทต์ที่ความเข้มข้นของโคโตซาน 1, 1.5, 1.75 และ 2 เปอร์เซ็นต์โดยน้ำหนัก เวลา 3 วัน.....	45
ตารางที่ 4.4	อัตราส่วนระหว่างความเข้มข้นของ CaCl_2 และ Na_2HPO_4 ที่ใช้ในการสังเคราะห์ไฮดรอกซีอะพาไทต์ในแต่ละสูตร.....	47
ตารางที่ 4.5	ร้อยละของไฮดรอกซีอะพาไทต์ที่ความเข้มข้นของโคโตซาน 1.75 เปอร์เซ็นต์โดยน้ำหนัก ใช้เวลาในการแพร่ผ่านของอิออน 3 วัน.....	50
ตารางที่ 4.6	ร้อยละของไฮดรอกซีอะพาไทต์ที่ความเข้มข้นของโคโตซาน 1 และ 1.75 เปอร์เซ็นต์โดยน้ำหนัก ใช้เวลาในการแพร่ผ่านของอิออน 3 วัน.....	52
ตารางที่ 4.7	พีค FTIR ของโคโตซาน.....	53
ตารางที่ 4.8	อัตราส่วนของแคลเซียมต่อฟอสฟอรัส.....	57
ตารางที่ 4.9	แคลเซียมที่หลงเหลือในวัสดุเชิงประกอบโคโตซานและไฮดรอกซีอะพาไทต์.....	58

สารบัญรูป

รูปประกอบ		หน้า
รูปที่ 2.1	โครงสร้างทางเคมีของไคติน.....	5
รูปที่ 2.2	โครงสร้างทางเคมีของไคโตซาน	5
รูปที่ 2.3	การเตรียมไคตินและไคโตซาน.....	6
รูปที่ 2.4	วัสดุปิดแผลจากไคโตซาน	8
รูปที่ 2.5	โครงสร้างผลึกของไฮดรอกซีอะพาไทต์.....	11
รูปที่ 2.6	แผนภาพการร่วมมือของนักวิจัยสาขาต่างๆ.....	17
รูปที่ 2.7	การสังเคราะห์อะพาไทต์บนไฮโดรเจลด้วย Biomimetic Method.....	19
รูปที่ 2.8	การสังเคราะห์ไฮดรอกซีอะพาไทต์ภายในไคโตซานไฮโดรเจลด้วย กระบวนการจุ่มสลับ	20
รูปที่ 2.9	การสังเคราะห์ไฮดรอกซีอะพาไทต์ภายในแผ่นเยื่อไคโตซานด้วยระบบ dual membrane diffusion	21
รูปที่ 2.10	กลไกการเกิดวัสดุเชิงประกอบของไคโตซานและไฮดรอกซีอะพาไทต์โดยวิธี <i>in situ</i> hybridization	23
รูปที่ 3.1	แผนผังขอบเขตการทดลอง	26
รูปที่ 3.2	สารละลายไคโตซานและแคลเซียมคลอไรด์แช่ในสารละลายโซเดียม ไดไฮโดรเจนฟอสเฟต.....	28
รูปที่ 3.3	เทอร์โมกราฟิมेटริกแอนาไลเซอร์ ของ METTLER TOLEDO รุ่น TGA/SDTA 851	32
รูปที่ 3.4	เครื่องเอกซเรย์เอกซเรย์ฟลักซ์ฟูเรียร์ทรานสฟอร์มอินฟราเรด สเปกโตรโฟโตมิเตอร์ (ATR-FTIR) รุ่น Nicolet 6700	34
รูปที่ 3.5	เครื่องเอกซเรย์ดิฟแฟร็กโตรมิเตอร์.....	35
รูปที่ 3.6	กล้องจุลทรรศน์อิเล็กตรอนแบบส่องกราด รุ่น JEOL JSM-5800LV.....	36
รูปที่ 4.1	การผสมผงไฮดรอกซีอะพาไทต์ในสารละลายไคโตซาน.....	38
รูปที่ 4.2	การเตรียมวัสดุเชิงประกอบไคโตซานและไฮดรอกซีอะพาไทต์ด้วยระบบ การแพร่ผ่านแผ่นเยื่อ.....	39

รูปประกอบ	หน้า
รูปที่ 4.3	ร้อยละของไฮดรอกซีอะพาไทต์ที่กระจายตัวอยู่ในวัสดุเชิงประกอบโคโตซาน และไฮดรอกซีอะพาไทต์จาก 3 บริเวณของชิ้นตัวอย่าง ซึ่งแต่ละชิ้นตัวอย่างได้จากการใช้เวลาในการแพร่ผ่านของอิออนที่ 1, 2, 3, 4 และ 5 วัน 40
รูปที่ 4.4	วัสดุเชิงประกอบโคโตซานและไฮดรอกซีอะพาไทต์ ณ เวลา 1, 2, 3, 4 และ 5 วัน..... 42
รูปที่ 4.5	ร้อยละของไฮดรอกซีอะพาไทต์ในวัสดุเชิงประกอบโคโตซานและไฮดรอกซีอะพาไทต์ที่เวลาต่างๆ..... 43
รูปที่ 4.6	ร้อยละของไฮดรอกซีอะพาไทต์ในวัสดุเชิงประกอบโคโตซานและไฮดรอกซีอะพาไทต์ที่ความเข้มข้นของโคโตซาน 1, 1.5, 1.75 และ 2 เปอร์เซ็นต์โดยน้ำหนัก ใช้เวลาในการให้อิออนแพร่ผ่านแผ่นเยื่อเป็นเวลา 3 วัน 45
รูปที่ 4.7	กลไกการเกิดวัสดุเชิงประกอบโคโตซานและไฮดรอกซีอะพาไทต์ด้วยกระบวนการแพร่ผ่านแผ่นเยื่อ..... 46
รูปที่ 4.8	กลไกการเกิดวัสดุเชิงประกอบโคโตซานและไฮดรอกซีอะพาไทต์ด้วยกระบวนการแพร่ผ่านแผ่นเยื่อ เมื่อความเข้มข้นของแคลเซียมคลอไรด์และไดโซเดียมไฮโดรเจนฟอสเฟตสูง..... 48
รูปที่ 4.9	วัสดุเชิงประกอบโคโตซานและไฮดรอกซีอะพาไทต์ที่ขึ้นรูปเป็นฟิล์ม ความเข้มข้นโคโตซาน 1.75 เปอร์เซ็นต์โดยน้ำหนัก เวลาในการแพร่ผ่านของอิออน 3 วัน..... 49
รูปที่ 4.10	ร้อยละของไฮดรอกซีอะพาไทต์ในวัสดุเชิงประกอบโคโตซานและไฮดรอกซีอะพาไทต์ที่ความเข้มข้นของโคโตซาน 1.75 เปอร์เซ็นต์โดยน้ำหนัก ใช้เวลาในการแพร่ผ่านของอิออน 3 วัน..... 51
รูปที่ 4.11	ร้อยละของไฮดรอกซีอะพาไทต์ในวัสดุเชิงประกอบโคโตซานและไฮดรอกซีอะพาไทต์ที่ความเข้มข้นของโคโตซาน 1 และ 1.75 เปอร์เซ็นต์โดยน้ำหนัก ใช้เวลาในการแพร่ผ่านของอิออน 72 ชั่วโมง..... 52
รูปที่ 4.12	FTIR ของโคโตซานและวัสดุเชิงประกอบโคโตซานและไฮดรอกซีอะพาไทต์ที่มีความเข้มข้นของ CaCl_2 และ Na_2HPO_4 แตกต่างกัน..... 54
รูปที่ 4.13	XRD ดิฟแฟรกโทแกรมของโคโตซานเปรียบเทียบกับของวัสดุเชิงประกอบที่มีความเข้มข้นของ CaCl_2 และ Na_2HPO_4 55

รูปประกอบ	หน้า
รูปที่ 4.14 SEM ของโคโตซาน และวัสดุเชิงประกอบโคโตซานและไฮดรอกซีอะพาไทต์ที่มีความเข้มข้นของ CaCl_2 และ Na_2HPO_4 แตกต่างกัน	56
รูปที่ 4.14 การเกิดคิเลชันระหว่างโคโตซานและแคลเซียมไอออน.....	59

บทที่ 1

บทนำ

1.1 ปัญหาและที่มาของงานวิจัย

กระดูกของมนุษย์หรือสัตว์เมื่อแตกหักแล้วจะใช้เวลานานในการรักษาให้กระดูกใหม่เจริญเติบโตขึ้นมาแทนกระดูกที่แตกหักไป การซ่อมแซมกระดูกและการสร้างกระดูกใหม่เป็นปัญหาที่ค่อนข้างซับซ้อนในการทำศัลยกรรมกระดูก ในทุกปีประชากรหลายล้านคนเป็นโรคเกี่ยวกับกระดูกมากขึ้น และเป็นเหตุให้เกิดการเสียชีวิตเนื่องจากวัสดุที่ใช้ทดแทนกระดูกมีไม่เพียงพอ ในต่างประเทศวัสดุทดแทนกระดูกได้ถูกจัดว่าเป็นวัสดุปลูกถ่ายที่สำคัญรองจากการให้เลือดและผลิตภัณฑ์จากเลือด การรักษาโดยใช้วัสดุทดแทนกระดูกประกอบด้วยวัสดุปลูกถ่ายจากตัวผู้ป่วยเอง (autograft) วัสดุปลูกถ่ายจากผู้อื่น (allograft) และวัสดุเลียนแบบชีวภาพ (biomimetic materials) [1] ความรู้ความก้าวหน้าทางด้านวิศวกรรมเนื้อเยื่อ (tissue engineering) มีส่วนเข้ามาพัฒนาวัสดุทดแทนกระดูก ดังนั้น จึงมีการนำเทคโนโลยีทางด้านวิศวกรรมเนื้อเยื่อโดยการปลูกถ่ายวัสดุทดแทนกระดูกไปยังบริเวณกระดูกที่เสียหายเพื่อกระตุ้นการเจริญเติบโตของเนื้อเยื่อกระดูกภายในร่างกาย วัสดุทดแทนกระดูกที่ดีควรมีคุณสมบัติในการเหนี่ยวนำให้เซลล์ยึดเกาะและกระตุ้นการเจริญเติบโตของกระดูกได้ดี มีงานวิจัยที่เน้นถึงการนำโลหะไทเทเนียมมาช่วยยึดเกาะกระดูกบริเวณที่หัก [2] เนื่องจากโลหะไทเทเนียมมีความแข็งแรงสูง แต่มีข้อเสียหลายประการ คือ โลหะไทเทเนียมมีน้ำหนักมาก อาจเกิดการระคายเคืองบริเวณที่สัมผัสระหว่างเนื้อเยื่อกระดูกของคนไข้กับโลหะทำให้เกิดแผลเรื้อรังหรือติดเชื้อ นอกจากนี้ เมื่อกระดูกเชื่อมต่อกันเป็นปกติแล้ว จำเป็นต้องผ่าตัดเป็นครั้งที่สองเพื่อที่จะนำโลหะออกนอกร่างกายซึ่งมีความเสี่ยงสูงต่อการติดเชื้ออีกเช่นกัน

กระดูกในธรรมชาติประกอบด้วยคอลลาเจน โปรตีนชนิดอื่นๆ ที่ไม่ใช่คอลลาเจน คาร์โบไฮเดรต แคลเซียมฟอสเฟต และแคลเซียมคาร์บอเนต โดยมีอัตราส่วนระหว่างสารอินทรีย์และอนินทรีย์คือ 30:70 [3] มีไฮดรอกซีอะพาไทต์ที่มีความเป็นผลึก ดังนั้นในวัสดุทดแทนกระดูกจึงควรมีส่วนประกอบของสารอินทรีย์ที่คล้ายคลึงกับส่วนประกอบในเนื้อเยื่อและสารอนินทรีย์ที่คล้ายคลึงกับส่วนแร่ธาตุที่มีอยู่ในกระดูกจริง และสามารถเตรียมให้มีอัตราส่วนที่เหมาะสมระหว่างสารอินทรีย์และสารอนินทรีย์ได้ โดยมีความสามารถในการเหนี่ยวนำให้เซลล์มายึดเกาะได้ดี และสามารถกระตุ้นให้เกิดการเจริญเติบโตของเนื้อเยื่อกระดูกได้ นอกจากนี้ยังต้องมีความสามารถเข้ากันได้ทางชีวภาพและไม่เป็นพิษ

ดังนั้นงานวิจัยนี้จึงมุ่งเน้นการนำโคโตซานซึ่งเป็นพอลิเมอร์ธรรมชาติที่สามารถเข้ากันได้กับระบบทางชีวภาพมาเป็นโครงสร้างพื้นฐานในการพัฒนาวัสดุทดแทนกระดูก ซึ่งโคโตซานนอกจากจะไม่เป็นพิษต่อร่างกายแล้ว ยังมีความสามารถในการย่อยสลายได้ พอลิเมอร์ย่อยสลายได้มีข้อดีเหนือกว่าโลหะ คือ จะช่วยผ่อนแรงที่กดทับวัสดุไปยังบริเวณเนื้อเยื่อรอบข้างขณะที่พอลิเมอร์ค่อย ๆ ย่อยสลายไป ทำให้เนื้อเยื่อฟื้นสภาพเร็วและมีความแข็งแรงดีขึ้น นอกจากนี้โคโตซานแสดงความเป็นประจุบวกอ่อน ๆ จึงสามารถเหนี่ยวนำให้เซลล์ยึดเกาะได้ดี เนื่องจากผนังเซลล์ทั่วไปมีประจุลบอ่อน ๆ แต่การนำโคโตซานมาใช้เพียงอย่างเดียวยังมีสมบัติไม่เพียงพอในการผลิตวัสดุทดแทนกระดูก เนื่องจากโคโตซานมีความสามารถกระตุ้นการเจริญเติบโตของเนื้อเยื่อกระดูกจากเซลล์กระดูกรอบข้างค่อนข้างต่ำ จึงได้มีการเตรียมวัสดุเชิงประกอบโคโตซานและไฮดรอกซีอะพาไทต์ เพื่อปรับปรุงความสามารถในการกระตุ้นการเจริญเติบโตของเนื้อเยื่อกระดูกในวัสดุทดแทนกระดูกให้สูงขึ้นเหมาะสมต่อการใช้งาน ซึ่งไฮดรอกซีอะพาไทต์เป็นสารประกอบทางเคมีที่พบมากในกระดูกและฟัน มีความสามารถเข้ากันได้ทางชีวภาพที่ดี และสามารถที่กระตุ้นการเจริญเติบโตของเนื้อเยื่อกระดูกได้ดี ทำให้ระยะเวลาในการรักษาลดลง งานวิจัยนี้จึงเสนอการเตรียมวัสดุเชิงประกอบโคโตซานและไฮดรอกซีอะพาไทต์ด้วยกระบวนการแพร่ผ่านแผ่นเยื่อ (membrane diffusion process) โดยใช้แผ่นเยื่อเป็นตัวชะลอการแพร่ของไอออนที่ใช้สังเคราะห์ไฮดรอกซีอะพาไทต์ ซึ่งได้แก่ แคลเซียมไอออนและฟอสเฟตไอออนผ่านไปยังสารละลายโคโตซาน ทำให้สามารถสังเคราะห์ไฮดรอกซีอะพาไทต์ที่กระจายตัวอย่างสม่ำเสมอในสารละลายโคโตซานได้

1.2 วัตถุประสงค์ของงานวิจัย

1. เตรียมวัสดุเชิงประกอบโคโตซานและไฮดรอกซีอะพาไทต์ด้วยกระบวนการแพร่ผ่านแผ่นเยื่อได้
2. หาภาวะที่เหมาะสมในการเตรียมวัสดุเชิงประกอบโคโตซานและไฮดรอกซีอะพาไทต์ให้มีอัตราส่วนโดยน้ำหนักระหว่างสารอินทรีย์และสารอนินทรีย์ใกล้เคียงกับอัตราส่วนโดยน้ำหนักระหว่างสารอินทรีย์และสารอนินทรีย์ของกระดูกธรรมชาติ

1.3 ประโยชน์ที่คาดว่าจะได้รับ

ได้วัสดุเชิงประกอบโคโตซานและไฮดรอกซีอะพาไทต์ที่มีสัดส่วนระหว่างสารอินทรีย์และสารอนินทรีย์ใกล้เคียงกับกระดูกจริง

1.4 ขอบเขตของงานวิจัย

1. สังเคราะห์วัสดุเชิงประกอบโคโตะซานและไฮดรอกซีอะพาไทต์ด้วยกระบวนการแพร่ผ่านแผ่นเยื่อ และหาภาวะที่เหมาะสมในการสังเคราะห์วัสดุเชิงประกอบโคโตะซานและไฮดรอกซีอะพาไทต์ให้ได้ในสัดส่วนที่ใกล้เคียงกับสารอินทรีย์และอนินทรีย์ที่มีอยู่ในกระดูกทั่วไป เพื่อสามารถประยุกต์เป็นวัสดุทดแทนกระดูก

2. วิเคราะห์และตรวจสอบสมบัติของวัสดุเชิงประกอบโคโตะซานและไฮดรอกซีอะพาไทต์

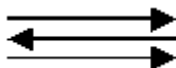
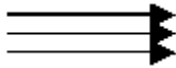
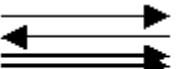
บทที่ 2

ทฤษฎีและงานวิจัยที่เกี่ยวข้อง

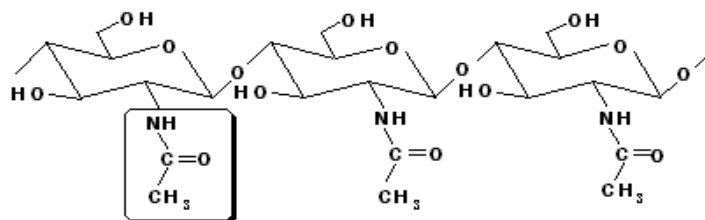
2.1 ความรู้พื้นฐานเกี่ยวกับไคตินและไคโตซาน [4]

ไคตินเป็นพอลิเมอร์ธรรมชาติที่มีมากเป็นอันดับสองรองมาจากเซลลูโลส สามารถพบได้ในเปลือกแข็งของสัตว์ทะเลจำพวกกุ้ง ปู แคนหมีก แมลง ตัวไหมและหอยมุก นอกจากนี้ยังพบในผนังเซลล์ของเห็ดรา และสาหร่ายบางพันธุ์ ไคตินเป็นพอลิเมอร์เส้นตรงที่มีโครงสร้างทางเคมีคล้ายเซลลูโลส ประกอบด้วยหน่วยย่อยคือ 2-acetamido-2-deoxy-D-glucopyranose ดังรูปที่ 2.1 ในธรรมชาติจะพบไคตินในรูปของเส้นใยแทรกตัวอยู่ในเมทริกซ์ของโปรตีน และปะปนร่วมกับแร่ธาตุบางชนิด เช่น แคลเซียมคาร์บอเนต ไคตินที่ได้จากแต่ละแหล่ง มีโครงสร้างและสมบัติแตกต่างกัน โดยแบ่งตามลักษณะการเรียงตัวของเส้นใยได้ 3 กลุ่ม ดังตารางที่ 2.1

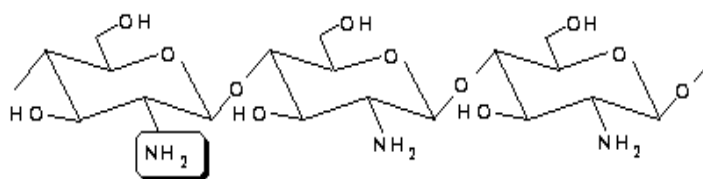
ตารางที่ 2.1 ลักษณะการเรียงตัวของเส้นใยในไคติน [5]

แบบอัลฟา 	มีการเรียงตัวของสายโซ่โมเลกุลในลักษณะสวนทางกัน มีความแข็งแรงสูง ได้แก่ไคตินจากเปลือกกุ้ง และกระดองปู
แบบเบตา 	มีการเรียงตัวของสายโซ่โมเลกุลในทิศทางเดียวกัน จึงจับกันได้ไม่ค่อยแข็งแรง มีความไวต่อปฏิกิริยาเคมีมากกว่าแบบอัลฟา ได้แก่ ไคตินจากแกนปลาหมึก
แบบแกมมา 	มีการเรียงตัวของสายโซ่โมเลกุลในลักษณะที่ไม่แน่นอน (สวนทางกันสลับทิศทางเดียวกัน) มีความแข็งแรงรองจากแบบอัลฟา ได้แก่ ไคตินจากเห็ด รา และพืชชั้นต่ำ

โคโตซาน คือ อนุพันธ์ของไคตินที่ได้จากการทำปฏิกิริยาอัลคาไลไฮโดรไลซิสกำจัดหมู่อะซิติลของไคตินบางส่วน หรือที่เรียกว่าปฏิกิริยา deacetylation โดยเชื้อสารถลายไคตินในสารถลายต่างเข้มข้นทำให้เปลี่ยนหมู่อะซิทามิโด (-NHCONH₂) ของไคตินไปเป็นหมู่อะมิโน (-NH₂) ที่คาร์บอนตำแหน่งที่ 2 ดังนั้นโคโตซานประกอบด้วย glucosamine และ N-acetylglucosamine เชื่อมต่อกันด้วยพันธะ β -1,4 glycosidic หน่วยย่อยของโคโตซาน คือ 2-amino-2-deoxy-D-glucopyranose ดังรูปที่ 2.2



รูปที่ 2.1 โครงสร้างทางเคมีของไคติน [5]



รูปที่ 2.2 โครงสร้างทางเคมีของโคโตซาน [5]

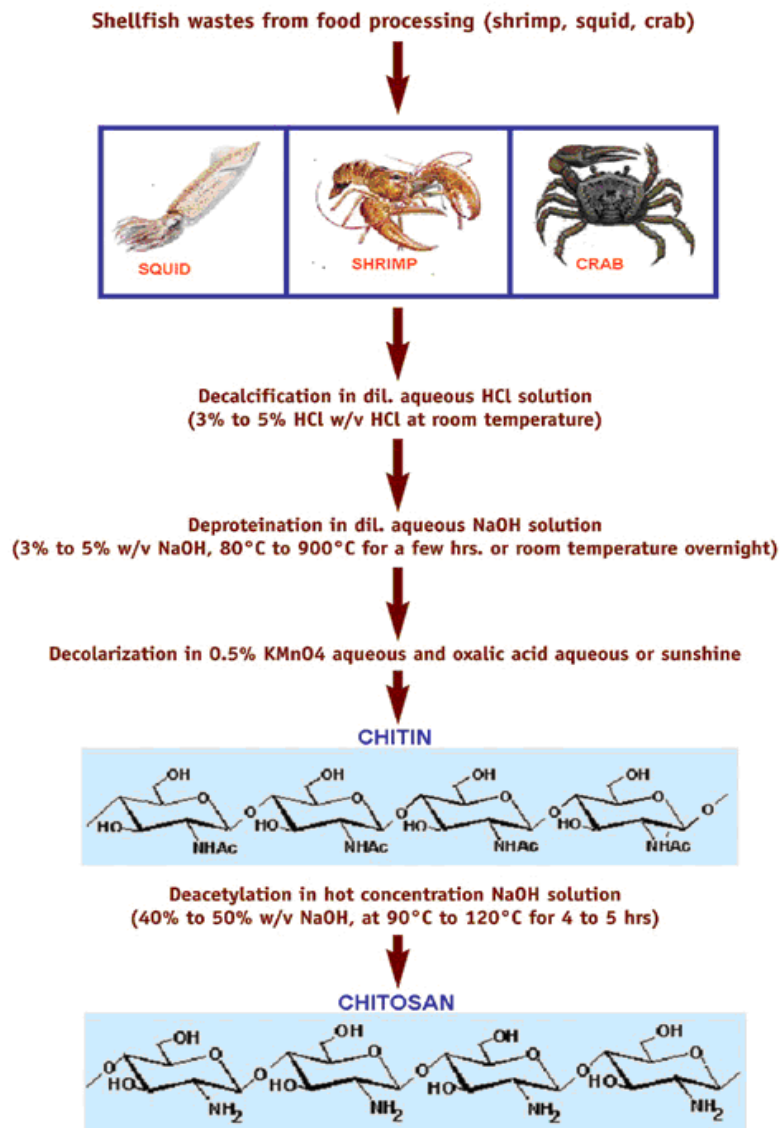
2.1.1 กระบวนการผลิตไคตินและโคโตซาน [4]

เนื่องจากในธรรมชาติจะพบไคตินอยู่ในรูปของเส้นใยแทรกตัวอยู่ในเมทริกซ์ของโปรตีนและปะปนอยู่ร่วมกับแร่ธาตุบางชนิด เช่น แคลเซียมคาร์บอเนต ดังนั้นการสกัดไคตินออกจากเปลือกกุ้งหรือปูต้องผ่าน 2 กระบวนการ คือ การกำจัดแร่ธาตุที่ปนอยู่ออกก่อน (demineralization) ด้วยกรดเกลือเจือจาง (dilute mineral acid) และการละลายโปรตีนออก (deproteinization) ออก ด้วยเบสเจือจาง (dilute alkali) พร้อมทั้งให้ความร้อน ส่วนการผลิต โคโตซานจะเพิ่มอีก 1 กระบวนการ หลังจากที่ได้สกัดไคตินออกมาแล้ว คือ alkali hydrolysis ของ ไคตินด้วยเบสเข้มข้น (concentrated alkali) พร้อมทั้งให้ความร้อน หรือที่เรียกว่า กระบวนการกำจัดหมู่อะซิติล (Deacetylation)

การผลิตไคตินและไคโตซานประกอบด้วยหลักการทำงานที่สำคัญ 3 ขั้นตอน คือ

1. การกำจัดเกลือแร่ (demineralization)
2. การกำจัดโปรตีน (deproteination)
3. การกำจัดหรือลดหมู่อะซิติด (deacetylation)

โดยทั้ง 3 ขั้นตอนนี้สามารถทำได้โดยกระบวนการทางเคมีและกระบวนการทางเทคโนโลยีชีวภาพ ดังแสดงในรูปที่ 2.3



รูปที่ 2.3 การเตรียมไคตินและไคโตซาน [6]

โคติน-โคโตซาน ในธรรมชาติจะอยู่ในรูปของโคโพลิเมอร์ที่อยู่ร่วมกัน มีการกระจายตัวแบบ สุ่ม (random copolymer) กระบวนการเปลี่ยนโคตินไปเป็นโคโตซานถ้าทำในสภาวะที่รุนแรงเกินไป สามารถทำลาย β -1,4-linkage ได้ ทำให้น้ำหนักโมเลกุลเล็กลง ดังนั้นจึงไม่สามารถที่จะเตรียมโคโตซานไฮโมพอลิเมอร์ได้จากขบวนการ alkali hydrolysis ของโคติน

ปัจจัยสำคัญในการแบ่งประเภทว่าเป็นโคตินหรือโคโตซาน คือ degree of N-acetylation (DA) หรือ degree of deacetylation (DD) ซึ่งบ่งบอกถึงอัตราส่วนของ N-acetylglucosamine residue ต่อ glucosamine residue ในโครงสร้างของโคติน-โคโตซาน โคพอลิเมอร์ โดยค่า DA สูง จะบ่งบอกถึงสัดส่วนของโคตินมาก โคโตซานน้อย ในขณะที่ค่า DD สูงจะบ่งบอกถึงสัดส่วนโคโตซานมาก โคตินน้อย จึงนิยมเรียกโคพอลิเมอร์ที่มี DA สูง หรือ DD ต่ำ ว่าโคติน และในทางกลับกัน โคพอลิเมอร์ที่มี DA ต่ำหรือ DD สูง ว่าโคโตซาน ค่า DA หรือ DD มีผลต่อสมบัติการละลาย (solubility) ของโคตินและโคโตซานอย่างมาก โคตินและโคโตซานไม่มีจุดหลอมเหลวจะสลายตัวไปก่อน (decompose) โดยไม่เกิดการหลอมเหลว การทำให้เป็นของเหลวทำได้วิธีเดียว คือ การละลาย

โคตินและโคโตซานมีสมบัติพื้นฐานที่เข้ากับธรรมชาติได้ดี ย่อยสลายง่าย ไม่ก่อให้เกิดอันตรายต่อสิ่งแวดล้อม โดยเฉพาะอย่างยิ่งโคโตซาน มีหมู่อะมิโนที่แสดงสมบัติพิเศษหลายประการ ที่ต่างจากเซลลูโลส เช่น การละลายได้ในกรดอินทรีย์เจือจาง การจับกับไอออนของโลหะได้ดี และการมีฤทธิ์ทางชีวภาพ นอกจากนี้โคโตซานยังมีสมบัติสำคัญอีกหลายประการ เช่น เป็นวัสดุที่สามารถเข้ากันได้ทางชีวภาพกับสิ่งมีชีวิต (biocompatible) สามารถขึ้นรูปได้หลายแบบ เช่น เจล [7] เม็ด [8] เส้นใย [9] เมมเบรน [10] เป็นต้น ไม่เป็นพิษ และมีประจุบวกอ่อนๆทำให้เซลล์ยึดเกาะได้ดี จึงมีการนำโคโตซานมาใช้ประโยชน์อย่างกว้างขวางในหลายๆด้าน เช่น ในอุตสาหกรรมยาเป็นตัวควบคุมการปลดปล่อยยาให้ถูกปลดปล่อยออกมาช้าๆ และใช้เป็นตัวนำส่งยา (drug carrier) ในอุตสาหกรรมเกษตรใช้เคลือบผลไม้เพื่อชะลอการสุก ใช้ผสมเครื่องสำอางเพื่อให้ความหนืด ใช้เป็นผลิตภัณฑ์อาหารควบคุมน้ำหนักในอุตสาหกรรมอาหาร ใช้เป็นตัวสร้างตะกอน (flocculant) ในการบำบัดน้ำเสีย ในทางการแพทย์ใช้ทำเป็นแผ่นปิดแผลไฟไหม้และน้ำร้อนลวก ใช้ทำแผ่นเยื่อเลือกผ่าน เป็นต้น

2.1.2 ตัวอย่างการนำโคติน-โคโตซานไปใช้งานทางด้านการแพทย์และเภสัชกรรม [11]

โคตินและโคโตซานเป็นสารธรรมชาติที่มีความเข้ากันได้กับเนื้อเยื่อและเซลล์ของร่างกาย สามารถรับประทานได้ และย่อยสลายได้ตามธรรมชาติโดยไม่เป็นพิษต่อร่างกาย จึงมีงานวิจัยจำนวนมากที่ให้ความสนใจกับการนำสารโคติน-โคโตซานมาประยุกต์ใช้ทางด้านการแพทย์และเภสัชกรรมดังตัวอย่างต่อไปนี้

วัสดุปิดบาดแผล (wound dressing)

บาดแผล (wound) ซึ่งอาจเกิดจากการผ่าตัด หรือได้รับบาดเจ็บ หรือแผลไฟไหม้ ซึ่งแผลเหล่านี้ต้องการผ้าปิดแผล (dressing) เพื่อป้องกันการติดเชื้อและช่วยเยียวยาให้แผลหายเป็นปกติเร็วขึ้น ผ้าปิดแผลที่ดีควรที่จะช่วยปกป้องแผลจากสิ่งแปลกปลอมที่ทำลายเนื้อเยื่อ พร้อมทั้งช่วยลดความเจ็บปวด และสามารถดูดซึมของเหลวที่ไหลออกจากบริเวณแผล (exudates) และสามารถห้ามเลือดได้

ไคตินและไคโตซานที่นำมาใช้เป็นวัสดุปิดแผลนั้นอาจเป็นได้ทั้งในรูปแบบของแผ่นเยื่อบาง (membrane) แผ่นคล้ายฟองน้ำ (sponge) หรือผสมร่วมกับผ้าฝ้าย หรือใช้เป็นผงละเอียด โดยจะมีผลกระตุ้นการสร้างเซลล์ใหม่ และป้องกันการติดเชื้อ จึงช่วยทำให้บาดแผลหายเร็วขึ้น [11] ตัวอย่างเช่น การศึกษาการเตรียมแผ่นเยื่อไคโตซานแบบไม่สมมาตร[12] ในลักษณะเป็นรูพรุนขนาดใหญ่คล้ายฟองน้ำ และมีชั้นบนสุดเป็นชั้นผิวที่มีเนื้อแน่น (dense skin surface) จากการทดสอบพบว่า ออกซิเจนสามารถซึมผ่านแผ่นเยื่อได้ดี ช่วยควบคุมการสูญเสียน้ำ และช่วยป้องกันการเชื้อจุลินทรีย์ได้ ปัจจุบันวัสดุปิดแผลหรือผิวหนังเทียมที่ผลิตจากไคตินหรือไคโตซานเพื่อใช้งานด้านการแพทย์ทั้งในมนุษย์และสัตว์มีการผลิตในเชิงพาณิชย์ออกจำหน่ายแล้ว [13] รูปที่ 2.4 วัสดุปิดแผลที่ผลิตจากไคโตซานของบริษัท Shanghai xindong medical material Co.,Ltd



รูปที่ 2.4 วัสดุปิดแผลจากไคโตซาน [13]

ระบบนำส่งยา (drug delivery system)

การเตรียมแผ่นเยื่อไคโตซาน (chitosan membrane) เพื่อใช้ในการปลดปล่อยยา โดยทำการแก้ปัญหาการบวมตัวจากการดูดซับน้ำที่รวดเร็วของไคโตซานโดยใช้วิธีตัดแปรรโครงสร้างด้วยอัลคิลเฮไลด์ที่มีขนาดสายโซ่ต่างๆ กัน และใช้กลูโคสไดอัลดีไฮด์ (glucose dialdehyde) เป็นสารเชื่อมขวาง (crosslinking agent) แทนการใช้ glutaraldehyde ที่มีความเป็นพิษ [14] จากการทดลองใช้แผ่นเยื่อไคโตซานดังกล่าวในการศึกษาอัตราการปลดปล่อยยา ซึ่งใช้วิตามินบี 2 เป็นโมเดลยา พบว่า การซึมผ่านและการแพร่ของยาลดลงเมื่อ pH สูงขึ้น และเมื่อสายโซ่อัลคิลที่ต่อเติมบนโครงสร้างของไคโตซานยาวขึ้น อนุพันธ์ของไคโตซานจะแสดงสมบัติ hydrophobicity เพิ่มขึ้น จะส่งผลให้อัตราการซึมผ่านและการแพร่ลดลง

สารป้องกันการจับตัวเป็นก้อนของเลือด (blood anticoagulant) และสารห้ามเลือด (hemostatic)

ไคโตซานมีสมบัติในการห้ามเลือด [15] แต่เนื่องจากไคโตซานนั้นเป็นวัสดุที่ไม่ละลายน้ำ จึงต้องทำให้อยู่ในรูป "คาร์บอกซีเมทิลไคโตซาน" ซึ่งเป็นอนุพันธ์หนึ่งของไคโตซานที่ละลายน้ำได้ ทั้งนี้หลังจากได้คาร์บอกซีเมทิลไคโตซานซึ่งขึ้นรูปเป็นแผ่นปิดแผลแล้ว จะนำไปผ่านการให้ความร้อนโดยการอบไอน้ำ คาร์บอกซีเมทิลไคโตซานที่ละลายน้ำก็จะเปลี่ยนไปเป็นก้อนน้ำแทน ซึ่งคุณสมบัติดังกล่าวทำให้แผ่นปิดแผลช่วยดูดซับน้ำเลือด น้ำหนองจากบาดแผลได้ อีกทั้งคุณสมบัติของไคติน-ไคโตซานยังช่วยยับยั้งเชื้อและสมานแผลด้วย

วัสดุทดแทนกระดูก (bone substitute)

จากงานวิจัยที่ผ่านมาได้มีการรวมพอลิเมอร์เข้ากับไฮดรอกซีอะพาไทต์ เนื่องจากไฮดรอกซีอะพาไทต์มีความสามารถในการกระตุ้นให้เกิดการเจริญเติบโตของเนื้อเยื่อกระดูก จึงได้มีการเตรียม hydroxyapatite (HA)-chitin [16] เพื่อใช้เป็นวัสดุทดแทนกระดูก โดยตัดแปรรไคตินด้วยไฮดรอกซีอะพาไทต์เพื่อเป็นวัสดุทดแทนกระดูกบริเวณ hard tissue ที่มีประสิทธิภาพ โดยผสมผงไฮดรอกซีอะพาไทต์ในสารละลายไคติน และเปลี่ยนแปลงปริมาณไฮดรอกซีอะพาไทต์ 10-50 เปอร์เซ็นต์โดยน้ำหนัก จากการทดสอบสมบัติเชิงกลพบว่า เมื่อเติมไฮดรอกซีอะพาไทต์ในปริมาณสูงจะมีผลทำให้วัสดุมี maximum tensile stress ลดลง แต่ยังคงแสดงสมบัติความเป็นพลาสติกอยู่ มีรายงานถึงการ ใช้ phosphoryl chitosan (P-chitosan) ร่วมกับ calcium phosphate cement (monocalcium phosphate และ calcium oxide) [17] เพื่อผลิตวัสดุทดแทนกระดูกที่แข็งตัวได้รวดเร็ว พบว่าเมื่อเติม P-chitosan ทำให้ calcium phosphate cement มีสมบัติเชิงกลที่ดีขึ้น นอกจากนี้มีการเตรียม HA-chitosan microspheres [18] เพื่อใช้เป็น filling ในกระดูกและฟัน โดยใช้วิธีผสมผงไฮดรอกซีอะพาไทต์กับสารละลายไคโตซานตามด้วยน้ำมันพาราฟิน (paraffin oil) เฮกเซน (hexane) และ

สารลดแรงตึงผิวแล้วทำการเชื่อมขวางด้วย glutaraldehyde ซึ่งพบว่า สามารถเตรียม microspheres ที่มีขนาดในช่วง 125-1,000 ไมครอน

วิศวกรรมเนื้อเยื่อ(tissue engineering)

งานวิจัยที่ผ่านมาศึกษาการเตรียมไคตินเมทริกซ์ที่มีรูพรุน (porous chitin matrixes) [19] โดยเริ่มจากการเตรียมไคตินเจล จากสารละลายไคติน ที่ละลายในระบบตัวทำละลาย 5% *N, N*-dimethylacetamide (DMAc)/lithium chloride (LiCl) แล้วทำแห้ง ณ จุดเยือกแข็ง (lyophilization) ทำให้เกิดเป็นไคตินเมทริกซ์ที่มีรูพรุน พบว่า รูพรุนที่เกิดขึ้นมีขนาดอยู่ในช่วง 100-500 ไมครอน และเมื่อทดลองกับ fibroblast cell ของหนูและมนุษย์พบว่า เซลล์เหล่านี้สามารถเจริญเติบโตปกคลุมรูพรุนได้ นอกจากนี้ยังมีการเตรียมวัสดุเชิงประกอบระหว่างไคโตซานและแคลเซียมฟอสเฟตที่มีรูพรุนขนาดใหญ่ทำหน้าที่เป็นโครงเลี้ยงเซลล์ (macroporous chitosan/calcium phosphate scaffold) [20] โดยไคโตซานทำหน้าที่เป็นโครงเลี้ยงเซลล์เพื่อเหนี่ยวนำให้เซลล์มายึดเกาะ ในขณะที่แคลเซียมฟอสเฟตซึ่งเป็นสารว่องไวทางชีวภาพ (bioactive agent) จะช่วยเสริมการเกาะติดของเซลล์กระดูก (osteoblast) และเพิ่มความแข็งแรงให้แก่โครงเลี้ยงเซลล์

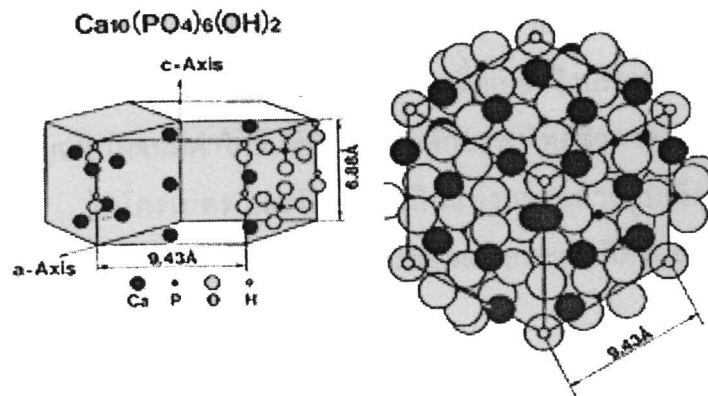
2.1.3 ข้อจำกัดในการนำไคโตซานไปใช้งานด้านวิศวกรรมเนื้อเยื่อกระดูก

เนื่องจากไคโตซานมีประจุบวกอ่อนๆ สามารถเหนี่ยวนำให้เซลล์มายึดเกาะได้ดีแต่มีความสามารถในการกระตุ้นการเจริญเติบโตของเนื้อเยื่อกระดูกค่อนข้างต่ำ ดังนั้นจึงเป็นสาเหตุให้เซลล์ที่มายึดเกาะเกิดการเจริญเติบโตได้ช้า ดังนั้นการแก้ปัญหา คือ การเติมสารที่มีความสามารถในการกระตุ้นการเจริญเติบโตของเนื้อเยื่อกระดูก ซึ่งได้แก่ ไฮดรอกซีอะพาไทต์

2.2 ไฮดรอกซีอะพาไทต์ [21]

ไฮดรอกซีอะพาไทต์, $(Ca_{10}(PO_4)_6(OH)_2)$ เป็นสารประกอบระหว่างธาตุแคลเซียมและฟอสเฟต มีอัตราส่วนโดยโมลของ Ca:P เป็น 1.67:1 ไฮดรอกซีอะพาไทต์มีรูปร่างเป็นหกเหลี่ยม (Hexagonal) ขนาดหน่วยเซลล์ (Unit cell) $a=9.43 \text{ \AA}$ $c=6.88 \text{ \AA}$ และ $b=120^\circ$ ดังรูปที่ 2.5 โดยมีหมู่ไฮดรอกซิลอยู่ที่บริเวณมุมที่ฐานรอมบิก (Rhombic) ของหน่วยเซลล์ ซึ่งมีการจัดเรียงตัวเป็นคอลัมน์ในที่ว่าง ซึ่งมีความสูงเป็นครึ่งหนึ่งของความสูงหน่วยเซลล์ คอลัมน์ของหมู่ไฮดรอกซิลจะถูกล้อมรอบด้วยแคลเซียมไอออน 6 ไอออน ที่จัดเรียงตัวในลักษณะสามเหลี่ยมด้านเท่า 2 รูป ตั้งฉากกับคอลัมน์ของไฮดรอกซิล โดยมีหมู่ไฮดรอกซิลเป็นศูนย์กลางแคลเซียมไอออนอีก 4 ไอออนที่เหลือ

จะเรียงต่อกันเป็นคอลัมน์ 2 คอลัมน์ระหว่างสามเหลี่ยมด้านเท่าของแคลเซียมไอออนขนานกับคอลัมน์ของไฮดรอกซิล แคลเซียมไอออนเหล่านี้จะถูกล้อมรอบด้วยออกซิเจนของออร์โธฟอสเฟตเตตระฮีดรอน (Ortho phosphate tetrahedral) โดยออกซิเจนของไฮดรอกซิล (Hydroxyl oxygen) จะอยู่ห่างจากระนาบของสามเหลี่ยมไฮดรอกซิลประมาณ 0.3 Å



รูปที่ 2.5 โครงสร้างผลึกของไฮดรอกซีอะพาไทต์

2.2.1 ความสามารถในการละลายของไฮดรอกซีอะพาไทต์ [21]

ไฮดรอกซีอะพาไทต์สามารถละลายได้ในกรด และละลายได้เล็กน้อยในน้ำกลั่น แต่ไม่สามารถละลายได้ในอัลคาไลน์ โดยมีค่าการละลายในน้ำกลั่น (pKs) ประมาณ 120

$$pKs = -\log([Ca]^{10}[PO_4]^6[OH]_2) \cong 120$$

ความสามารถในการละลายในน้ำกลั่นจะเพิ่มขึ้นเมื่อเติมสารอิเล็กโทรไลต์ (electrolyte) แต่ความสามารถในการละลายของไฮดรอกซีอะพาไทต์จะเปลี่ยนแปลงเมื่อมีกรดอะมิโน โปรตีน เอนไซม์และสารเคมีอื่นๆ สมบัติด้านการละลายนี้สัมพันธ์กับความสัมพันธ์ในการเข้ากันได้ทางชีวภาพกับเนื้อเยื่อ และปฏิกิริยาเคมีกับสารประกอบอื่นๆ อย่างไรก็ตาม อัตราของการละลายยังขึ้นอยู่กับความแตกต่างของรูปร่าง ความพรุน ขนาดผลึก และการเสียรูปเนื่องจากความเครียด (strain defects) เมื่อนำไฮดรอกซีอะพาไทต์ไปเผาที่อุณหภูมิสูงจะทำให้ความสามารถในการละลายลดลง สำหรับเนื้อเยื่อใต้ผิวหนังจะมีอัตราการละลายเป็น 0.1 มิลลิเมตรต่อปี โดยที่ไฮดรอกซีอะพาไทต์จะเกิดปฏิกิริยาเคมีกับโปรตีน ไขมัน สารอนินทรีย์อื่นๆ และแร่ธาตุอินทรีย์ได้

ไฮดรอกซีอะพาไทต์พบได้ในรูปผลึกตามธรรมชาติ และพบภายในร่างกาย เช่น ใน extracellular matrix กระดูกและฟัน ในปัจจุบันเราสามารถสังเคราะห์ไฮดรอกซีอะพาไทต์ได้หลายวิธี ซึ่งแต่ละวิธีก็ได้ไฮดรอกซีอะพาไทต์ที่มีลักษณะเฉพาะแตกต่างกันไป คุณสมบัติหลักของไฮดรอกซีอะพาไทต์ คือเป็นผลึก มีรูพรุน เปราะแตกง่าย และสามารถเข้ากันได้กับร่างกาย (biocompatible) ซึ่งคุณสมบัติเหล่านี้ จึงมีการนำไฮดรอกซีอะพาไทต์ มาใช้ในวงการแพทย์หลายด้าน ไม่ว่าจะเป็นการใช้เป็นสารบรรจุแทนกระดูก (bone fillers) [22] หรือการใช้เคลือบโลหะสำหรับ

ปลูกแทนกระดูก [23] เป็นต้น นอกจากนี้ทางการแพทย์แล้ว ไฮดรอกซีอะพาไทต์ ยังถูกนำมาใช้ในการวิจัยพื้นฐานทางชีววิทยา เช่น ในงานวิจัย สเต็มเซลล์ (Stem cell) ใช้เป็นวัสดุให้เซลล์ยึดเกาะ และเจริญเติบโต [24]

ไฮดรอกซีอะพาไทต์ เป็นแร่ธาตุที่พบมากในกระดูกและฟัน ในความเป็นจริงองค์ประกอบของไฮดรอกซีอะพาไทต์ของกระดูกจะแตกต่างกันเล็กน้อยตามอายุ สปีชีส์ของสิ่งมีชีวิต (Species) และส่วนของอวัยวะ เป็นต้น อัตราส่วนโดยโมลของ Ca:P ในเนื้อเยื่อแข็งประเภทกระดูกและฟันจะเพิ่มขึ้นตามอัตราการเจริญเติบโตจนมีค่าใกล้เคียง 1.67 ผลึกอะพาไทต์ชีวภาพจะมีขนาดเล็กมาก โดยมีขนาดเล็กกว่า 0.2 ไมโครเมตร และมีรูปร่างเป็นแท่งยาวคล้ายรูปเข็ม (Needle-like) เนื่องจากอะพาไทต์มีผลึกขนาดเล็กจึงช่วยให้การสร้างและซ่อมแซมกระดูกเกิดขึ้นได้เร็ว

2.2.2 การเตรียมไฮดรอกซีอะพาไทต์ [25]

การเตรียมไฮดรอกซีอะพาไทต์สามารถเตรียมได้จาก 3 แหล่ง คือ

1. การสังเคราะห์ไฮดรอกซีอะพาไทต์จากกระบวนการทางเคมี เช่น ปฏิกริยาระหว่างแคลเซียมไนไตรทและแอมโมเนียมฟอสเฟต เป็นต้น
2. การสกัดแคลเซียมคาร์บอเนตจากปะการัง โดยนำมาผ่านกระบวนการเปลี่ยนเป็นสารไฮดรอกซีอะพาไทต์ แต่ปะการังมีปริมาณน้อย และมีปัญหาด้านสิ่งแวดล้อมจึงไม่นิยมนำมาใช้
3. การสกัดไฮดรอกซีอะพาไทต์จากกระดูกสัตว์ เช่น โค กระบือ ช้าง ปลา สุนัข รวมทั้งจากมนุษย์ โดยนิยมใช้กระดูกโคและกระบือมากกว่า เนื่องจากมีปริมาณมากและเป็นสัตว์ที่มนุษย์ใช้ประโยชน์อยู่แล้ว ทั้งใช้ในการบริโภคและใช้แรงงาน

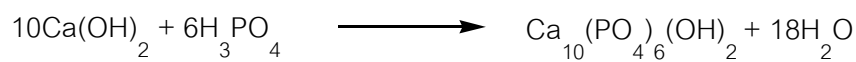
2.2.3 การสังเคราะห์ไฮดรอกซีอะพาไทต์ [26]

วิธีการสังเคราะห์ไฮดรอกซีอะพาไทต์สามารถทำได้หลายวิธี ได้แก่

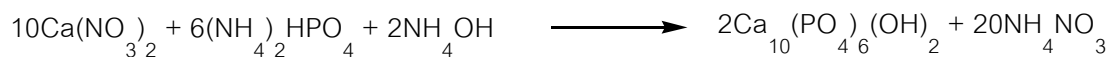
- วิธีตกตะกอนทางเคมี (Precipitation method)
- วิธีปฏิกิริยาไฮโดรไลซิส (Hydrolysis method)
- วิธีปฏิกิริยาสถานะของแข็ง (Solid-state reaction method)
- วิธีไฮโดรเทอร์มัล (Hydrothermal method)
- วิธีอัลคอกไซด์ (Alkoxide method)

1. วิธีตกตะกอนทางเคมี (Precipitation method)

การสังเคราะห์ไฮดรอกซีอะพาไทต์ โดยวิธีการตกตะกอนโดยทั่วไปจะเป็นไปตามวิธีของ Rathje [27] และ Hayek กับ Newesly [28] วิธีของ Rathje จะเป็นการเติมกรดฟอสฟอริกลงในสารละลายแคลเซียมไฮดรอกไซด์ที่ปั่นกวนอยู่ ดังสมการ



ส่วนวิธีของ Hayek กับ Newesly ได้มีการปรับปรุงวิธีการตกตะกอน โดยการทำให้ปฏิกิริยามีความเป็นเบสสูง เพื่อให้เกิดไฮดรอกซีอะพาไทต์ได้ดีด้วยการเติมแอมโมเนียมไฮดรอกไซด์ร่วมด้วย



วิธีนี้จะมีความไวต่อค่า pH และความเข้มข้นของสารเคมีที่ใช้ สามารถใช้ CaCO_3 , CaC_2O_4 , CaCl_2 หรือ $\text{Ca}(\text{CH}_3\text{COO})_2$ แทน $\text{Ca}(\text{NO}_3)_2$ และในทำนองเดียวกันสามารถใช้ $(\text{NH}_4)_3\text{PO}_4$, K_2HPO_4 , KH_2PO_4 หรือ NaH_2PO_4 แทน $(\text{NH}_4)_2\text{HPO}_4$ แคลเซียมแอสีเตต ($\text{Ca}(\text{CH}_3\text{COO})_2$) ได้ถูกเสนอให้นำมาใช้แทนแคลเซียมคลอไรด์หรือแคลเซียมไนเตรต เนื่องจากแอสีเตตไอออนจะไม่รวมเข้าด้วยกันกับไฮดรอกซีอะพาไทต์เหมือนไนเตรตไอออนหรือคลอไรด์ไอออนที่อาจรวมเข้ากับไฮดรอกซีอะพาไทต์ได้ อุณหภูมิที่ใช้ในการตกตะกอนจะอยู่ในช่วงอุณหภูมิห้องถึง 95-100 องศาเซลเซียส

ไฮดรอกซีอะพาไทต์ที่ได้จากการตกตะกอนมีลักษณะเป็นผงสีขาวละเอียด และจับตัวกันเป็นโครงสร้างที่มีรูปลูกที่ยังไม่สมบูรณ์

2. วิธีปฏิกิริยาไฮโดรไลซิส (Hydrolysis method)

ไฮดรอกซีอะพาไทต์สามารถเตรียมได้จากปฏิกิริยาไฮโดรไลซิสของกรดแคลเซียมฟอสเฟต เช่น ไดแคลเซียมฟอสเฟตไดไฮเดรต ($\text{CaHPO}_4 \cdot 2\text{H}_2\text{O}$) ออกตะแคลเซียมฟอสเฟต ($\text{Ca}_8\text{H}_2(\text{PO}_4)_6 \cdot 5\text{H}_2\text{O}$) ไดแคลเซียมฟอสเฟต (CaHPO_4) ในสารละลายแอมโมเนียมไฮดรอกไซด์ โซเดียมไฮดรอกไซด์หรือโพแทสเซียมไฮดรอกไซด์ [29] นอกจากนี้ไฮดรอกซีอะพาไทต์ยังสามารถเตรียมได้จากปฏิกิริยาไฮโดรไลซิสของแคลเซียมคาร์บอเนตในสารละลายแอมโมเนียมฟอสเฟตหรือโซเดียมฟอสเฟต [30]

3. วิธีปฏิกิริยาสถานะของแข็ง (Solid-state reaction method)

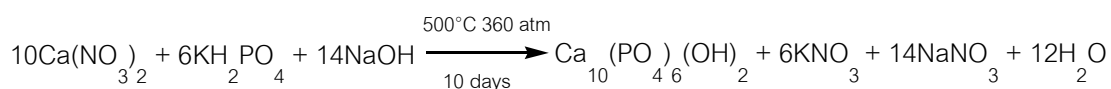
วิธีการนี้เป็นวิธีการพื้นฐาน ทำได้โดยนำสารเคมีในสถานะที่เป็นของแข็งมาทำปฏิกิริยากันที่อุณหภูมิสูง (Solid-state reaction) ตัวอย่างวิธีการสังเคราะห์โดยวิธีนี้ เช่น การสังเคราะห์ไฮดรอกซีอะพาไทต์จากปฏิกิริยาระหว่างแคลเซียมคาร์บอเนตและแอมโมเนียมฟอสเฟต และผสมในสถานะของแข็งด้วยเครื่องผสมพลังงานสูง ดังสมการ [31]



ไฮดรอกซีอะพาไทต์ที่ได้จากปฏิกิริยาสภาวะของแข็งจึงมีลักษณะเป็นผงละเอียดและเรียงเป็นโครงสร้างผลึกในระดับนาโนเมตร โดยมีขนาดผลึกอยู่ในช่วงระหว่าง 10-50 นาโนเมตร

4. วิธีไฮโดรเทอร์มัล (Hydrothermal method)

วิธีนี้ทำโดยการนำสารเคมีที่เป็นเกลือของแคลเซียมและฟอสเฟต มาทำปฏิกิริยากันภายในบรรยากาศที่มีความดันและอุณหภูมิสูง เช่น Sun [32] ใช้ $\text{Ca}(\text{NO}_3)_2$ ทำปฏิกิริยากับ KH_2PO_4 ใน NaOH ที่ 500 องศาเซลเซียส ภายใต้ความดัน 360 บรรยากาศ เป็นเวลา 10 วัน ปฏิกิริยาที่เกิดขึ้นจะเป็นดังสมการนี้



ส่วนวิธีของ Somiya [33] ใช้ $\text{Ca}(\text{NO}_3)_2$ ทำปฏิกิริยากับ KH_2PO_4 ใน NaOH และควบคุมสภาวะที่อุณหภูมิ 100-200 องศาเซลเซียส และความดัน 0.1-0.2 เมกกะปาสคาล เป็นเวลา 10 ชั่วโมง ไฮดรอกซีอะพาไทต์ที่ได้จากวิธีนี้จะมีลักษณะเป็นผลึกเดี่ยว (Single crystal) ที่สมบูรณ์ และสามารถทำให้มีขนาดต่างๆได้

5. วิธีอัลคอกไซด์ (Alkoxide method) [34]

วิธีนี้เป็นวิธีใหม่ที่ใช้สังเคราะห์ไฮดรอกซีอะพาไทต์ให้มีลักษณะเป็นฟิล์มบางๆ โดยใช้แคลเซียมไนเตรตเตตระไฮเดรตกับกรดฟอสฟอริก ละลายในน้ำกลั่น ซึ่งสารละลายผสมมีสภาวะเป็นกรดทำให้ไฮดรอกซีอะพาไทต์ยังไม่เกิดการตกผลึก จากนั้นนำสารละลายไปฉีดพ่นบนโลหะไทเทเนียมโดยใช้ก๊าซอาร์กอนเป็นตัวพัดดันสารละลายผ่านหัวฉีด

2.2.4 สารประกอบจำพวกแคลเซียมฟอสเฟตอื่นๆ [25]

นอกจากไฮดรอกซีอะพาไทต์แล้วยังมีสารประกอบจำพวกแคลเซียมฟอสเฟตอีกหลายชนิดที่เข้ามามีบทบาทในงานวิจัยด้านวัสดุทางการแพทย์และอวัยวะเทียม สารประกอบแคลเซียมฟอสเฟตเหล่านี้แตกต่างกันที่อัตราส่วนโดยโมลของ Ca:P ในโครงสร้างและชนิดของไอออนองค์ประกอบอื่นๆ ตัวอย่างของแคลเซียมฟอสเฟตบางชนิดแสดงดังตารางที่ 2.2

ตารางที่ 2.2 แคลเซียมฟอสเฟตชนิดต่างๆ ที่มีอัตราส่วน Ca:P แตกต่างกัน

สูตร	ชื่อ	อักษรย่อ	Ca:P
$\text{Ca}_4(\text{PO}_4)_2\text{O}$	Tetracalcium phosphate	TeCP	2.0
$\text{Ca}_{10}(\text{PO}_4)_6(\text{OH})_2$	Hydroxyapatite	Hap	1.67
$\text{Ca}_{10-x}\text{H}_{2x}(\text{PO}_4)_6(\text{OH})_2$	Amorphous calcium phosphate	ACP	-
$\text{Ca}_3(\text{PO}_4)_2$	Tricalcium phosphate	TCP	1.50
$\text{Ca}_8\text{H}_2(\text{PO}_4)_6 \cdot 5\text{H}_2\text{O}$	Octacalcium phosphate	OCP	1.33
$\text{CaHPO}_4 \cdot 2\text{H}_2\text{O}$	Dicalcium phosphate dehydrate	DCPD	1.0
CaHPO_4	Dicalcium phosphate	DCP	1.0
$\text{Ca}_2\text{P}_2\text{O}_7$	Calcium pyrophosphate dehydrate	CPPD	1.0
$\text{Ca}_7(\text{P}_5\text{O}_{16})_2$	Heptacalcium dihydrogen phosphate	HCP	0.7
$\text{Ca}_2\text{H}_2\text{P}_6\text{O}_4$	Tetracalcium dihydrogen phosphate	TCHP	0.67
$\text{Ca}(\text{H}_2\text{PO}_4)_2 \cdot \text{H}_2\text{O}$	Monocalcium phosphate monohydrate	MCPM	0.5
$\text{Ca}(\text{PO}_3)_2$	Calcium metaphosphate (α, β, γ)	CMP	0.5

ไฮดรอกซีอะพาไทต์เป็นวัสดุทางชีวภาพที่มีการศึกษาในด้านวิศวกรรมเนื้อเยื่อกระดูกมากที่สุด เนื่องจากไฮดรอกซีอะพาไทต์มีความสามารถในการเข้ากันได้ทางชีวภาพที่ดี มีความสามารถที่จะเกิดพันธะเคมี กับเนื้อเยื่อรอบๆ ได้โดยตรงและสามารถที่จะเหนี่ยวนำให้เกิดการเจริญเติบโตของเนื้อเยื่อกระดูกได้ นอกจากนี้ยังไม่เป็นพิษ ไม่ก่อให้เกิดการอักเสบและไม่ต่อต้านกับระบบภูมิคุ้มกัน (non-immunogenic) อย่างไรก็ตามไฮดรอกซีอะพาไทต์มีข้อจำกัด คือ ความเปราะเมื่อนำไปใช้ในกระบวนการทดแทนกระดูก และขึ้นรูปได้ยาก

2.2.5 การประยุกต์ใช้งานของไฮดรอกซีอะพาไทต์ในทางการแพทย์ [35]

ไฮดรอกซีอะพาไทต์แบบผง (powder hydroxyapatite) ใช้เคลือบลงบนโลหะที่ทำเป็นข้อสะโพกเทียมหรือรากฟันเทียม เพื่อให้โลหะทนทานต่อการกัดกร่อนของของเหลวภายในร่างกาย และสามารถเกิดการยึดติดระหว่างวัสดุชีวภาพและเนื้อเยื่อร่างกายได้ดีขึ้น นอกจากนี้ยังนำไปผสมกับวัสดุอื่น เช่น พอลิเมอร์เพื่อใช้ทำกระดูกเทียม

1. ไฮดรอกซีอะพาไทต์แบบขึ้นเนื้อแน่น (Dense hydroxyapatite) จะมีสมบัติเชิงกลดีกว่าแบบรูพรุน มักนำไปใช้ทดแทนกระดูกสันหลังของผู้ป่วย โดยไฮดรอกซีอะพาไทต์จะกระตุ้นให้เซลล์กระดูกมาเกาะ ทำให้เกิดการยึดติดได้ดีขึ้น
2. ไฮดรอกซีอะพาไทต์แบบมีรูพรุน (Porous hydroxyapatite) นิยมใช้เป็นวัสดุทดแทนกระดูกเป็นตัวเติมทางด้านสัลยกรรมกระดูก ไฮดรอกซีอะพาไทต์ชนิดนี้มีพื้นที่ผิวมาก เนื่องจากมีรูพรุนจึงมีสมบัติเชิงกลต่ำ โดยเฉพาะด้านความแข็งแรง ดังนั้นจึงต้องมีการปรับปรุงสมบัติเชิงกลก่อนนำไปใช้งาน ซึ่งสามารถทำได้โดยนำไปผลิตเป็นวัสดุเชิงประกอบ

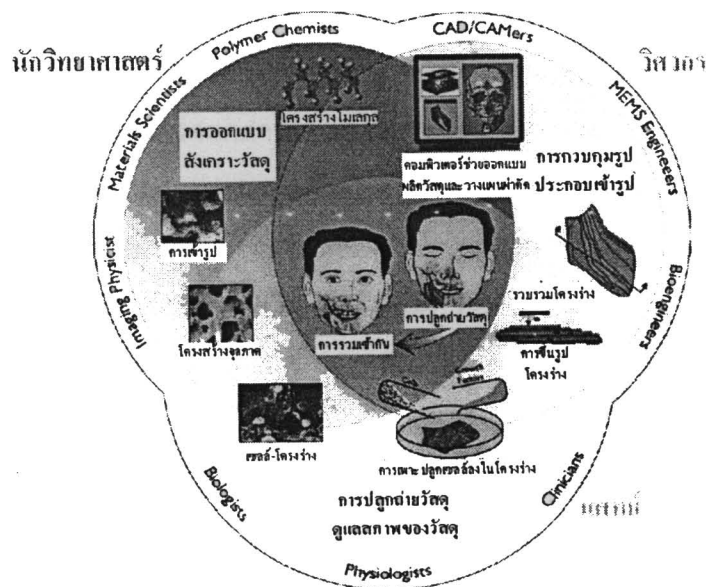
2.3 วิศวกรรมเนื้อเยื่อ (Tissue engineering)

วิศวกรรมเนื้อเยื่อ คือพื้นฐานของการสร้างอะไหล่สำรองของเยื่อเยื่อหรืออวัยวะให้กับร่างกายมนุษย์ ซึ่งอาจรวมถึงการสร้างเนื้อเยื่อใหม่ (reconstruct) การแทนที่เนื้อเยื่อ (replace) หรือการซ่อมแซมเนื้อเยื่อ (repair) หรืออวัยวะที่ได้รับบาดเจ็บนั้นๆ

วัสดุสร้างเนื้อเยื่อทดแทน (tissue-engineered substitute) คือวัสดุที่มีสามมิติ และสามารถนำไปปลูกถ่าย (implant) ในร่างกาย พร้อมทั้งชักนำให้เนื้อเยื่อเดิมในร่างกายยอมรับและสร้างเนื้อเยื่อหรืออวัยวะใหม่ที่ซับซ้อนกว่าขึ้นมาซ่อมแซม ซึ่งวัสดุสร้างเนื้อเยื่อทดแทนจะประกอบไปด้วยเซลล์และเมทริกซ์ของพอลิเมอร์ชนิดต่างๆ

การรักษาผู้ป่วยที่สูญเสียกระดูกจากการประสบอุบัติเหตุ ผ่าตัดเนื้องอก หรือมีกระดูกที่เสียรูป มักใช้วิธีการปลูกถ่ายเนื้อเยื่อกระดูก เพื่อทำการซ่อมแซมส่วนที่เสียหายหรือแหวนหายไป หรือแม้กระทั่งกระดูกหักที่ไม่สามารถเชื่อมติดกัน ในต่างประเทศวัสดุทดแทนกระดูกได้ถูกจัดว่าเป็นวัสดุปลูกถ่ายที่สำคัญรองจากการให้เลือดและผลิตภัณฑ์จากเลือด การรักษาโดยใช้วัสดุทดแทนกระดูกประกอบด้วยวัสดุปลูกถ่ายจากตัวผู้ป่วยเอง (autograft) วัสดุปลูกถ่ายจากผู้อื่น (allograft) และวัสดุเลียนแบบชีวภาพ (biomimetic materials) [1] ความรู้ความก้าวหน้าทางด้านวิศวกรรมเนื้อเยื่อ (tissue engineering) มีส่วนเข้ามาพัฒนาวัสดุทดแทนกระดูก อันประกอบด้วยองค์ประกอบที่สำคัญ 3 ส่วน ได้แก่ โครงเลี้ยงเซลล์ (scaffolds) สารโปรตีนกระตุ้นการเจริญ (growth factors) และเซลล์ (cells) เซลล์ที่นำมาศึกษาทดลองคือ เซลล์ต้นกำเนิด (stem cells) ซึ่งนำมาจากตัวคน (adult stem cells) หรือนำมาจากตัวอ่อน (embryonic stem cells) ก็ได้ โดยอาศัยโปรตีนที่เป็นปัจจัยช่วยกระตุ้นการเจริญของเซลล์ (growth factors) สำหรับโครงร่างสามารถนำโครงเลี้ยงเซลล์ตามธรรมชาติ หรือนำโครงเลี้ยงเซลล์สังเคราะห์ซึ่งมีคุณสมบัติใกล้เคียงธรรมชาติและสลายตัวได้ เพื่อให้เซลล์มาเกาะรวมกันเป็นเนื้อเยื่อกระดูกซึ่งเป็นเนื้อเยื่อที่มีการเปลี่ยนแปลงตลอดเวลา เนื้อเยื่อกระดูกประกอบด้วยเซลล์และเส้นใยเนื้อเยื่อเกี่ยวพันนอกเซลล์ ดังนั้นการศึกษาวิจัยทางวิศวกรรม

เนื้อเยื่อต้องอาศัยความร่วมมือกับนักวิจัยในสาขาต่างๆ ที่เกี่ยวข้อง เช่น นักวิทยาศาสตร์ วิศวกร และแพทย์ เป็นต้น ผู้เชี่ยวชาญเหล่านี้มีส่วนร่วมเข้ามาร่วมศึกษาพัฒนาวัสดุทดแทนเพื่อนำมาใช้ในการรักษาผู้ป่วย นักวิทยาศาสตร์จำเป็นต้องเข้าใจกลไกพื้นฐานการเจริญพัฒนาของเซลล์และเนื้อเยื่อ เข้าใจกระบวนการซ่อมแซมเนื้อเยื่อส่วนที่เสียหาย แล้วจึงประดิษฐ์วัสดุเนื้อเยื่อมาทดแทน ในขณะที่วิศวกรต้องคิดค้นระบบจำลองวัสดุโดยอาศัยโปรแกรมคอมพิวเตอร์มาช่วยสร้างรูปแบบโครงสร้างวัสดุ เพื่อนำความเข้าใจพื้นฐานที่เป็นข้อมูลอันสำคัญในการนำไปใช้ประดิษฐ์รูปทรงวัสดุ และในที่สุดแพทย์สามารถนำวัสดุเนื้อเยื่อทดแทนเหล่านั้นมาใช้ในการรักษาผู้ป่วยให้ดีขึ้น สรุปได้ดังรูปที่ 2.6



รูปที่ 2.6 แผนภาพการร่วมมือของนักวิจัยสาขาต่างๆ [36]

ปัจจุบันมีการนำกระดูกเทียมมาใช้ทางการแพทย์แล้ว แต่ข้อจำกัดของกระดูกเทียมที่พบคือมีความแข็งไม่เพียงพอ จึงมีการเชื่อมโยงความรู้กันระหว่างผู้เชี่ยวชาญทางด้านวัสดุเชิงประกอบและนักวิจัยทางการแพทย์ เพื่อคิดค้นกระดูกเทียมทำจากวัสดุสังเคราะห์ที่รวมทั้งสมบัติทางโครงสร้างและสมบัติทางชีวภาพเข้าด้วยกัน

2.4 วัสดุเชิงประกอบ [37]

เนื่องจากวัสดุชีวภาพที่ผลิตมาจากโลหะ พอลิเมอร์ หรือเซรามิกส์เพียงอย่างเดียว อาจมีข้อด้อยในสมบัติบางประการ ดังนั้นจึงมีการพัฒนานำวัสดุแต่ละชนิดมาประกอบรวมกันเพื่อให้ได้วัสดุที่มีสมบัติตามต้องการและสามารถนำไปใช้งานได้มีประสิทธิภาพ

2.4.1 ความหมายของวัสดุเชิงประกอบ

วัสดุเชิงประกอบ (Composites) คือวัสดุที่ประกอบด้วยสารตั้งแต่ 2 ชนิดขึ้นไปผสมกัน โดยสารแต่ละชนิดจะมีรูปร่างและส่วนประกอบทางเคมีที่แตกต่างกัน นอกจากนี้สารแต่ละชนิดต้องไม่ละลายซึ่งกันและกัน วัสดุเชิงประกอบนั้นจัดทำขึ้นเพื่อปรับปรุงสมบัติและคุณภาพของวัสดุให้ตรงกับการใช้งานมากยิ่งขึ้น หรืออาจจะกล่าวได้ว่าเป็นการนำเอาข้อดีของวัสดุแต่ละชนิดมาทำให้ได้วัสดุใหม่ที่มีสมบัติดีขึ้น วัสดุเชิงประกอบจะแบ่งออกเป็น 2 ส่วนหลัก ได้แก่

1. ส่วนเสริมแรง (Reinforcement) คือส่วนที่เป็นโครงสร้างที่ให้ความแข็งแรงแก่วัสดุเชิงประกอบ วัสดุที่เป็นส่วนเสริมแรงนี้จะมีความแข็งแรงและมอดูลัสสูง เช่น เส้นใยคาร์บอน โลหะ และเซรามิกส์ เป็นต้น
2. เมทริกซ์ (Matrix) เป็นวัสดุที่ทำหน้าที่ยึดส่วนเสริมแรงเข้าด้วยกัน โดยจะล้อมรอบและปกป้องส่วนเสริมแรงจากสภาวะแวดล้อมภายนอก เมทริกซ์จะทำหน้าที่เป็นตัวถ่ายเทแรงที่ได้รับไปสู่ส่วนเสริมแรง

2.4.2 ชนิดของวัสดุเชิงประกอบ

ชนิดของวัสดุเชิงประกอบสามารถแบ่งได้เป็น 3 ประเภท คือ

1. วัสดุเชิงประกอบที่มีพอลิเมอร์เป็นเมทริกซ์ (Polymer Matrix Composites, PMCs) พอลิเมอร์ถูกนำมาใช้เนื่องจากมีความแข็งแรง มีสมบัติที่ดี แบ่งออกเป็น 2 ชนิดตามสมบัติทางความร้อน คือ เทอร์โมเซตและเทอร์โมพลาสติก
2. วัสดุเชิงประกอบที่มีเซรามิกส์เป็นเมทริกซ์ (Ceramic Matrix Composites, CMCs) เซรามิกส์เป็นวัสดุที่เปราะแตกง่ายซึ่งเป็นสาเหตุที่ไม่นำไปใช้เป็นวัสดุวิศวกรรม แต่เนื่องจากเซรามิกส์มีสมบัติทางความร้อนที่ดี ดังนั้นในปัจจุบันจึงได้มีการเสริมแรงด้วยเส้นใยเพื่อนำไปใช้งานด้านอากาศยาน
3. วัสดุเชิงประกอบที่มีโลหะเป็นเมทริกซ์ (Metal Matrix Composites, MMCs) มักใช้ในทางด้านอุตสาหกรรมรถยนต์และยานอวกาศ แต่มีข้อเสีย เนื่องจากความหนาแน่นของโลหะทำให้วัสดุมีน้ำหนักมาก

2.5 งานวิจัยที่เกี่ยวกับการเตรียมวัสดุเชิงประกอบพอลิเมอร์และไฮดรอกซีอะพาไทต์

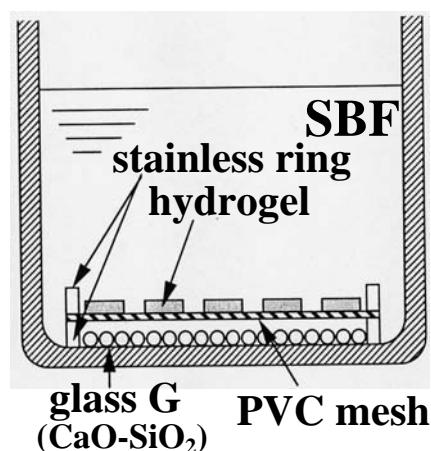
โดยทั่วไปการเตรียมวัสดุเชิงประกอบระหว่างพอลิเมอร์และไฮดรอกซีอะพาไทต์แบ่งออกได้เป็น 2 วิธีการหลักๆ คือ วิธีที่จำเป็นต้องขึ้นรูปพอลิเมอร์ก่อนและวิธีที่ไม่จำเป็นต้องขึ้นรูปพอลิเมอร์ก่อน

1. วิธีที่จำเป็นต้องขึ้นรูปพอลิเมอร์ก่อน

Biomimetic method

Kokubo [38] ได้ทำการสังเคราะห์อะพาไทต์ไปบนไฮโดรเจลที่วางบนตาข่ายพีวีซี เพื่อเลียนแบบกระดูกธรรมชาติ

การทดลอง โดยการนำไฮโดรเจลวางอยู่บนตาข่ายพีวีซีแช่ในสารละลายที่เลียนแบบของเหลวในร่างกาย (Simulated Body Fluid) ความเข้มข้น 1.5 เท่า โดยด้านล่างของตาข่ายพีวีซีมี glass G ซึ่งมีความสามารถในการเหนียวทำให้เกิดอะพาไทต์บนไฮโดรเจลได้ดี ทำให้สามารถสังเคราะห์อะพาไทต์บนไฮโดรเจลได้ ดังรูปที่ 2.7

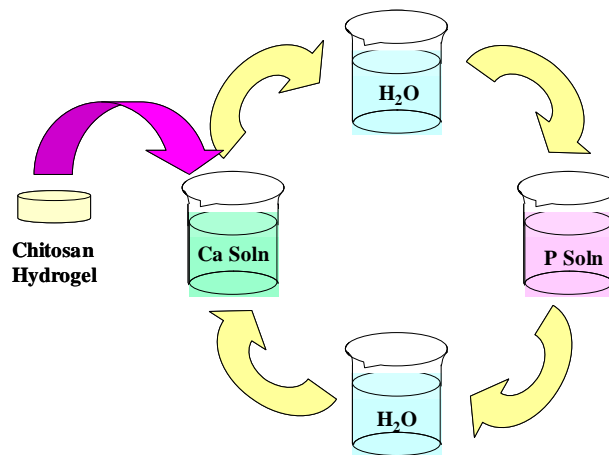
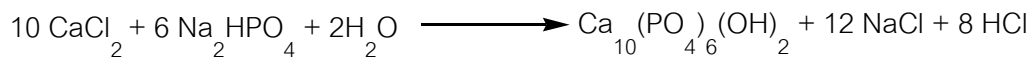


รูปที่ 2.7 การสังเคราะห์อะพาไทต์บนไฮโดรเจลด้วย Biomimetic Method

Alternate soaking process

Tachaboonyakiat และคณะ [39] สังเคราะห์ไฮดรอกซีอะพาไทต์ไปยังไคโตซานไฮโดรเจล โดยกระบวนการจุ่มสลับ (Alternate soaking process)

การทดลอง การสังเคราะห์ไฮดรอกซีอะพาไทต์ให้เกิดบนไคโตซานไฮโดรเจลโดยวิธีการจุ่มสลับไคโตซานไฮโดรเจลลงในสารละลายตั้งต้นที่ใช้ในการสังเคราะห์ไฮดรอกซีอะพาไทต์ คือ

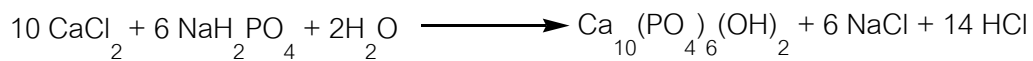


รูปที่ 2.8 การสังเคราะห์ไฮดรอกซีอะพาไทต์ภายในโคโตซานไฮโดรเจลด้วยกระบวนการจุ่มสลับ (Alternate soaking process)

Double diffusion system

Manjubala และคณะ [40] ศึกษาการเกิด ไฮดรอกซีอะพาไทต์ ภายในโครงเลี้ยงเซลล์โคโตซาน 3 มิติที่มีรูพรุน (3D porous chitosan scaffold) โดยใช้ระบบ double diffusion system

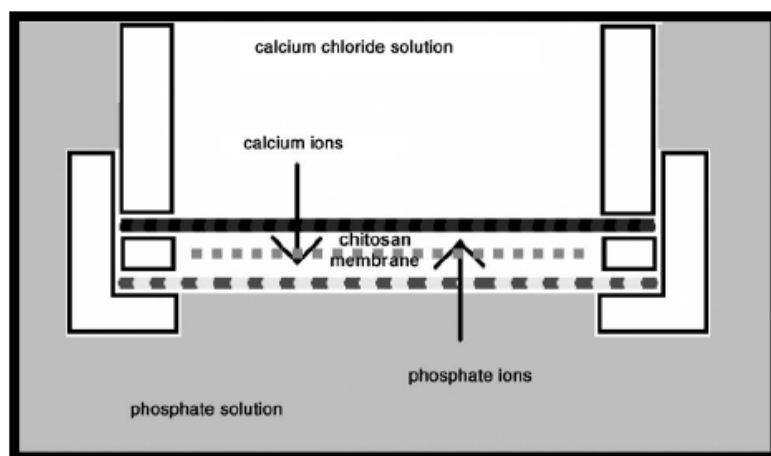
การทดลอง การสังเคราะห์ไฮดรอกซีอะพาไทต์ภายในโครงเลี้ยงเซลล์โคโตซาน 3 มิติที่มีรูพรุน ซึ่งโครงเลี้ยงเซลล์โคโตซาน 3 มิติที่มีรูพรุนนี้ได้จากการนำสารละลายโคโตซานมาทำแห้งภายใต้ความดันสุญญากาศ ณ จุดเยือกแข็ง (lyophilisation) ระบบ double diffusion จะประกอบด้วย chamber ที่ถูกแยกออกเป็นสองส่วนด้วยช่องว่างตรงกลาง และนำโครงเลี้ยงเซลล์โคโตซานยึดอยู่บริเวณนี้เพื่อแยกสารละลาย calcium chloride และ sodium dihydrogen phosphate ออกจากกัน สารละลายจะเกิดการแพร่ผ่านโครงเลี้ยงเซลล์โคโตซานที่อุณหภูมิต่ำ ใช้เวลาในการแพร่ผ่านโครงเลี้ยงเซลล์โคโตซานตั้งแต่ 4 จนถึง 48 ชั่วโมง เกิดเป็นไฮดรอกซีอะพาไทต์ ดังสมการ จากการศึกษาด้วย SEM พบว่าเมื่อเวลาในการ mineralization มากขึ้นก็จะพบไฮดรอกซีอะพาไทต์มากขึ้นด้วย ซึ่งไฮดรอกซีอะพาไทต์ที่สังเคราะห์ได้จากวิธีนี้มีผลึกเป็นรูปเข็มอยู่กันเป็นกลุ่มก้อน (cluster of needle-shaped) ซึ่งสามารถพิสูจน์ผลึกไฮดรอกซีอะพาไทต์ได้ด้วย XRD ไฮดรอกซีอะพาไทต์ที่สังเคราะห์ได้มีขนาดระดับนาโนเมตร ซึ่งสามารถยืนยันจาก TEM



Dual membrane diffusion system

Ehrlich และคณะ [41] ศึกษาการเกิด ไฮดรอกซีอะพาไทต์ บนโคโตซานเจลเมมเบรนในระบบ dual membrane diffusion

การทดลอง ในระบบนี้ chitosan membrane จะถูกวางอยู่ระหว่าง cation-selective membrane และ anion-selective membrane เพื่อทำหน้าที่เป็นเยื่อเลือกผ่านให้เกิดการแพร่ผ่านของ calcium ion และ phosphate ion ผ่าน cation-selective membrane และ anion-selective membrane ตามลำดับ ไปยังแผ่นเยื่อโคโตซาน ที่อุณหภูมิ 37°C เป็นเวลา 3 วัน ดังรูปที่ 2.9 ซึ่งสามารถที่จะทำให้เกิดผลึกแคลเซียมฟอสเฟตภายในโคโตซานเมทริกซ์ เมื่อนำมาศึกษาสัญญาณวิทยาพบว่าเกิดไฮดรอกซีอะพาไทต์ในแผ่นเยื่อโคโตซาน จากการยืนยันผลด้วย FTIR ปรากฏพีกที่แสดงความเป็นไฮดรอกซีอะพาไทต์ที่ 561 และ 601 cm^{-1}



รูป 2.9 การสังเคราะห์ไฮดรอกซีอะพาไทต์ภายในแผ่นเยื่อโคโตซานด้วยระบบ dual membrane diffusion

2. วิธีที่ไม่จำเป็นต้องขึ้นรูปพอลิเมอร์ก่อน

วิธีการผสมผงไฮดรอกซีอะพาไทต์ลงในสารละลายพอลิเมอร์

Mathieu และคณะ [42] ได้เตรียมวัสดุเชิงประกอบที่มีความสามารถในการดูดซับได้ทางชีวภาพ (bioresorbable) จากพอลิเมอร์และเซรามิก

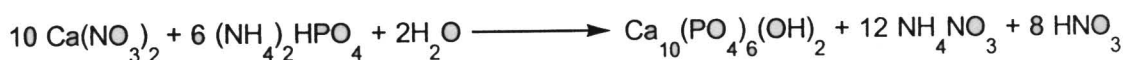
การทดลอง การเตรียมวัสดุเชิงประกอบระหว่างพอลิแลคติกแอซิดและไฮดรอกซีอะพาไทต์ โดยนำผงไฮดรอกซีอะพาไทต์ค้อยเติมลงไปนสารละลายพอลิแลคติกแอซิด (PLA) แล้วทำการปั่น

กวน เพื่อให้ได้สารแขวนลอยที่เป็นเนื้อเดียวกัน แล้วระเหยตัวทำละลายออก แล้วนำไปขึ้นรูปให้เป็นโฟมด้วยวิธี gas foaming technique เพื่อเตรียมเป็นวัสดุเชิงประกอบที่มีรูพรุน

Chemical wet method

Kong และคณะ [43] ได้ศึกษาการเตรียมวัสดุเชิงประกอบนาโนไฮดรอกซีอะพาไทต์และโคโตซานที่มีโครงร่าง 3 มิติ โดยใช้วิธีทางเคมีแบบเปียก (chemical wet method) ในการสังเคราะห์ไฮดรอกซีอะพาไทต์ in situ ซึ่งเป็นการสังเคราะห์แบบระบบสารละลาย 2 ชนิด ซึ่งได้แก่สารละลาย $\text{Ca}(\text{NO}_3)_2$ และสารละลาย $(\text{NH}_4)_2\text{HPO}_4$ การสังเคราะห์แบบนี้จะทำให้ของผสมเป็นเนื้อเดียวกันได้ง่ายกว่าระบบการผสมของแข็งและสารละลาย และวัสดุเชิงประกอบที่ได้จะเป็นเนื้อเดียวกันมากกว่า แล้วทำให้สารละลายผสมวัสดุเชิงประกอบนั้นมาขึ้นรูปสามมิติที่มีรูพรุนโดยวิธีทำแห้งภายใต้ความดันสูญญากาศ ณ จุดเยือกแข็ง (lyophilization)

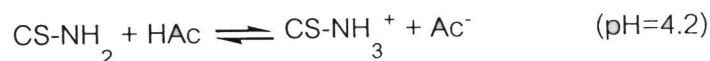
การทดลอง วัสดุเชิงประกอบระหว่างสารละลายโคโตซานและไฮดรอกซีอะพาไทต์สามารถเตรียมได้โดยค่อยๆเติมสารละลาย $\text{Ca}(\text{NO}_3)_2$ และสารละลาย $(\text{NH}_4)_2\text{HPO}_4$ ซึ่งเป็นสารที่ใช้ในการสังเคราะห์ไฮดรอกซีอะพาไทต์ลงไปนสารละลายโคโตซานแล้วคนให้เข้ากัน



ข้อดี ทำให้ได้ของผสมที่เป็นเนื้อเดียวกันได้ง่ายกว่าการเตรียมโดยผสมผงไฮดรอกซีอะพาไทต์ลงไปโดยตรง

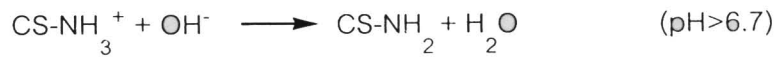
in situ hybridization

Hu และคณะ [44] ได้เตรียมวัสดุเชิงประกอบโคโตซาน-ไฮดรอกซีอะพาไทต์ระดับนาโนในลักษณะแท่งทรงกระบอก (rod) และเสนอกลไกการเตรียมวัสดุเชิงประกอบโคโตซาน-ไฮดรอกซีอะพาไทต์ว่า การมีหมู่อะมิโนทำให้โคโตซานสามารถอยู่ในรูปสารละลายหรือของแข็งได้ ขึ้นอยู่กับ pH ของระบบ หมู่อะมิโนอิสระของโคโตซาน (CS-NH_2) จะถูกโปรตอนตไปเป็น CS-NH_3^+ เมื่อโคโตซานถูกละลายในสารละลายกรดแอซีติก (HAc) ซึ่งแสดงดังนี้

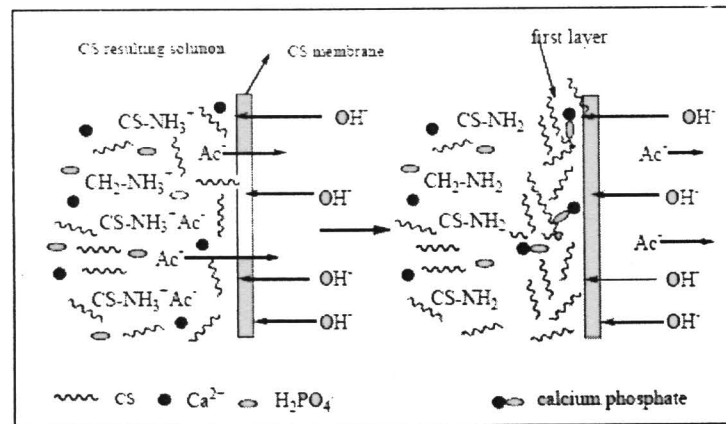


pH ที่ทำให้โคโตซานเกิดการตกตะกอนโดยปกติแล้วคือเข้าใกล้ 6.0 และจากการอ้างอิงถึงงานวิจัยของ Viala และคณะ [45] ที่แสดงให้เห็นว่า แคลเซียมไอออนและฟอสเฟตไอออนในสารละลายจะยังคงทำให้โคโตซานละลายได้เมื่อ pH ต่ำกว่า 6.7 ในขณะที่ pH ของการเกิดไฮดรอกซีอะพาไทต์จะมากกว่า 10 ดังนั้นจึงสรุปได้ว่าแคลเซียมไอออนและฟอสเฟตไอออนยังคงอยู่ในรูปของไอออนใน

สารละลาย และไคโตซานจะเกิดการตกตะกอนพร้อมกับเกิดไฮดรอกซีอะพาไทต์ทันทีเมื่อ pH ของสารละลายมากกว่า 10



กระบวนการเตรียมวัสดุเชิงประกอบที่มีลักษณะเป็นแท่งทรงกระบอก จะใช้แผ่นเยื่อไคโตซาน (chitosan membrane) เป็นตัวขัดขวางสารละลาย ขนาดของไอออนที่เล็กพอที่จะแพร่ผ่านแผ่นเยื่อไคโตซานได้ เช่น OH^- , H^+ , Ac^- และอื่นๆ ส่วน Ca^{2+} และ H_2PO_4^- จะแพร่ผ่านแผ่นเยื่อไคโตซานได้ยากกว่าเนื่องจากความหนืดของสารละลาย เมื่อ OH^- แพร่ไปยังสารละลายก็จะเจอ CS-NH_3^+ , Ca^{2+} และ H_2PO_4^- แล้วทำให้ไคโตซานเกิดการตกตะกอนพร้อมกับเกิดแคลเซียมฟอสเฟตเป็นชั้นแรก ของวัสดุเชิงประกอบ ดังรูปที่ 2.10



รูป 2.10 กลไกการเกิดวัสดุเชิงประกอบของไคโตซานและไฮดรอกซีอะพาไทต์โดยวิธี *in situ* hybridization

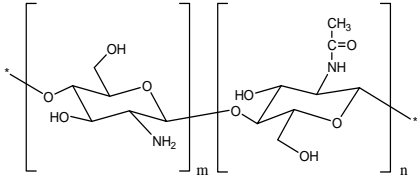
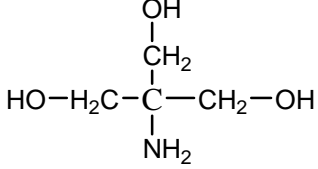
บทที่ 3

วิธีการทดลอง

3.1 สารเคมีที่ใช้ในการทดลอง

สารเคมีที่ใช้ในการทดลองแสดงในตารางที่ 3.1

ตารางที่ 3.1 แสดงสารเคมีที่ใช้ในการทดลอง

สารเคมี	สูตรโครงสร้าง	บริษัท
โคโตซาน		Fluka, Japan
แคลเซียมคลอไรด์ เกรด สำหรับวิเคราะห์	CaCl_2	Carlo Erba Reagent, Italy
ไดโซเดียมไฮโดรเจนพอสเฟต เกรดสำหรับวิเคราะห์	Na_2HPO_4	Carlo Erba Reagent, Italy
กรดแอสติค	CH_3COOH	Bdh Laboratory Supply, England
โซเดียมแอสเตต เกรดสำหรับ วิเคราะห์	CH_3COONa	Scharlua, Spain
Tris-(hydroxymethyl)- aminomethane เกรดสำหรับ วิเคราะห์		Scharlua, Spain
กรดไฮโดรคลอริก	HCl	J.T. BAKER, U.S.A.

3.2 อุปกรณ์และเครื่องมือที่ใช้ในการทดลอง

3.2.1 แผ่นเยื่อเลือกผ่านที่มี MWCO 6000-8000 ของ Membrane Filtration Products, Inc., U.S.A.

3.2.2 หลอดทดลองขนาด 50 มิลลิลิตร แบบมีฝาเกลียว

3.2.3 ไมโครปิเปตขนาด 100, 1000 และ 5000 ไมโครลิตร รุ่น Propette autoclavable

3.2.4 เครื่องผสมแบบความเร็วสูง (vortex mixer)

3.2.5 pH-meter รุ่น Ultrabasic

3.2.6 แม่แบบพลาสติก

3.2.7 ขวดวัดปริมาตรขนาด 100, 250, 500 และ 1000 มิลลิลิตร

3.2.8 ตู้อบ

3.3 เครื่องมือที่ใช้ในการวิเคราะห์

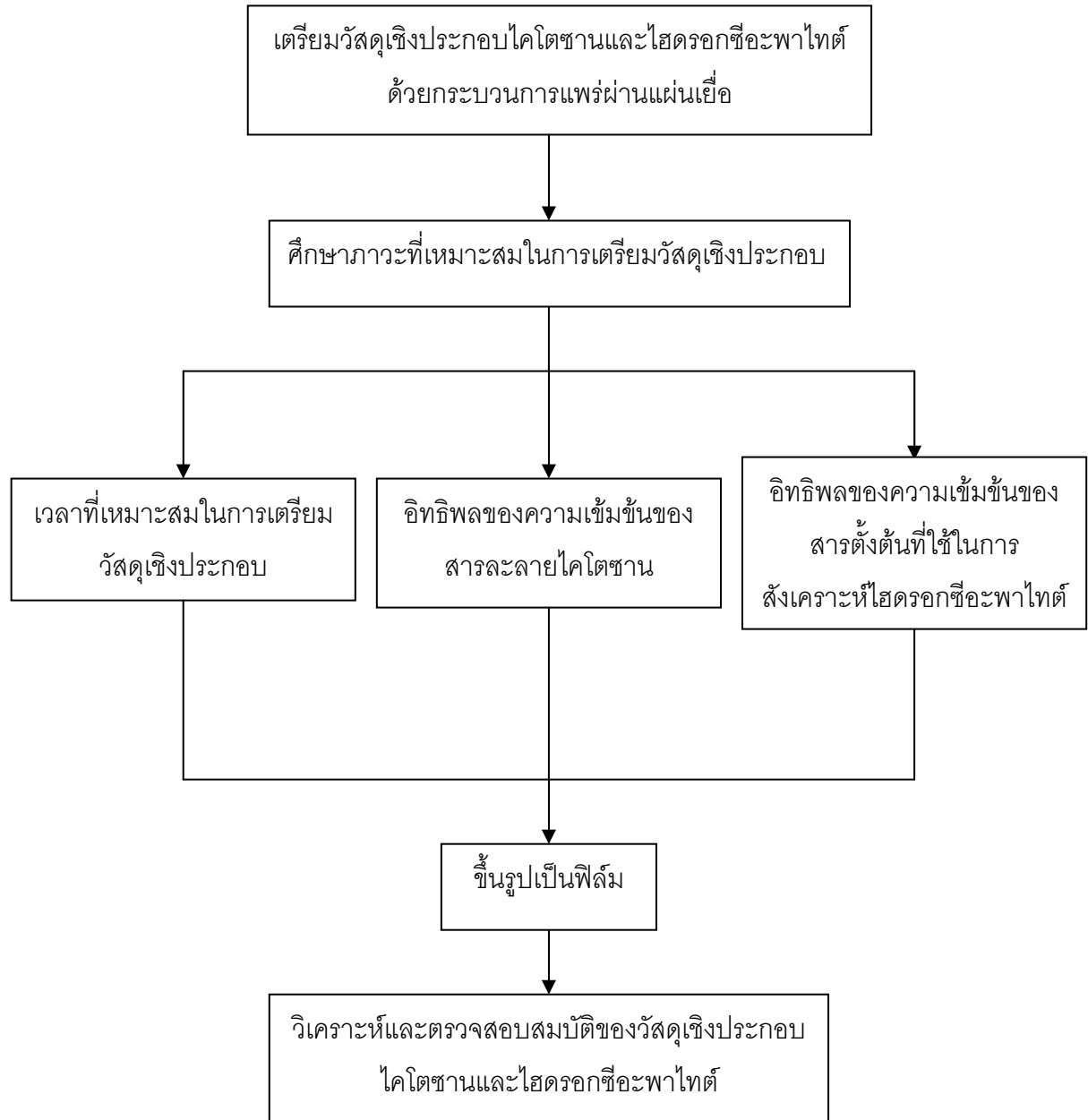
เครื่องมือที่ใช้ในการวิเคราะห์แสดงในตารางที่ 3.2

ตารางที่ 3.2 แสดงเครื่องมือที่ใช้ในการวิเคราะห์

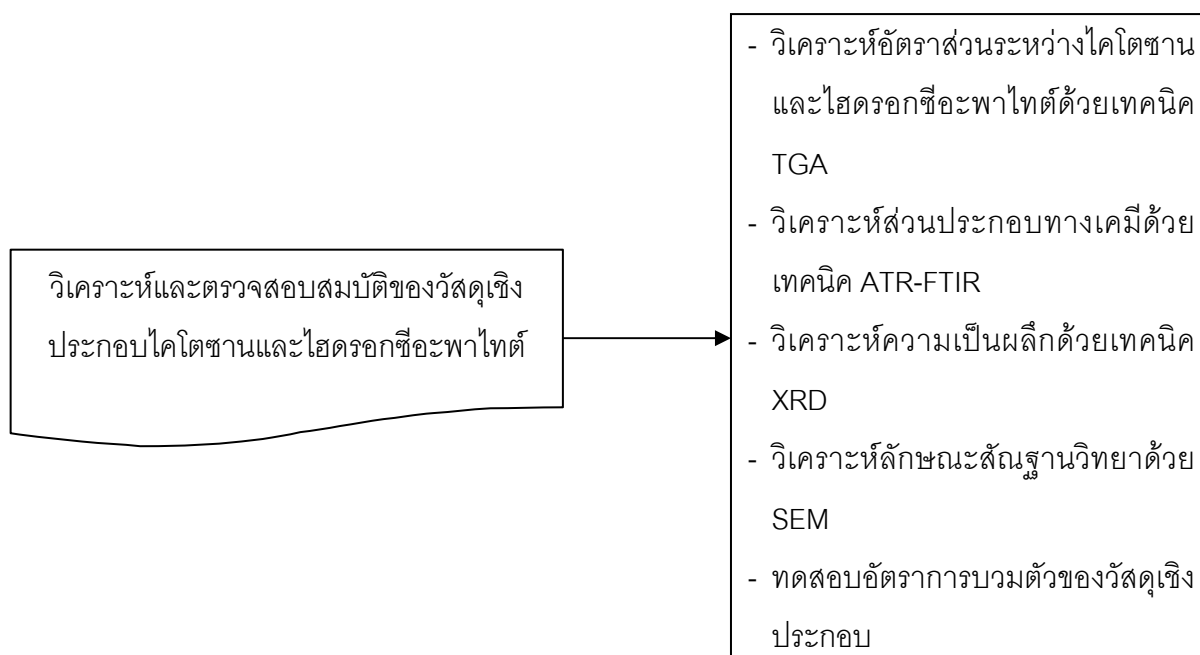
เครื่อง	รุ่น	หมายเหตุ
เครื่องเทอร์โมกราวิเมตริกแอนนาไลเซอร์ (Thermogravimetric Analyzer, TGA)	METTLER TOLEDO (TGA/SDTA 851)	ภาควิชาวัสดุศาสตร์ คณะวิทยาศาสตร์ จุฬาลงกรณ์มหาวิทยาลัย
กล้องจุลทรรศน์อิเล็กตรอนแบบส่องกราด (Scanning Electron Microscope, SEM)	JEOL JSM-5800LV	ศูนย์เครื่องมือวิจัยวิทยาศาสตร์และเทคโนโลยี จุฬาลงกรณ์มหาวิทยาลัย
เครื่องเอกซเรย์ดิฟแฟรคโตมิเตอร์ (X-ray diffractometer, XRD)	Bruker AXS Model D8	ภาควิชาวัสดุศาสตร์ คณะวิทยาศาสตร์ จุฬาลงกรณ์มหาวิทยาลัย
เครื่องแอมพเทนนูเอทเททโททอลรีเฟรกชันฟูเรียร์ทรานสฟอร์มอินฟราเรดสเปกโตรสโคปี (ATR-FTIR)	Nicolet 6700	ภาควิชาเคมี คณะวิทยาศาสตร์ จุฬาลงกรณ์มหาวิทยาลัย

3.4 ขอบเขตของการทดลอง

ขอบเขตของการทดลองแสดงดังรูปที่ 3.1



รูปที่ 3.1 แผนผังขอบเขตการทดลอง



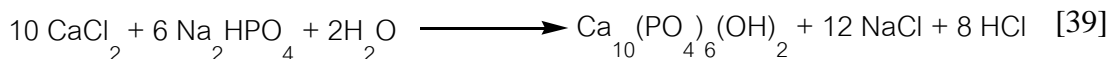
รูปที่ 3.1 แผนผังขอบเขตการทดลอง (ต่อ)

3.5 วิธีการทดลอง

3.5.1 การเตรียมวัสดุเชิงประกอบไคโตซานและไฮดรอกซีอะพาไทต์ด้วยกระบวนการแพร่ผ่านแผ่นเยื่อ

- 1) ละลายไคโตซานด้วย 0.1 M อะซีเตตบัฟเฟอร์ ($\text{CH}_3\text{COOH}/\text{CH}_3\text{COONa}$) กวนจนกระทั่งสารละลายเป็นเนื้อเดียวกัน โดยใช้เครื่องปั่นผสมแบบความเร็วสูง (vortex mixer)
- 2) ละลายแคลเซียมคลอไรด์ด้วย 0.1 M แอซีเตตบัฟเฟอร์ ($\text{CH}_3\text{COOH}/\text{CH}_3\text{COONa}$) จากนั้นค่อยๆ หยดสารละลายแคลเซียมคลอไรด์ลงในสารละลายข้อ 1) แล้วกวนจนกระทั่งสารละลายเป็นเนื้อเดียวกัน โดยใช้เครื่องปั่นผสมแบบความเร็วสูง (vortex mixer)
- 3) เทสารละลายที่ได้จากข้อ 2) ลงในแผ่นเยื่อเลือกผ่าน
- 4) เตรียมสารละลายไดโซเดียมไฮโดรเจนฟอสเฟต โดยละลายไดโซเดียมไฮโดรเจนฟอสเฟต ในน้ำกลั่น และเติม tris-(hydroxymethyl)-aminomethane แล้ววัดค่า pH ด้วยเครื่องวัด pH จากนั้นปรับ pH เป็น 7.4 ด้วยกรดไฮโดรคลอริก

- 5) จากนั้นนำแผ่นเยื่อเลือกผ่านที่มีสารละลายโคโตซานและแคลเซียมคลอไรด์ แช่ลงในสารละลายโซเดียมไดไฮโดรเจนฟอสเฟต ดังรูปที่ 3.2 เพื่อให้เกิดการแพร่ของไอออนผ่านแผ่นเยื่อแล้วเกิดไฮดรอกซีอะพาไทต์ ดังสมการ



- 6) เมื่อครบตามเวลาที่กำหนดเทสารละลายที่ได้ลงในแม่แบบพลาสติก เพื่อขึ้นรูปเป็นแผ่นฟิล์ม
- 7) อบที่อุณหภูมิ 60 องศาเซลเซียส เป็นเวลา 1 วัน
- 8) ล้างฟิล์มที่ได้ด้วยน้ำกลั่น เพื่อกำจัดแคลเซียมคลอไรด์ที่หลงเหลือจากปฏิกิริยาและโซเดียมคลอไรด์ที่เป็นผลผลิตพลอยได้จากปฏิกิริยาการสังเคราะห์ไฮดรอกซีอะพาไทต์
- 9) นำฟิล์มที่ได้ไปหาวิเคราะห์อัตราส่วนระหว่างโคโตซานและไฮดรอกซีอะพาไทต์



รูปที่ 3.2 สารละลายโคโตซานและแคลเซียมคลอไรด์แช่ในสารละลายโซเดียมไดไฮโดรเจนฟอสเฟต

3.5.2 การหาภาวะที่เหมาะสมในการเตรียมวัสดุเชิงประกอบโคโตซานและไฮดรอกซีอะพาไทต์ แบ่งออกเป็น 3 ส่วน

- ก) ศึกษาเวลาที่เหมาะสมในการเตรียมวัสดุเชิงประกอบโคโตซานและไฮดรอกซีอะพาไทต์

โดยการควบคุมความเข้มข้นของสารละลายโคโตซานที่ความเข้มข้น 2 เปอร์เซ็นต์ โดยน้ำหนัก และความเข้มข้นของสารตั้งต้นที่ใช้ในการสังเคราะห์ไฮดรอกซีอะพาไทต์ คือ สารละลายแคลเซียมคลอไรด์เข้มข้น 0.40 M และสารละลายโคโตซานไฮโดรเจน

ฟอสเฟตเข้มข้น 0.24 M ให้คงที่ จากนั้นเปลี่ยนแปลงเวลาที่ทำให้เกิดการแพร่ของไอออน มีขั้นตอนดังนี้

- 1) เตรียมสารละลายโคโตซานความเข้มข้น 2 เปอร์เซ็นต์โดยน้ำหนัก และสารละลายแคลเซียมคลอไรด์ 0.40 M โดยละลายโคโตซาน 0.1000 กรัม และแคลเซียมคลอไรด์ 0.222 กรัม ด้วยสารละลาย 0.1 M แอซีเตตบัฟเฟอร์ 5 มิลลิลิตร ปั่นกวนจนกระทั่งสารละลายผสมเป็นเนื้อเดียวกันด้วยเครื่องปั่นผสมแบบความเร็วสูง
- 2) นำสารละลายโคโตซานและแคลเซียมคลอไรด์ในข้อ 1) บรรจุลงในแผ่นเยื่อเลือกผ่าน
- 3) เตรียมสารละลายไดโซเดียมไฮโดรเจนฟอสเฟต 0.24 M, pH 7.4 โดยละลายไดโซเดียมไฮโดรเจนฟอสเฟต 3.408 กรัม ด้วยน้ำกลั่น จากนั้นเติม Tris-(hydroxymethyl)-aminomethane ละลายให้เข้ากัน ปรับ pH เป็น 7.4 ด้วยกรดไฮโดรคลอริก แล้วปรับปริมาตรเป็น 100 มิลลิลิตร
- 4) นำแผ่นเยื่อเลือกผ่านที่มีสารละลายโคโตซานและแคลเซียมคลอไรด์ แच्छงในสารละลายไดโซเดียมไฮโดรเจนฟอสเฟต 20 มิลลิลิตร
- 5) เปลี่ยนแปลงเวลาในการแพร่ผ่านของแคลเซียมไอออนและฟอสเฟตไอออนเป็น 1, 2, 3, 4 และ 5 วัน เพื่อหาเวลาที่ปฏิกิริยาเคมีเกิดสมบูรณ์
- 6) จากนั้นเมื่อได้ตามเวลาที่กำหนดแล้ว นำมาขึ้นรูปเป็นฟิล์มโดยเทสารละลายลงในแม่พิมพ์พลาสติก แล้วอบให้แห้งที่อุณหภูมิ 60 องศาเซลเซียส เป็นเวลา 24 ชั่วโมง
- 7) ล้างฟิล์มที่ได้ด้วยน้ำกลั่น เพื่อกำจัดแคลเซียมคลอไรด์ที่หลงเหลือจากปฏิกิริยาและโซเดียมคลอไรด์ที่เป็นผลผลิตพลอยได้จากปฏิกิริยาการสังเคราะห์ไฮดรอกซีอะพาไทต์
- 8) นำฟิล์มไปวิเคราะห์อัตราส่วนระหว่างโคโตซานและไฮดรอกซีอะพาไทต์ด้วยเครื่องเทอร์โมกราวิเมตริกแอนนาลีเซอส์

ข) ศึกษาอิทธิพลของความเข้มข้นของสารละลายโคโตซานต่ออัตราส่วนระหว่างโคโตซานและไฮดรอกซีอะพาไทต์ของวัสดุเชิงประกอบ

โดยเตรียมสารละลายโคโตซานที่ความเข้มข้นต่างๆ แล้วควบคุมความเข้มข้นของสารละลายแคลเซียมคลอไรด์เข้มข้น 0.40 M และสารละลายไดโซเดียมไฮโดรเจนฟอสเฟตเข้มข้น 0.24 M ให้คงที่ และควบคุมเวลาที่ทำให้เกิดการแพร่ของแคลเซียมไอออนและฟอสเฟตไอออนตามที่ได้จากการทดลองข้อ ก) ดังนี้

- 1) เตรียมสารละลายแคลเซียมคลอไรด์ 0.40M และสารละลายโคโตซานความเข้มข้น 1, 1.5, 1.75 และ 2 เปอร์เซ็นต์โดยน้ำหนัก โดยละลายแคลเซียมคลอไรด์ 0.222 กรัม

และโคโคซาน 0.0500, 0.0750, 0.0875 และ 0.1000 กรัม ในสารละลาย 0.1 M แอซีเตตบัฟเฟอร์ 5 มิลลิลิตร ตามลำดับ

- 2) นำสารละลายโคโคซานและแคลเซียมคลอไรด์ในข้อ 1) บรรจุลงในแผ่นเยื่อเลือกผ่าน
- 3) เตรียมสารละลายโซเดียมไดไฮโดรเจนฟอสเฟตเป็น 0.24 M, pH 7.4 เช่นเดียวกับการทดลองข้อ ก)
- 4) นำแผ่นเยื่อเลือกผ่านที่มีสารละลายโคโคซานและแคลเซียมคลอไรด์ แคล่งในสารละลายไดโซเดียมไฮโดรเจนฟอสเฟต 20 มิลลิลิตร
- 5) ควบคุมเวลาในการแพร่ผ่านของแคลเซียมไอออนและฟอสเฟตไอออนตามที่ได้จากการทดลองข้อ ก)
- 6) ขึ้นรูปเป็นฟิล์มโดยเทสารละลายลงในแม่พิมพ์พลาสติก แล้วอบให้แห้งที่อุณหภูมิ 60 องศาเซลเซียส เป็นเวลา 24 ชั่วโมง
- 7) ล้างฟิล์มที่ได้ด้วยน้ำกลั่น เพื่อกำจัดแคลเซียมคลอไรด์ที่หลงเหลือจากปฏิกิริยาและโซเดียมคลอไรด์ที่เป็นผลผลิตพลอยได้จากปฏิกิริยาการสังเคราะห์ไฮดรอกซีอะพาไทต์
- 8) นำฟิล์มไปวิเคราะห์อัตราส่วนระหว่างโคโคซานและไฮดรอกซีอะพาไทต์ด้วยเครื่องเทอร์โมกราวิเมตริกแอนนาไลเซอร์

ค) ศึกษาอิทธิพลของความเข้มข้นของสารตั้งต้นที่ใช้ในการสังเคราะห์ไฮดรอกซีอะพาไทต์ต่ออัตราส่วนระหว่างโคโคซานและไฮดรอกซีอะพาไทต์ของวัสดุเชิงประกอบ

โดยควบคุมเวลาและความเข้มข้นของสารละลายโคโคซานให้คงที่ตามที่ได้จากการทดลองข้อ ก) และ ข) ตามลำดับ แล้วเปลี่ยนแปลงความเข้มข้นของสารละลายแคลเซียมคลอไรด์และสารละลายไดโซเดียมไฮโดรเจนฟอสเฟตดังแสดงในตารางที่ 3.3 มีขั้นตอนดังนี้

- 1) เตรียมสารละลายโคโคซานที่มีความเข้มข้นตามที่ได้จากการทดลองข้อ ข) แล้วเปลี่ยนแปลงความเข้มข้นของแคลเซียมคลอไรด์เป็น 0.20, 0.40, 0.60, 0.80, 1.00 และ 2.00 M โดยชั่งแคลเซียมคลอไรด์ 0.111, 0.222, 0.333, 0.444, 0.555 และ 1.111 กรัม ตามลำดับ ละลายในสารละลาย 0.1 M แอซีเตตบัฟเฟอร์ 5 มิลลิลิตร
- 2) นำสารละลายโคโคซานและแคลเซียมคลอไรด์ในข้อ 1) บรรจุลงในแผ่นเยื่อเลือกผ่าน

- 3) เตรียมสารละลายไดโซเดียมไฮโดรเจนฟอสเฟตความเข้มข้น 0.12, 0.24, 0.36, 0.48, 0.60 และ 1.20 M โดยละลายไดโซเดียมไฮโดรเจนฟอสเฟต 1.704, 3.408, 5.112, 6.816, 8.520 และ 17.040 กรัม ในน้ำกลั่น ตามลำดับ ปรับ pH เป็น 7.4 และปรับปริมาตรจนได้ 100 มิลลิลิตร
- 4) นำแผ่นเยื่อเลือกผ่านที่มีสารละลายโคโคซานและแคลเซียมคลอไรด์ แช่ลงในสารละลายไดโซเดียมไฮโดรเจนฟอสเฟต 20 มิลลิลิตร ดังตารางที่ 3.3
- 5) ควบคุมเวลาในการแพร่ผ่านของแคลเซียมไอออนและฟอสเฟตไอออนตามที่ได้จากการทดลองข้อ ก)
- 6) ขึ้นรูปเป็นฟิล์มโดยเทสารละลายลงในแม่พิมพ์พลาสติก แล้วอบให้แห้งที่อุณหภูมิ 60 องศาเซลเซียส เป็นเวลา 24 ชั่วโมง
- 7) ล้างฟิล์มที่ได้ด้วยน้ำกลั่น เพื่อกำจัดแคลเซียมคลอไรด์ที่หลงเหลือจากปฏิกิริยาและโซเดียมคลอไรด์ที่เป็นผลผลิตพลอยได้จากปฏิกิริยาการสังเคราะห์ไฮดรอกซีอะพาไทต์
- 8) นำฟิล์มไปวิเคราะห์อัตราส่วนระหว่างโคโคซานและไฮดรอกซีอะพาไทต์ด้วยเครื่องเทอร์โมกราวิเมตริกแอนนาไลเซอร์

ตารางที่ 3.3 แสดงอัตราส่วนโดยโมลระหว่างแคลเซียมคลอไรด์และไดโซเดียมไฮโดรเจนฟอสเฟต

สูตร	CaCl ₂ (M)	Na ₂ HPO ₄ (M)
HA1	0.20	0.12
HA2	0.40	0.24
HA3	0.60	0.36
HA4	0.80	0.48
HA5	1.00	0.60
HA6	2.00	1.20

3.6 การวิเคราะห์และทดสอบ

3.6.1 การวิเคราะห์หาอัตราส่วนระหว่างสารอินทรีย์และสารอนินทรีย์

3.6.1.1 การวิเคราะห์อัตราส่วนระหว่างไคโตซานและไฮดรอกซีอะพาไทต์ด้วยเทคนิคเทอร์โมกราวิเมตริกแอนนาไลซิส (Thermogravimetric Analysis, TGA)

การวิเคราะห์สมบัติทางความร้อนด้วยเทคนิค TGA เป็นการวิเคราะห์อัตราส่วนระหว่างไคโตซานและไฮดรอกซีอะพาไทต์ โดยอาศัยเสถียรภาพทางความร้อนที่แตกต่างกันของสารอินทรีย์ (ไคโตซาน) และสารอนินทรีย์ (ไฮดรอกซีอะพาไทต์) ด้วยเทอร์โมกราวิเมตริกแอนนาไลเซอร์ของ METTLER TOLEDO รุ่น TGA/SDTA 851° ดังรูปที่ 3.3 โดยนำสารตัวอย่างที่มีน้ำหนักประมาณ 3-10 มิลลิกรัม ใส่ในถาดอะลูมินา ใช้ภาวะในการทดสอบเริ่มจากอุณหภูมิ 50 ถึง 700 องศาเซลเซียส และคงอุณหภูมิที่ 700 องศาเซลเซียส เป็นเวลา 10 นาที อัตราการเพิ่มความร้อน 20 องศาเซลเซียส/นาที ทดสอบภายใต้บรรยากาศของแก๊สออกซิเจน และมีอัตราเร็วในการไหล (gas flow rate) 20 มิลลิลิตร/นาที



รูปที่ 3.3 เทอร์โมกราวิเมตริกแอนนาไลเซอร์ ของ METTLER TOLEDO รุ่น TGA/SDTA 851°

3.6.2 การวิเคราะห์คุณลักษณะของวัสดุเชิงประกอบไคโตซานและไฮดรอกซีอะพาไทต์ที่สังเคราะห์ได้ด้วยกระบวนการแพร่ผ่านแผ่นเยื่อ

วัสดุเชิงประกอบไคโตซานและไฮดรอกซีอะพาไทต์ที่เตรียมได้จากกระบวนการแพร่ผ่านแผ่นเยื่อ โดยควบคุมเวลาในการแพร่ผ่านแผ่นเยื่อให้คงที่ตามเวลาที่เหมาะสมจากการทดลอง ข้อ 3.5.2 (ก) และคงที่ความเข้มข้นของสารละลายไคโตซานที่เหมาะสม ตามที่ได้จากการทดลองข้อ

3.5.2 (ข) โดยวัสดุเชิงประกอบโคโคซานและไฮดรอกซีอะพาไทต์ สูตร HA1, HA3 และ HA5 ถูกเลือกมาเป็นตัวอย่างในการวิเคราะห์คุณลักษณะของไฮดรอกซีอะพาไทต์ ดังต่อไปนี้

3.6.2.1 วิเคราะห์ส่วนประกอบทางเคมีด้วยเทคนิคแอทเทนนูเอทเททโททอลรีเฟรคชันฟูเรียร์ทรานสฟอร์มอินฟราเรด (Attenuated Total Reflection Fourier transform Infrared, ATR-FTIR)

เทคนิคแอทเทนนูเอทเททโททอลรีเฟรคชันฟูเรียร์ทรานสฟอร์มอินฟราเรด เป็นการวิเคราะห์พื้นผิวของวัสดุ โดยรังสีอินฟราเรดจะถูกส่งผ่าน infrared transmitting crystal ที่มีดัชนีการหักเหของแสงสูง แล้วเกิดการสะท้อนของรังสีภายในผลึกหรือเอทีอาร์ปริซึม โดยตัวอย่างจะถูกวางอยู่บน crystal แล้ววิเคราะห์ด้วยเครื่อง ATR-FTIR ดังแสดงในรูปที่ 3.4

รุ่น Nicolet 6700 FTIR Spectrometer (Thermo Electron Corporation, Madison, WI, USA)

Source Standard Globar™ Infrared Light Source

Detector MCT/A

Spectral resolution 4 cm⁻¹

Number of scan 128 scans

Advance parameter

Zero filling -

Apodization Hopp-Genzel

Phase correction Mertz

Continum Infrared Microscope

Instrument setup

Objective 15x Schwarzschild-Cassegrain

Aperture size 150x150 μm

หาแถบดูดกลืนที่เกิดจากหมู่ฟังก์ชันต่างๆ ซึ่งสามารถบอกถึงโครงสร้างทางเคมีของสารได้ โดยอินฟราเรดสเปกตรัมของโคโคซานและไฮดรอกซีอะพาไทต์จะอยู่ในช่วง 4000-650 ซม⁻¹ พีคที่สำคัญของโคโคซานแสดงดังตารางที่ 3.4 และพีคที่ระบุหมู่ฟังก์ชันเฉพาะของไฮดรอกซีอะพาไทต์ อยู่ที่ 1110 ซม⁻¹ (PO₄³⁻)

ตารางที่ 3.4 พีค FTIR ของโคโคซาน [40]

Peak value (cm ⁻¹)	Assignment
2900	-CH ₂
1650	Amide I
1600	Amine deformation
1595	-NH ₂ amino
1077	C-O Stretching
1000	C=O (undeacetylation)
899	C-O



รูปที่ 3.4 เครื่องแอสเพนนูเอทเททโททอลรีเฟรกันฟูเรียร์ทรานสฟอร์มอินฟราเรดสเปกโตรโฟโตมิเตอร์ (ATR-FTIR) รุ่น Nicolet 6700

3.6.2.2 การวิเคราะห์ความเป็นผลึกของไฮดรอกซีอะพาไทต์ด้วยเทคนิคเอกซ์เรย์ดิฟแฟรกชัน (X-ray diffraction, XRD)

วิเคราะห์โครงสร้างของไฮดรอกซีอะพาไทต์ในวัสดุเชิงประกอบโคโคซานและไฮดรอกซีอะพาไทต์โดยเทคนิคเอกซ์เรย์ดิฟแฟรกชัน (XRD) ด้วยเครื่อง Bruker AXS Model D8 ดังแสดงในรูปที่ 3.5

ภาวะที่ใช้ในการทดลอง

หลอดรังสีเอกซ์ : Cu

แหล่งกำเนิดรังสีเอกซ์ : CuK_α (λ=1.54060)

โดยเครื่องเริ่มทำงานที่มุม 2θ ตั้งแต่ 10-55 องศา ด้วยอัตราเร็ว 0.02 องศา/วินาที



รูปที่ 3.5 เครื่องเอกซเรย์ดิฟแฟรคโตรมิเตอร์ ของ Bruker AXS Model D8

3.6.2.3 วิเคราะห์ลักษณะสัณฐานวิทยาของวัสดุเชิงประกอบด้วยกล้องจุลทรรศน์อิเล็กตรอนแบบส่องกราด (Scanning Electron Microscope, SEM)

การตรวจสอบสัณฐานวิทยาของวัสดุเชิงประกอบไคโตซานและไฮดรอกซีอะพาไทต์ด้วยกล้องจุลทรรศน์อิเล็กตรอนแบบส่องกราด รุ่น JEOL JSM-5800LV ดังแสดงในรูปที่ 3.6 เป็นการตรวจสอบลักษณะสัณฐานวิทยาของวัสดุเชิงประกอบ โดยนำฟิล์มไปเคลือบผิวด้วยทองคำ ใช้ 15 แอมแปร์ เป็นเวลา 3 นาที ก่อนทำการตรวจสอบด้วยกล้องจุลทรรศน์อิเล็กตรอนแบบส่องกราดที่ใช้ศักย์ไฟฟ้า 15 กิโลโวลต์ ที่กำลังขยาย 1,500 เท่า

3.6.2.4 วิเคราะห์อัตราส่วนระหว่างแคลเซียมและฟอสฟอรัสของไฮดรอกซีอะพาไทต์ด้วยกล้องจุลทรรศน์อิเล็กตรอนแบบส่องกราด (Scanning Electron Microscope, SEM) พร้อมเครื่องวิเคราะห์ธาตุในโครงสร้างจุลภาคชนิดแจกแจงพลังงานรังสีเอกซ์ (Energy X-ray Dispersive Spectroscopy, EDS)

การวิเคราะห์ธาตุในโครงสร้างจุลภาคชนิดแจกแจงพลังงานรังสีเอกซ์ (Energy Dispersive X-ray Spectrometer) ทำโดยนำวัสดุเชิงประกอบไคโตซานและไฮดรอกซีอะพาไทต์ที่ต้องการวิเคราะห์ไปวางบนเทปกาวคาร์บอนที่แปะอยู่บนฐานวางตัวอย่าง เนื่องจากโครงสร้างของวัสดุเชิงประกอบมีธาตุคาร์บอนเป็นองค์ประกอบอยู่มากทำให้เลคตรอนสามารถวิ่งผ่านได้โดยไม่ต้องเคลือบด้วยผงคาร์บอน ซึ่งการทำงานของเครื่องจะทำภายใต้สุญญากาศจากนั้นจึงตรวจสอบด้วยกล้องจุลทรรศน์อิเล็กตรอนแบบส่องกราดยี่ห้อ JEOL รุ่น JSM-5800LV ดังรูปที่ 3.6

โดยใช้ศักย์ไฟฟ้า 20 กิโลโวลต์ ที่กำลังขยาย 2,500 เท่า โดยตั้งระยะห่างระหว่างลำแสงอิเล็กตรอนและตัวอย่างให้คงที่ที่ 15 ไมโครเมตร



รูปที่ 3.6 กล้องจุลทรรศน์อิเล็กตรอนแบบส่องกราด รุ่น JEOL JSM-5800LV

3.6.2.5 การทดสอบอัตราการบวมตัวของวัสดุเชิงประกอบไคโตซานและไฮดรอกซีอะซิเต้

การทดสอบอัตราการบวมตัวของไคโตซานและวัสดุเชิงประกอบไคโตซานและไฮดรอกซีอะซิเต้ ทำได้โดยนำไคโตซานและวัสดุเชิงประกอบไคโตซานและไฮดรอกซีอะซิเต้สูตร HA1, HA3 และ HA5 ที่ขึ้นรูปเป็นฟิล์มแล้วมาชั่งน้ำหนักขณะแห้ง (W_0) แล้วนำฟิล์มไคโตซานและวัสดุเชิงประกอบไคโตซานและไฮดรอกซีอะซิเต้ดังกล่าวไปแช่น้ำกลั่นเป็นเวลา 2 วัน เพื่อทดสอบการบวมตัว จากนั้นนำไคโตซานและวัสดุเชิงประกอบไคโตซานและไฮดรอกซีอะซิเต้ที่เกิดการบวมตัวในน้ำมาชั่งน้ำหนักอีกครั้ง (W) เพื่อหาอัตราการบวมตัวในน้ำ ดังสมการ

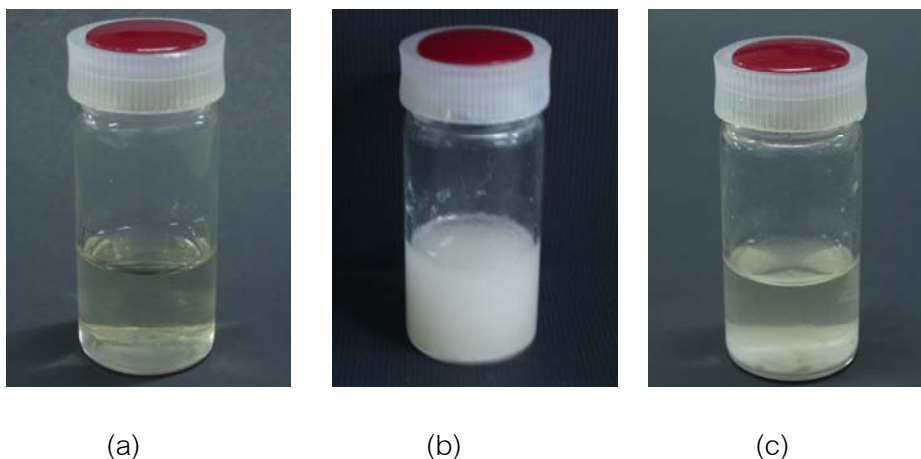
$$\% \text{ Swelling ratio} = ((W - W_0) / W_0) * 100$$

บทที่ 4

ผลการทดลองและวิจารณ์ผล

โดยทั่วไปการเตรียมวัสดุเชิงประกอบระหว่างสารอินทรีย์และสารอนินทรีย์นั้นทำได้หลายวิธี ได้แก่ Biomimetic Method [38], Alternate Soaking Process[39], Double Diffusion System[40] และ Dual Membrane Diffusion System[41] เป็นต้น ซึ่งวิธีการเหล่านี้จำเป็นต้องขึ้นรูปพอลิเมอร์ให้อยู่ในรูปแบบที่ต้องการก่อน จึงจะสังเคราะห์สารอินทรีย์ภายในเมทริกซ์ของพอลิเมอร์นั้น ๆ ได้ ซึ่งถ้าต้องการวัสดุเชิงประกอบที่มีขนาดเล็กมาก ๆ จะทำให้ยากต่อการขึ้นรูปพอลิเมอร์เมทริกซ์ ดังนั้น จากงานวิจัยที่ผ่านมาได้มีการพัฒนาการเตรียมวัสดุเชิงประกอบระหว่างสารอินทรีย์และสารอนินทรีย์โดยไม่จำเป็นต้องขึ้นรูปพอลิเมอร์ กล่าวคือ เป็นการสังเคราะห์สารอินทรีย์ภายในสารละลายพอลิเมอร์นั้น ๆ ซึ่งได้แก่ การผสมผงไฮดรอกซีอะพาไทต์ลงในสารละลายพอลิเมอร์โดยตรง [42] และ Chemical Wet Method [43] ซึ่งวิธีเหล่านี้จำเป็นต้องอาศัยการกวนของผสมอยู่ตลอดเวลาเพื่อป้องกันมิให้เกิดการตกตะกอนของสารอินทรีย์แยกชั้นออกจากสารละลายพอลิเมอร์

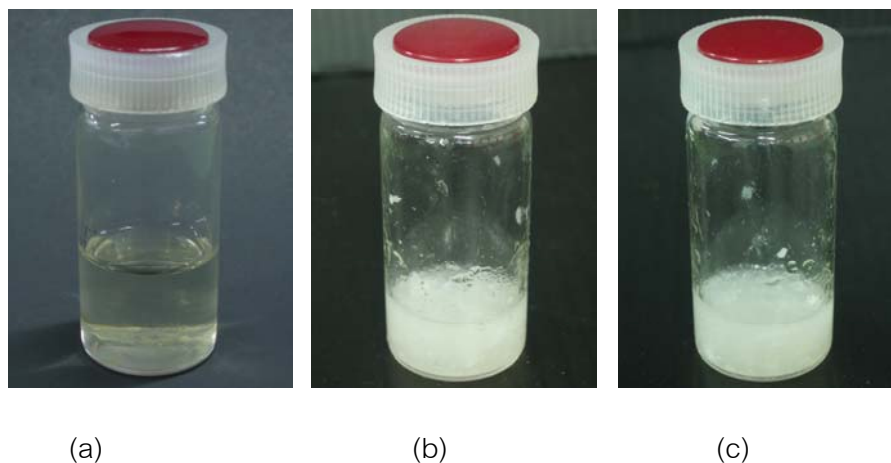
ในงานวิจัยนี้ได้ทดลองผสมผงไฮดรอกซีอะพาไทต์ลงไปในการละลายโคโตะซานโดยตรง การจะทำให้ผงไฮดรอกซีอะพาไทต์สามารถกระจายตัวอยู่ในสารละลายโคโตะซานได้ ต้องอาศัยการปั่นหรือการกวน แต่ก็ไม่สามารถทำให้ผงไฮดรอกซีอะพาไทต์สามารถผสมเป็นเนื้อเดียวกันได้ เพราะเมื่อถึงไ่วะยะเวลาหนึ่ง ผงไฮดรอกซีอะพาไทต์จะเกิดการตกตะกอนลงมา ดังแสดงในรูปที่ 4.1 ซึ่งแสดงให้เห็นว่าวิธีดังกล่าวไม่สามารถที่จะทำให้ผงไฮดรอกซีอะพาไทต์สามารถกระจายตัวอยู่ในสารละลายโคโตะซานได้นาน โดยเติมผงไฮดรอกซีอะพาไทต์ลงในสารละลายโคโตะซาน (รูปที่ 4.1 (a)) แล้วกวนให้ไฮดรอกซีอะพาไทต์กระจายอยู่ในสารละลายโคโตะซานจนเป็นเนื้อเดียวกันด้วยเครื่องผสมแบบความเร็วสูง (vortex mixer) ดังแสดงในรูปที่ 4.2 (b) จากนั้นตั้งทิ้งไว้เป็นเวลา 12 ชั่วโมง ไฮดรอกซีอะพาไทต์จะเกิดการตกตะกอนไม่สามารถกระจายตัวอยู่ในสารละลายโคโตะซานได้ดังแสดงในรูปที่ 4.2 (c) ดังนั้นการผสมผงไฮดรอกซีอะพาไทต์ลงในสารละลายโคโตะซานโดยตรงจึงไม่เหมาะสมต่อการเตรียมวัสดุเชิงประกอบระหว่างพอลิเมอร์และ สารอนินทรีย์ทั่วไป รวมถึงการเตรียมวัสดุเชิงประกอบโคโตะซานและไฮดรอกซีอะพาไทต์ด้วยกระบวนการแพร่ผ่านแผ่นเยื่อ (Membrane Diffusion Process) โดยใช้แผ่นเยื่อเป็นตัวชะลอการแพร่ของไอออนที่ใช้สังเคราะห์ไฮดรอกซีอะพาไทต์ ซึ่งได้แก่แคลเซียมไอออนและฟอสเฟตไอออนผ่านไปยังสารละลายโคโตะซาน ทำให้สังเคราะห์ไฮดรอกซีอะพาไทต์ที่มีเสถียรภาพในการกระจายตัวอยู่ในสารละลายโคโตะซานได้



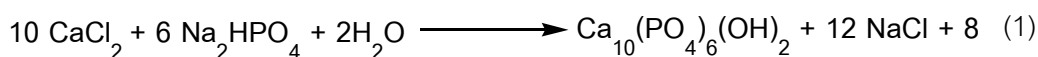
รูปที่ 4.1 การผสมผงไฮดรอกซีอะพาทาइटในสารละลายไคโตซาน: (a) สารละลายไคโตซาน, (b) การผสมผงไฮดรอกซีอะพาทาइटในสารละลายไคโตซาน, (c) ผงไฮดรอกซีอะพาทาइटเกิดการตกตะกอนหลังจากตั้งทิ้งไว้เป็นเวลา 12 ชั่วโมง

4.1 การเตรียมวัสดุเชิงประกอบไคโตซานและไฮดรอกซีอะพาทาइटด้วยกระบวนการแพร่ผ่านแผ่นเยื่อ

การเตรียมวัสดุเชิงประกอบไคโตซานและไฮดรอกซีอะพาทาइटด้วยกระบวนการแพร่ผ่านแผ่นเยื่อ ทำได้โดยละลายไคโตซานและแคลเซียมคลอไรด์ด้วยสารละลาย 0.1 M แอซีเตตบัฟเฟอร์จนได้สารละลายเนื้อเดียวกัน (รูปที่ 4.2 (a)) จากนั้นเทสารละลายไคโตซานและแคลเซียมคลอไรด์ลงในแผ่นเยื่อเลือกผ่าน แล้วแช่ลงในสารละลายไดโซเดียมไฮโดรเจนฟอสเฟต เมื่อไอออนของไดโซเดียมไฮโดรเจนฟอสเฟตแพร่ผ่านแผ่นเยื่อเข้ามาทำปฏิกิริยาเคมีกับไอออนของแคลเซียมคลอไรด์ที่ละลายเป็นเนื้อเดียวกันกับสารละลายไคโตซานทำให้สามารถสังเคราะห์ไฮดรอกซีอะพาทาइटที่กระจายตัวอย่างสม่ำเสมอในสารละลายไคโตซานได้ ดังปฏิกิริยาเคมีสมการที่ (1) รูปที่ 4.2 (b) แสดงลักษณะของวัสดุเชิงประกอบไคโตซานและไฮดรอกซีอะพาทาइटที่เตรียมด้วยกระบวนการแพร่ผ่านแผ่นเยื่อในลักษณะที่ยังเป็นสารละลายอยู่ จากนั้นเมื่อตั้งทิ้งไว้เป็นเวลา 1 วัน พบว่าไฮดรอกซีอะพาทาइटยังคงกระจายตัวได้ดีภายในสารละลายไคโตซาน โดยไม่ตกตะกอนลงมา ดังรูปที่ 4.2 (c) ดังนั้นวิธีการเตรียมด้วยกระบวนการแพร่ผ่านแผ่นเยื่อ จึงสามารถแก้ปัญหาการตกตะกอนของไฮดรอกซีอะพาทาइटได้



รูปที่ 4.2 การเตรียมวัสดุเชิงประกอบไฮดรอกซีอะพาไทต์ด้วยกระบวนการแพร่ผ่านแผ่นเยื่อ: (a) สารละลายไฮดรอกซีอะพาไทต์ (b) วัสดุเชิงประกอบไฮดรอกซีอะพาไทต์และไฮดรอกซีอะพาไทต์ และ (c) วัสดุเชิงประกอบไฮดรอกซีอะพาไทต์หลังจากตั้งทิ้งไว้เป็นเวลา 12 ชั่วโมงและไม่เกิดการตกตะกอน



หลังจากการสังเคราะห์ไฮดรอกซีอะพาไทต์ภายในสารละลายไฮดรอกซีอะพาไทต์ นำสารละลายเชิงประกอบไฮดรอกซีอะพาไทต์ที่ได้ไปขึ้นรูปเป็นฟิล์มและทดสอบการกระจายตัวของไฮดรอกซีอะพาไทต์ในแผ่นฟิล์ม

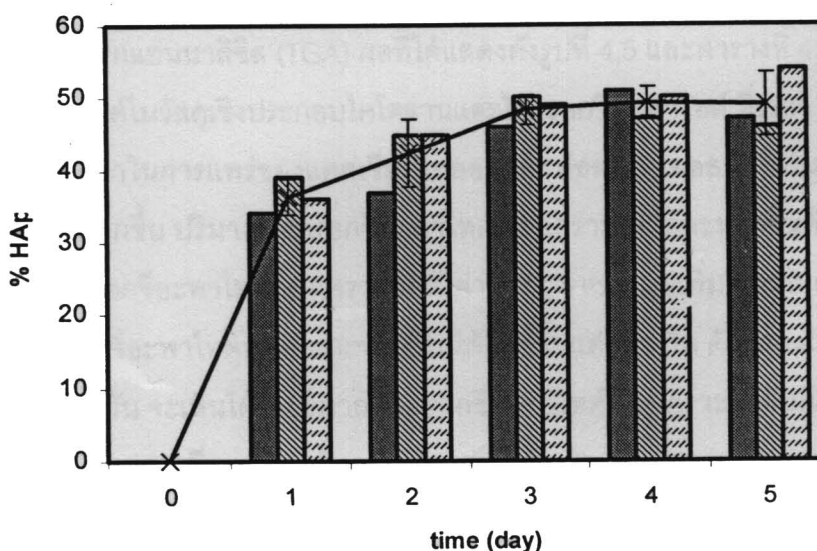
การตรวจสอบการกระจายตัวของไฮดรอกซีอะพาไทต์ภายในวัสดุเชิงประกอบไฮดรอกซีอะพาไทต์ที่เตรียมได้ด้วยกระบวนการแพร่ผ่านแผ่นเยื่อโดยใช้เวลาในการแพร่ผ่านของไฮดรอกซีอะพาไทต์ที่แตกต่างกันคือ 1, 2, 3, 4 และ 5 วัน หลังจากสิ้นสุดกระบวนการเตรียมสารละลายเชิงประกอบไฮดรอกซีอะพาไทต์ในแม่แบบพลาสติกแล้วอบที่อุณหภูมิ 60 องศาเซลเซียสเป็นเวลา 24 ชั่วโมงเพื่อขึ้นรูปเป็นแผ่นฟิล์ม จากนั้นใช้เทคนิคเทอร์โมกราวิเมตริกแอนนาไลซิส (TGA) หาร้อยละของไฮดรอกซีอะพาไทต์ที่สังเคราะห์ได้ในแผ่นฟิล์มดังกล่าว 3 บริเวณที่แตกต่างกัน เพื่อตรวจสอบการกระจายตัวของไฮดรอกซีอะพาไทต์ที่สม่ำเสมอแทรกตัวอยู่ในเนื้อของไฮดรอกซีอะพาไทต์

ซึ่งจากรูปที่ 4.3 และตารางที่ 4.1 พบว่า ร้อยละของไฮดรอกซีอะพาไทต์ในบริเวณ 3 บริเวณที่แตกต่างกันของแผ่นฟิล์มวัสดุเชิงประกอบไฮดรอกซีอะพาไทต์ที่เตรียมได้ของแต่ละตัวอย่างจาก 5 ตัวอย่างซึ่งใช้เวลาในการแพร่ผ่านของไฮดรอกซีอะพาไทต์ที่แตกต่างกัน จะเห็นว่าในแต่ละตัวอย่างมีค่าร้อยละของไฮดรอกซีอะพาไทต์ใน 3 บริเวณของแผ่นฟิล์มที่ใกล้เคียงกันซึ่งดูได้จากค่าเบี่ยงเบน

มาตรฐาน แสดงให้เห็นว่าวัสดุเชิงประกอบโคซานและไฮดรอกซีอะพาไทต์ที่สังเคราะห์ได้ค่อนข้างมีการกระจายตัวอย่างสม่ำเสมอแทรกอยู่ในเนื้อของโคไตซาน

ตารางที่ 4.1 ปริมาณไฮดรอกซีอะพาไทต์ในบริเวณที่แตกต่างกัน ที่เวลา 1, 2, 3, 4 และ 5 วัน

เวลา (วัน)	ปริมาณไฮดรอกซีอะพาไทต์ (%)				ค่าเบี่ยงเบนมาตรฐาน
	ครั้งที่ 1	ครั้งที่ 2	ครั้งที่ 3	ค่าเฉลี่ย	
1	34	39	36	36.33	2.51
2	37	45	45	42.33	4.61
3	46	50	49	48.33	2.08
4	51	47	50	49.33	2.08
5	47	46	54	49	4.35



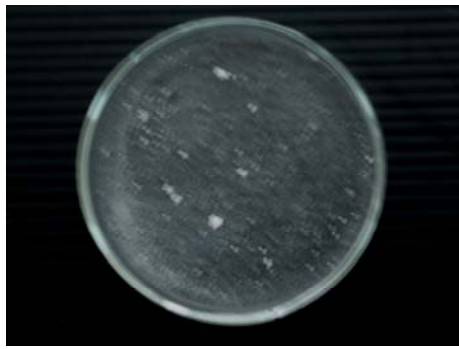
รูปที่ 4.3 ปริมาณไฮดรอกซีอะพาไทต์ที่กระจายตัวอยู่ในวัสดุเชิงประกอบโคไตซานและไฮดรอกซีอะพาไทต์จาก 3 บริเวณของชิ้นตัวอย่าง ซึ่งแต่ละชิ้นตัวอย่างได้จากการใช้เวลาในการแพร่ผ่านของไอออนที่ 1, 2, 3, 4 และ 5 วัน (ค่าเบี่ยงเบนมาตรฐานได้มาจากบริเวณที่แตกต่างกัน 3 บริเวณของแต่ละชิ้นตัวอย่าง)

4.2 การหาภาวะที่เหมาะสมในการเตรียมวัสดุเชิงประกอบโคโตซานและไฮดรอกซีอะพาไทต์ แบ่งออกเป็น 3 ส่วน

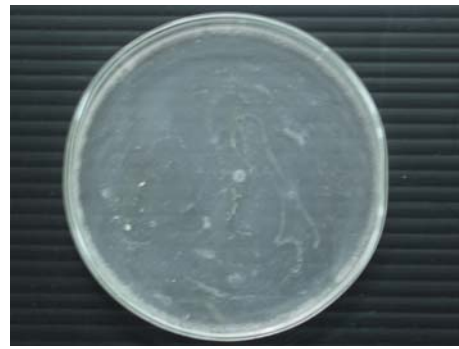
4.2.1 เวลาที่เหมาะสมในการเตรียมวัสดุเชิงประกอบโคโตซานและไฮดรอกซีอะพาไทต์ด้วยการอบการแพร่ผ่านแผ่นเยื่อ

โดยการควบคุมความเข้มข้นของสารละลายโคโตซานที่ความเข้มข้น 2 เปอร์เซ็นต์โดยน้ำหนักและความเข้มข้นของสารตั้งต้นที่ใช้ในการสังเคราะห์ไฮดรอกซีอะพาไทต์ คือ สารละลายแคลเซียมคลอไรด์เข้มข้น 0.40 M และสารละลายไดโซเดียมไฮโดรเจนฟอสเฟตเข้มข้น 0.24 M ให้คงที่ จากนั้นเปลี่ยนแปลงเวลาที่ทำให้เกิดการแพร่ของไอออนเป็น 1, 2, 3, 4 และ 5 วัน เพื่อหาเวลาที่ปฏิกิริยาเคมีเกิดสมดุล จากนั้นขึ้นรูปวัสดุเชิงประกอบที่เตรียมได้เป็นแผ่นฟิล์ม เพื่อวิเคราะห์หาอัตราส่วนของไฮดรอกซีอะพาไทต์ที่สังเคราะห์ได้ พบว่าเมื่อให้เวลาการแพร่ของแคลเซียมไอออนและฟอสเฟตไอออนมากขึ้น ลักษณะของสารละลายจะขุ่นมากขึ้น ดังรูปที่ 4.4

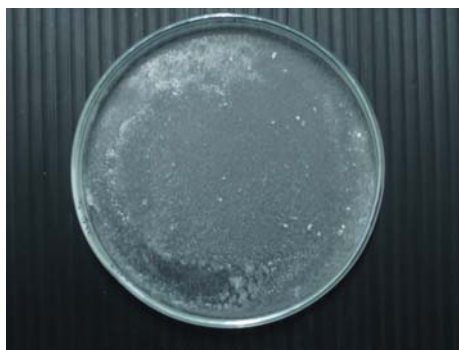
เมื่อนำฟิล์มที่ขึ้นรูปมาทดสอบหาอัตราส่วนของไฮดรอกซีอะพาไทต์ที่สังเคราะห์ได้ โดยใช้เทคนิคเทอร์โมกราวิเมตริกแอนนาลิซิส (TGA) ผลที่ได้แสดงดังรูปที่ 4.5 และตารางที่ 4.2 ซึ่งแสดงร้อยละของไฮดรอกซีอะพาไทต์ในวัสดุเชิงประกอบโคโตซานและไฮดรอกซีอะพาไทต์ ที่เวลา 1, 2, 3, 4 และ 5 วัน พบว่าเมื่อเพิ่มเวลาในการแพร่ของแคลเซียมไอออนและฟอสเฟตไอออนที่ใช้ในการสังเคราะห์ไฮดรอกซีอะพาไทต์ให้มากขึ้น ปริมาณไฮดรอกซีอะพาไทต์ที่สังเคราะห์ได้ก็จะมากขึ้นด้วย จนเมื่อถึงที่เวลา 4 วัน ปริมาณไฮดรอกซีอะพาไทต์ที่สังเคราะห์ได้มีค่าสูงที่สุด และเมื่อเพิ่มเวลาในการแพร่ให้มากขึ้นไปอีกปริมาณไฮดรอกซีอะพาไทต์ที่สังเคราะห์ได้ก็ไม่ได้มากขึ้นแต่อย่างใด ดังแสดงในรูปที่ 4.4 และเมื่อพิจารณาที่ 3 และ 4 วัน จะเห็นได้ว่าปริมาณไฮดรอกซีอะพาไทต์ที่สังเคราะห์ได้ไม่มีความแตกต่างกันอย่างมีนัยสำคัญ ดังนั้นเวลาที่เหมาะสมในการเตรียมวัสดุเชิงประกอบไฮดรอกซีอะพาไทต์คือ 3 วัน



(a)



(b)



(c)



(d)

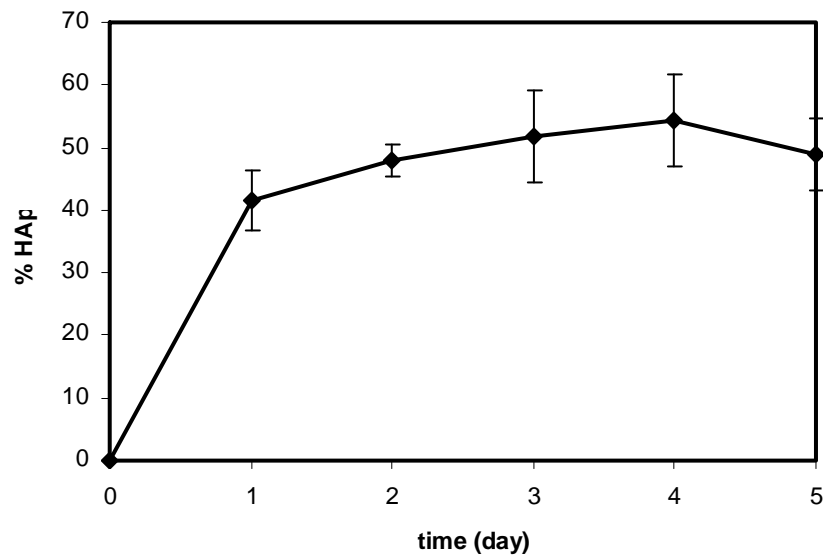


(e)

รูปที่ 4.4 วัสดุเชิงประกอบโคโคซานและไฮดรอกซีอะพาไทต์ที่เวลา 1, 2, 3, 4 และ 5 วัน

ตารางที่ 4.2 ปริมาณไฮดรอกซีอะพาไทต์ที่เวลา 1, 2, 3, 4 และ 5 วัน

เวลา (ชั่วโมง)	ปริมาณไฮดรอกซีอะพาไทต์ (%)				ค่าเบี่ยงเบนมาตรฐาน
	ครั้งที่ 1	ครั้งที่ 2	ครั้งที่ 3	ค่าเฉลี่ย	
24	44.5	44	36	41.50	4.77
48	48.5	50	45	47.83	2.57
72	46	60	49	51.67	7.37
96	50	63	50	54.33	7.51
120	42.5	50	54	48.83	5.84



รูปที่ 4.5 ปริมาณไฮดรอกซีอะพาไทต์ในวัสดุเชิงประกอบโคโคซานและไฮดรอกซีอะพาไทต์ที่เวลาต่างๆ (ค่าเบี่ยงเบนมาตรฐานได้จากการทำการทดลอง 3 ครั้ง)

4.2.2 อิทธิพลของความเข้มข้นของสารละลายโคโตซานต่ออัตราส่วนระหว่างโคโตซานและไฮดรอกซีอะพาไทต์ของวัสดุเชิงประกอบ

โดยเตรียมสารละลายโคโตซานที่ความเข้มข้นต่างๆ คือ 1, 1.5, 1.75 และ 2 เปอร์เซ็นต์ โดยน้ำหนัก แล้วควบคุมความเข้มข้นของสารละลายแคลเซียมคลอไรด์เข้มข้น 0.40 M และสารละลายโคโซเดียมไฮโดรเจนฟอสเฟตเข้มข้น 0.24 M ให้คงที่ และควบคุมเวลาที่ทำให้เกิดการแพร่ของแคลเซียมไอออนและฟอสเฟตไอออนเป็นเวลา 3 วัน ตามผลที่ได้จากข้อ 4.2.1 พบว่า เมื่อเพิ่มความเข้มข้นของสารละลายโคโตซานมากขึ้น ความหนืดของสารละลายจะมากขึ้น ในขณะที่ความสามารถในการละลายจะลดลง ต้องใช้เวลาในการละลายให้เป็นเนื้อเดียวกันนานขึ้น สารละลายโคโตซานที่ได้ยังคงเป็นสารละลายใสทุกความเข้มข้น แต่พบว่าสารละลาย โคโตซานความเข้มข้น 2 เปอร์เซ็นต์ โดยน้ำหนัก ยังมีส่วนของโคโตซานที่ไม่ละลายหลงเหลืออยู่

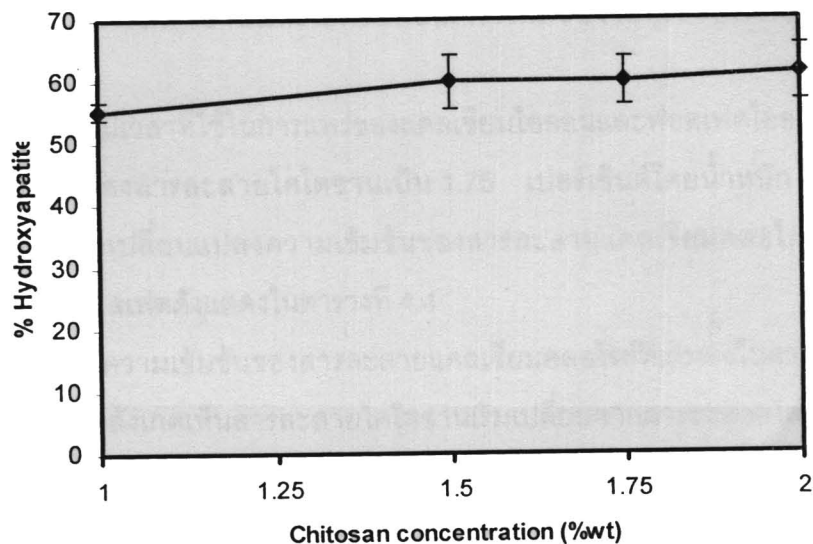
รูปที่ 4.6 และตารางที่ 4.3 แสดงร้อยละของไฮดรอกซีอะพาไทต์ในวัสดุเชิงประกอบโคโตซานและไฮดรอกซีอะพาไทต์ โดยใช้เทคนิคเทอร์โมกราวิเมตริกแอนาไลซิส (TGA) วิเคราะห์สัดส่วนของวัสดุเชิงประกอบที่มีความเข้มข้นของสารละลายโคโตซาน 1, 1.5, 1.75 และ 2 เปอร์เซ็นต์ โดยน้ำหนัก เวลาในการแพร่ของแคลเซียมไอออนและฟอสเฟตไอออนเป็น 3 วัน และความเข้มข้นของแคลเซียมคลอไรด์และโคโซเดียมไฮโดรเจนฟอสเฟตเป็น 0.4 M และ 0.24 M ตามลำดับ จาก 3 ชุดการทดลอง พบว่าแต่ละชุดการทดลองให้ผลที่มีแนวโน้มเดียวกันคือ เมื่อเพิ่มความเข้มข้นของสารละลายโคโตซานจาก 1 เปอร์เซ็นต์โดยน้ำหนัก เป็น 1.5 เปอร์เซ็นต์โดยน้ำหนัก สัดส่วนของไฮดรอกซีอะพาไทต์ที่สังเคราะห์ได้จะเพิ่มขึ้นเล็กน้อย แต่เมื่อเพิ่มความเข้มข้นของสารละลายโคโตซานให้สูงขึ้นเป็น 1.75 และ 2 เปอร์เซ็นต์โดยน้ำหนัก พบว่าอัตราส่วนของไฮดรอกซีอะพาไทต์ที่สังเคราะห์ได้ไม่มีความแตกต่างกัน แสดงให้เห็นว่าปริมาณไฮดรอกซีอะพาไทต์ที่สังเคราะห์ได้จะขึ้นอยู่กับความเข้มข้นของสารละลายโคโตซาน ดังนั้นเมื่อเพิ่มความเข้มข้นของสารละลายโคโตซานให้สูงขึ้น โคโตซานก็จะมีความสามารถในการห่อหุ้ม (encapsulate) แคลเซียมไอออนไว้ภายในเพื่อรอกเกิดปฏิกิริยากับฟอสเฟตไอออนได้เป็นไฮดรอกซีอะพาไทต์ได้มากขึ้น ดังรูปที่ 4.7 แต่ที่ความเข้มข้นของสารละลายโคโตซาน 1.5, 1.75 และ 2 เปอร์เซ็นต์โดยน้ำหนัก ปริมาณโคโตซานที่ใช้แตกต่างกันเพียงเล็กน้อย ดังนั้นอัตราส่วนระหว่างโคโตซานและไฮดรอกซีอะพาไทต์ที่สังเคราะห์ได้จึงมีค่าใกล้เคียงกัน

เมื่อพิจารณาถึงผลของความหนืดของสารละลายโคโตซานและความสามารถในการละลายของโคโตซานก็จะพบว่า สารละลายโคโตซานความเข้มข้น 1.5 เปอร์เซ็นต์โดยน้ำหนัก มีความหนืดที่ต่ำกว่าสารละลายโคโตซานความเข้มข้น 1.75 เปอร์เซ็นต์โดยน้ำหนักค่อนข้างมาก ดังนั้นเมื่อเตรียมเป็นวัสดุเชิงประกอบแล้วจะขึ้นรูปเป็นฟิล์มได้ยากกว่า ในขณะที่สารละลายโคโตซานความเข้มข้น 2 เปอร์เซ็นต์โดยน้ำหนัก จะละลายค่อนข้างยาก ดังนั้นจึงมีส่วนที่ยังละลายไม่หมดหลงเหลือ

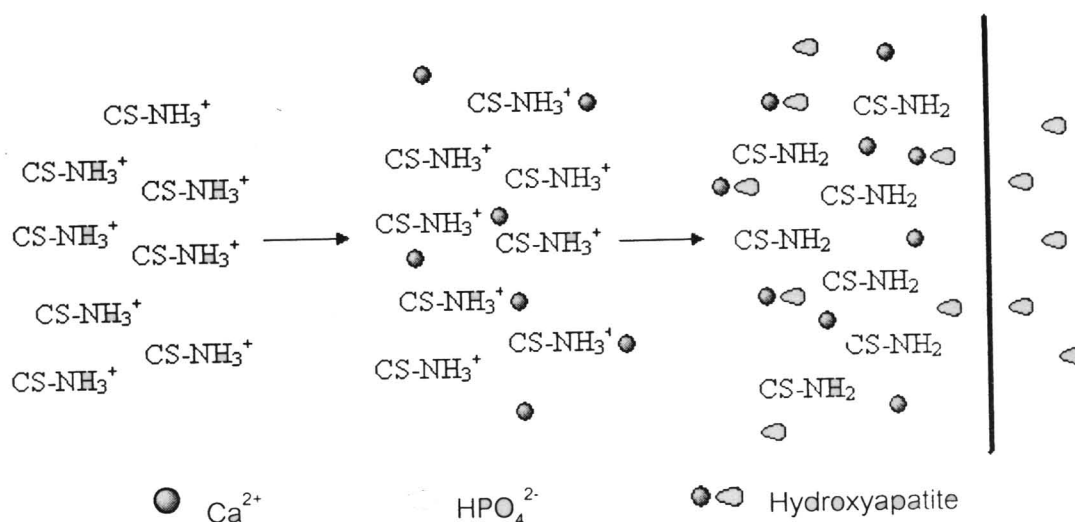
ด้วยทำให้ไม่เหมาะสมต่อการเตรียมวัสดุเชิงประกอบไคโตซานและไฮดรอกซีอะพาไทต์ ดังนั้นสารละลายไคโตซานความเข้มข้น 1.75 เปอร์เซ็นต์โดยน้ำหนัก จึงเหมาะสมต่อการเตรียมวัสดุเชิงประกอบไคโตซานและไฮดรอกซีอะพาไทต์ต่อไป เพราะมีความหนืดที่เหมาะสมต่อการขึ้นรูปเป็นฟิล์ม และมีความสามารถการละลายที่ดีไม่มีส่วนที่ไม่ละลายหลงเหลืออยู่

ตารางที่ 4.3 ปริมาณไฮดรอกซีอะพาไทต์ที่ความเข้มข้นของไคโตซาน 1, 1.5, 1.75 และ 2 เปอร์เซ็นต์โดยน้ำหนัก เวลา 3 วัน

ความเข้มข้นของไคโตซาน (% โดยน้ำหนัก)	ปริมาณไฮดรอกซีอะพาไทต์ (%)				ค่าเบี่ยงเบนมาตรฐาน
	ครั้งที่ 1	ครั้งที่ 2	ครั้งที่ 3	ค่าเฉลี่ย	
1	57	54	55	55.33	1.53
1.5	62.5	55	62.5	60.00	4.33
1.75	64.5	57	59	60.17	3.88
2	62	56.5	65.5	61.33	4.54



รูปที่ 4.6 ปริมาณไฮดรอกซีอะพาไทต์ในวัสดุเชิงประกอบไคโตซานและไฮดรอกซีอะพาไทต์ที่ความเข้มข้นของไคโตซาน 1, 1.5, 1.75 และ 2 เปอร์เซ็นต์โดยน้ำหนัก ใช้เวลาในการให้ออกอนแพร์ผ่านแผ่นเยื่อเป็นเวลา 3 วัน (ค่าเบี่ยงเบนมาตรฐานได้จากการทำการทดลอง 3 ครั้ง)



รูปที่ 4.7 กลไกการเกิดวัสดุเชิงประกอบโคโตซานและไฮดรอกซีอะพาไทต์ด้วยกระบวนการแพร่ผ่านเยื่อ

4.2.3 อิทธิพลของความเข้มข้นของสารตั้งต้นที่ใช้ในการสังเคราะห์ไฮดรอกซีอะพาไทต์ต่ออัตราส่วนระหว่างโคโตซานและไฮดรอกซีอะพาไทต์ของวัสดุเชิงประกอบ

โดยควบคุมเวลาที่ใช้ในการแพร่ของแคลเซียมไอออนและฟอสเฟตไอออนเป็น 3 วัน และควบคุมความเข้มข้นของสารละลายโคโตซานเป็น 1.75 เปอร์เซ็นต์โดยน้ำหนัก ตามที่ได้จากการทดลองข้อข้างต้น แล้วเปลี่ยนแปลงความเข้มข้นของสารละลายแคลเซียมคลอไรด์และสารละลายโคโตซานไฮโดรเจนฟอสเฟตดังแสดงในตารางที่ 4.4

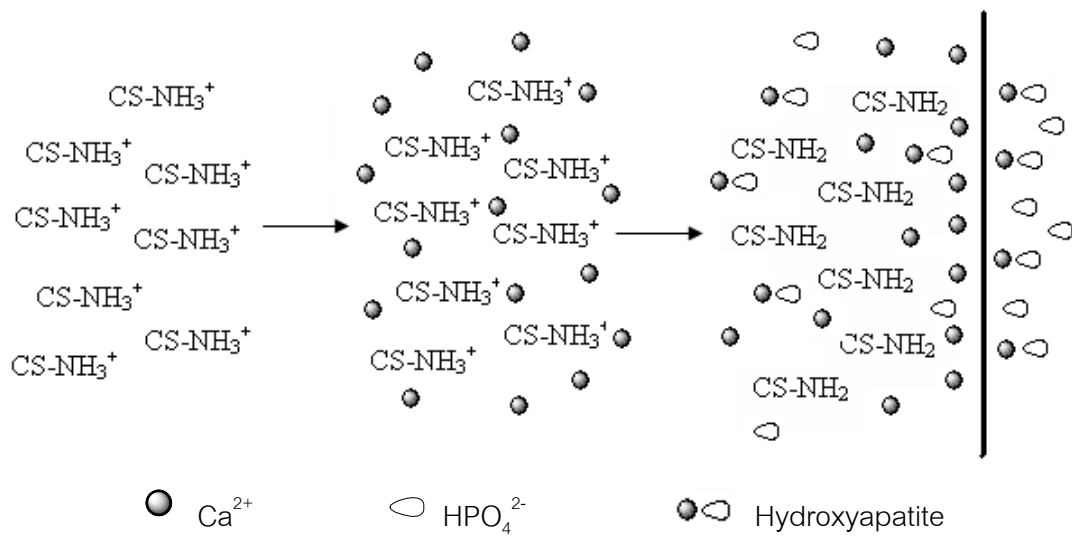
พบว่าเมื่อความเข้มข้นของสารละลายแคลเซียมคลอไรด์ที่เติมลงในสารละลายโคโตซานมากขึ้นเป็น 0.6 M จะสังเกตเห็นสารละลายโคโตซานเริ่มเปลี่ยนจากสารละลายใสเป็นสีขาวขุ่น และสารละลายโคโตซานเริ่มจับตัวเป็นก้อน และเมื่อยังเพิ่มความเข้มข้นของสารละลายแคลเซียมคลอไรด์ให้มากขึ้นไปอีก ก็ยิ่งทำให้สารละลายโคโตซานจับตัวกันเป็นก้อนมากขึ้น ทั้งนี้เนื่องจากแคลเซียมคลอไรด์ทำให้สารละลายโคโตซานตกตะกอนมากกว่าที่จะถูกโคโตซานห่อหุ้มแคลเซียมไอออนไว้

ตารางที่ 4.4 อัตราส่วนระหว่างความเข้มข้นของ CaCl_2 และ Na_2HPO_4 ที่ใช้ในการสังเคราะห์ ไฮดรอกซีอะพาไทต์ในแต่ละสูตร

สูตร	CaCl_2 (M)	Na_2HPO_4 (M)
HA1	0.20	0.12
HA2	0.40	0.24
HA3	0.60	0.36
HA4	0.80	0.48
HA5	1.00	0.60
HA6	2.00	1.20

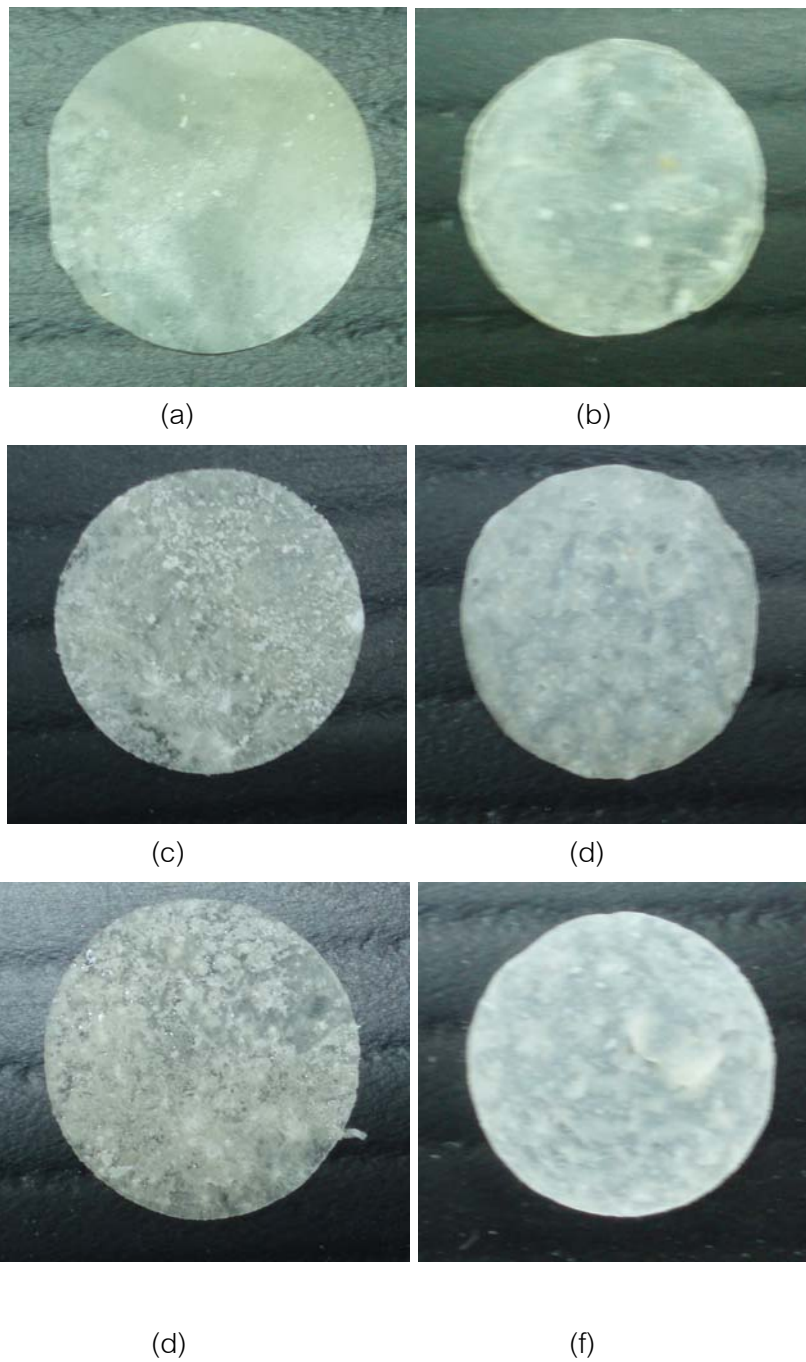
เมื่อนำสารละลายโคโคซานและแคลเซียมคลอไรด์แช่ลงในสารละลายโคโคไซด์ียมไฮโดรเจนฟอสเฟต พบว่าความเข้มข้นแคลเซียมคลอไรด์และโคโคไซด์ียมไฮโดรเจนฟอสเฟตที่สูงขึ้นตั้งแต่สูตร HA4 ปฏิกริยาเกิดเร็วขึ้น โดยเฉพาะสูตร HA6 ปฏิกริยาเกิดอย่างรวดเร็วมาก ซึ่งสังเกตได้จากสารละลายเปลี่ยนเป็นสีขาวขุ่นเร็วมากขึ้นตั้งแต่เริ่มทำปฏิกริยา ทั้งนี้เนื่องจาก เมื่อความเข้มข้นของสารละลายมากขึ้นอัตราเร็วในการแพร่ผ่านของไอออนมากขึ้น ทำให้ปฏิกริยาเกิดขึ้นอย่างรวดเร็ว

การกระจายตัวของแคลเซียมคลอไรด์ในสารละลายโคโคซานนั้น โคโคซานจะห่อหุ้มแคลเซียมไอออนไว้ภายในเพื่อรอเกิดปฏิกริยากับฟอสเฟตไอออนที่แพร่ผ่านแผ่นเยื่อเข้ามา แต่เมื่อเพิ่มความเข้มข้นของแคลเซียมคลอไรด์ในสารละลายโคโคซาน แคลเซียมไอออนบางส่วนจะถูกห่อหุ้มแทรกอยู่ภายในโมเลกุลของโคโคซาน ส่วนแคลเซียมไอออนที่มากเกินไปเกินความสามารถในการห่อหุ้มไอออน จะทำหน้าที่ในการตกตะกอน (precipitation) โคโคซาน กล่าวคือ แคลเซียมไอออนจะห่อหุ้มล้อมโมเลกุลของโคโคซานไว้ ทำให้โคโคซานเกิดการรวมตัวกันเป็นก้อน (aggregate) สามารถสังเกตเห็นสารละลายเปลี่ยนเป็นสีขาวขุ่น ดังนั้นเมื่อฟอสเฟตไอออนแพร่ผ่านแผ่นเยื่อเข้ามาเกิดปฏิกริยากับแคลเซียมไอออนได้เป็นไฮดรอกซีอะพาไทต์นั้น จะมีแคลเซียมไอออนที่มากเกินไปเกินความสามารถในการห่อหุ้มของโคโคซานหรือกระจายตัวอยู่บริเวณรอบนอกโมเลกุลโคโคซานสามารถที่จะแพร่ผ่านแผ่นเยื่อออกไปสู่สารละลายโคโคไซด์ียมไฮโดรเจนฟอสเฟตและเกิดปฏิกริยาเคมีเป็นไฮดรอกซีอะพาไทต์อยู่ในสารละลายโคโคไซด์ียมไฮโดรเจนฟอสเฟต ดังแสดงในรูปที่ 4.8



รูปที่ 4.8 กลไกการเกิดวัสดุเชิงประกอบไคโตซานและไฮดรอกซีอะพาไทต์ด้วยกระบวนการแพร่ผ่านแผ่นเยื่อ เมื่อความเข้มข้นของแคลเซียมคลอไรด์และไดโซเดียมไฮโดรเจนฟอสเฟตสูง

จากนั้นเมื่อขึ้นรูปเป็นฟิล์ม พบว่ามีการกระจายตัวของอนุภาคไฮดรอกซีอะพาไทต์ค่อนข้างดี และที่ความเข้มข้นต่ำๆ (สูตร HA1) ฟิล์มจะมีอนุภาคไฮดรอกซีอะพาไทต์ขนาดเล็กกระจายตัวอย่างสม่ำเสมอ แต่เมื่อความเข้มข้นสูงขึ้นจะสังเกตเห็นอนุภาคไฮดรอกซีอะพาไทต์ที่มีขนาดใหญ่ขึ้นอย่างชัดเจน แต่ยังคงมีการกระจายตัวที่สม่ำเสมอ ดังรูปที่ 4.9 แสดงลักษณะของฟิล์มที่ใช้ความเข้มข้นของแคลเซียมคลอไรด์และไดโซเดียมไฮโดรเจนฟอสเฟตที่แตกต่างกัน (สูตร HA1-HA6)

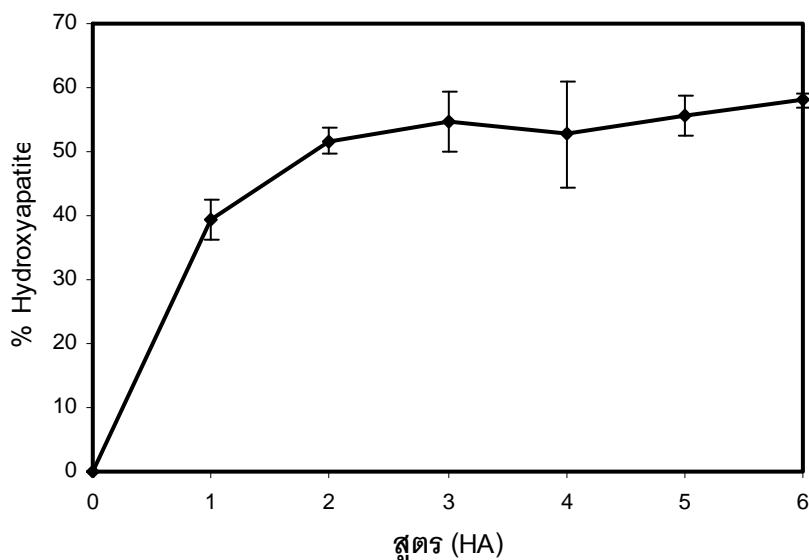


รูปที่ 4.9 วัสดุเชิงประกอบโคโตซานและไฮดรอกซีอะพาไทต์ที่ขึ้นรูปเป็นฟิล์ม ความเข้มข้นโคโตซาน 1.75 เปอร์เซ็นต์โดยน้ำหนัก เวลาในการแพร่ผ่านของไอออน 3 วัน สูตร (a) HA1, (b) HA2, (c) HA3, (d) HA4, (e) HA5, (f) HA6

จากรูปที่ 4.10 และตารางที่ 4.5 แสดงอัตราส่วนของไฮดรอกซีอะพาไทต์ในวัสดุเชิงประกอบ ไคโตซานและไฮดรอกซีอะพาไทต์ที่มีความเข้มข้นของไคโตซาน 1.75 เปอร์เซ็นต์โดยน้ำหนัก และมีอัตราส่วนความเข้มข้นของแคลเซียมคลอไรด์และไดไฮเดียมไฮโดรเจนฟอสเฟตดังตารางที่ 4.4 เวลาที่เกิดการแพร่ของไอออนเป็น 3 วัน พบว่าปริมาณไฮดรอกซีอะพาไทต์เพิ่มขึ้นเล็กน้อยเมื่อเพิ่มความเข้มข้นของสารละลายแคลเซียมคลอไรด์และไดไฮเดียมไฮโดรเจนฟอสเฟต แต่เมื่อความเข้มข้นของแคลเซียมคลอไรด์และไดไฮเดียมไฮโดรเจนฟอสเฟตยิ่งสูงมากขึ้นก็ไม่ได้ทำให้เกิดไฮดรอกซีอะพาไทต์มากขึ้นไปกว่าเดิม ทั้งนี้เนื่องมาจากความสามารถในการห่อหุ้มแคลเซียมไอออนไว้ภายในเพื่อรอเกิดปฏิกิริยากับฟอสเฟตไอออนได้เป็นไฮดรอกซีอะพาไทต์ของไคโตซานมีจำกัด

ตารางที่ 4.5 ปริมาณไฮดรอกซีอะพาไทต์ที่ความเข้มข้นของไคโตซาน 1.75 เปอร์เซ็นต์โดยน้ำหนักใช้ เวลาในการแพร่ผ่านของไอออน 3 วัน

สูตร	ปริมาณไฮดรอกซีอะพาไทต์ (%)				ค่าเบี่ยงเบนมาตรฐาน
	ครั้งที่ 1	ครั้งที่ 2	ครั้งที่ 3	ค่าเฉลี่ย	
HA1	36	40	42	39.33	3.06
HA2	50	54	51	51.67	2.08
HA3	60	53	51	54.67	4.73
HA4	46	62	50	52.67	8.33
HA5	55	59	53	55.67	3.06
HA6	36	40	42	39.33	3.06

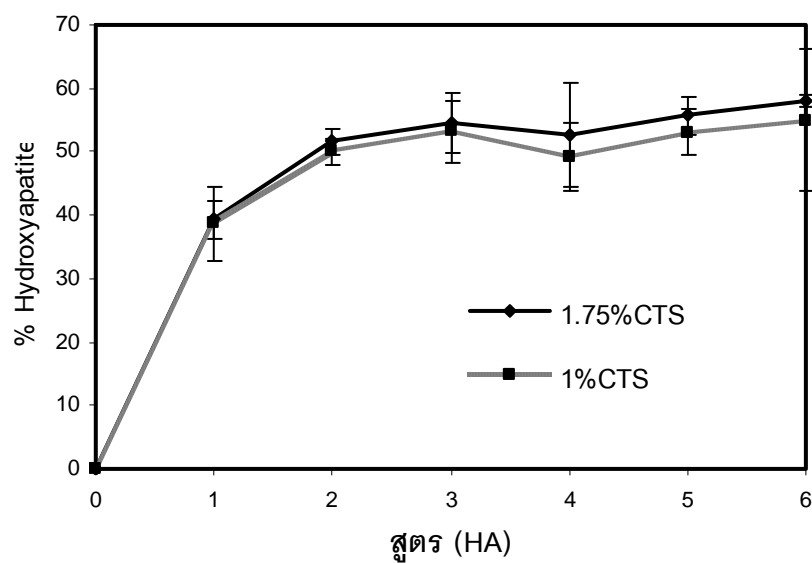


รูปที่ 4.10 ปริมาณไฮดรอกซีอะพาไทต์ในวัสดุเชิงประกอบโคโคซานและไฮดรอกซีอะพาไทต์ที่ความเข้มข้นของโคโคซาน 1.75 เปอร์เซ็นต์โดยน้ำหนัก ใช้เวลาในการแพร่ผ่านของไอออน 3 วัน (ค่าเบี่ยงเบนมาตรฐานได้จากการทำการทดลอง 3 ครั้ง)

ต่อมาเปรียบเทียบวัสดุเชิงประกอบโคโคซานและไฮดรอกซีอะพาไทต์ที่มีความเข้มข้นของโคโคซานที่ 1 และ 1.75 เปอร์เซ็นต์โดยน้ำหนัก พบว่าที่ความเข้มข้นโคโคซาน 1 เปอร์เซ็นต์โดยน้ำหนัก มีแนวโน้มของร้อยละไฮดรอกซีอะพาไทต์เป็นไปในทิศทางเดียวกันกับที่ความเข้มข้นโคโคซาน 1.75 เปอร์เซ็นต์โดยน้ำหนัก แต่ปริมาณไฮดรอกซีอะพาไทต์น้อยกว่าเล็กน้อย ดังรูปที่ 4.11 และตารางที่ 4.6 ที่แสดงให้เห็นว่าโคโคซาน 1 เปอร์เซ็นต์โดยน้ำหนัก มีไฮดรอกซีอะพาไทต์น้อยกว่าเล็กน้อย อันเนื่องมาจากความสามารถในการห่อหุ้มแคลเซียมไอออนน้อยกว่า ซึ่งสอดคล้องกับกลไกการเกิดวัสดุเชิงประกอบดังรูปที่ 4.7 ที่ได้กล่าวมาแล้ว

ตารางที่ 4.6 ปริมาณไฮดรอกซีอะพาไทต์ที่ความเข้มข้นของโคโตซาน 1 และ 1.75 เปอร์เซ็นต์โดยน้ำหนัก ใช้เวลาในการแพร่ผ่านของไอออน 72 ชั่วโมง

สูตร	สัดส่วนไฮดรอกซีอะพาไทต์ (%)	
	CTS 1% wt.	CTS 1.75% wt.
HA1	38.67	39.33
HA2	50.00	51.67
HA3	53.17	54.67
HA4	49.17	52.67
HA5	53.00	55.67
HA6	55.00	58.00



รูปที่ 4.11 ปริมาณไฮดรอกซีอะพาไทต์ในวัสดุเชิงประกอบโคโตซานและไฮดรอกซีอะพาไทต์ที่ความเข้มข้นของโคโตซาน 1 และ 1.75 เปอร์เซ็นต์โดยน้ำหนัก ใช้เวลาในการแพร่ผ่านของไอออน 72 ชั่วโมง (ค่าเบี่ยงเบนมาตรฐานได้จากการทำการทดลอง 3 ครั้ง)

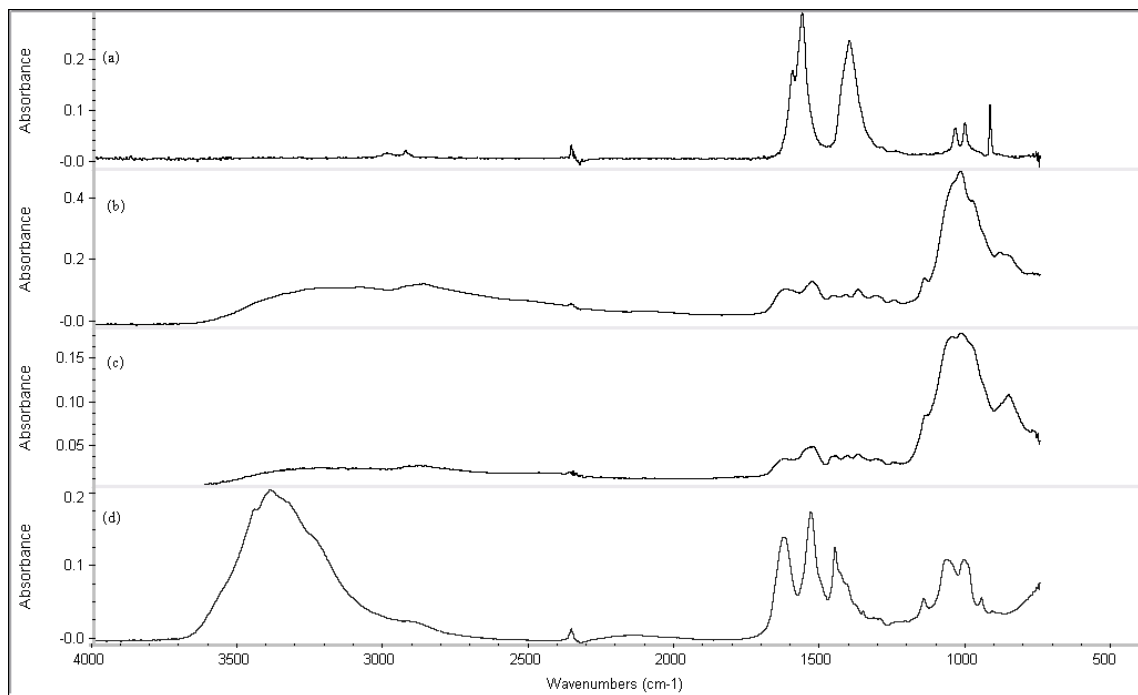
4.3 การวิเคราะห์ส่วนประกอบทางเคมีด้วยเทคนิคแอมทเทนนูเอทเททโททอลรีเฟรกันซ์ฟูเรียร์ทรานสฟอร์มอินฟราเรด (Attenuated Total Reflection Fourier transform Infrared, ATR-FTIR)

ผลการวิเคราะห์ส่วนประกอบทางเคมีที่ผิวหน้าของวัสดุเชิงประกอบโคโคซานและไฮดรอกซีอะพาไทต์ เปรียบเทียบกับโคโคซานด้วยเครื่องแอมทเทนนูเอทเททโททอลรีเฟรกันซ์ฟูเรียร์ทรานสฟอร์มอินฟราเรดสเปกโตรสโคปี แสดงดังรูปที่ 4.12 โดยรูปที่ 4.12 (a) ปรากฏพีกช่วง $3300-3500\text{ cm}^{-1}$ เล็กน้อยแสดงให้เห็นถึงการสั่นของหมู่ไฮดรอกซิล (OH^- group) ของโคโคซาน หรือแสดงให้เห็นการดูดซึมน้ำหรือความชื้นของตัวอย่างที่ค่อนข้างต่ำ ช่วงพีกที่ $2996-2882\text{ cm}^{-1}$ แสดง C-H stretching ของวงไพราโนสของโคโคซาน สเปกตรัมที่ระบุลักษณะเฉพาะของโคโคซานแสดงดังตารางที่ 4.7

จากรูปที่ 4.12 (b-d) คือ วัสดุเชิงประกอบโคโคซานและไฮดรอกซีอะพาไทต์สูตร HA1, HA3 และ HA5 ซึ่งสเปกตรัมแต่ละสูตรปรากฏพีกที่คล้ายคลึงกัน แต่อาจจะมีขนาดของพีกแตกต่างกัน ที่ช่วงตำแหน่ง $3200-3500\text{ cm}^{-1}$ ซึ่งเป็นตำแหน่งที่พบสารประกอบที่มีหมู่ฟังก์ชันแบบไฮดรอกซิล ทั้งนี้เป็นผลมาจากการดูดความชื้นของตัวอย่างวัสดุเชิงประกอบเอง โดยทั้ง 3 สูตร จะปรากฏพีกที่ประมาณ 1120 cm^{-1} แสดงให้เห็นถึง P-O stretching ของอะพาไทต์ ดังนั้นจึงสรุปได้ว่าเกิดไฮดรอกซีอะพาไทต์ขึ้นแทรกอยู่ภายในเนื้อโคโคซาน

ตารางที่ 4.7 พีก FTIR ของโคโคซาน

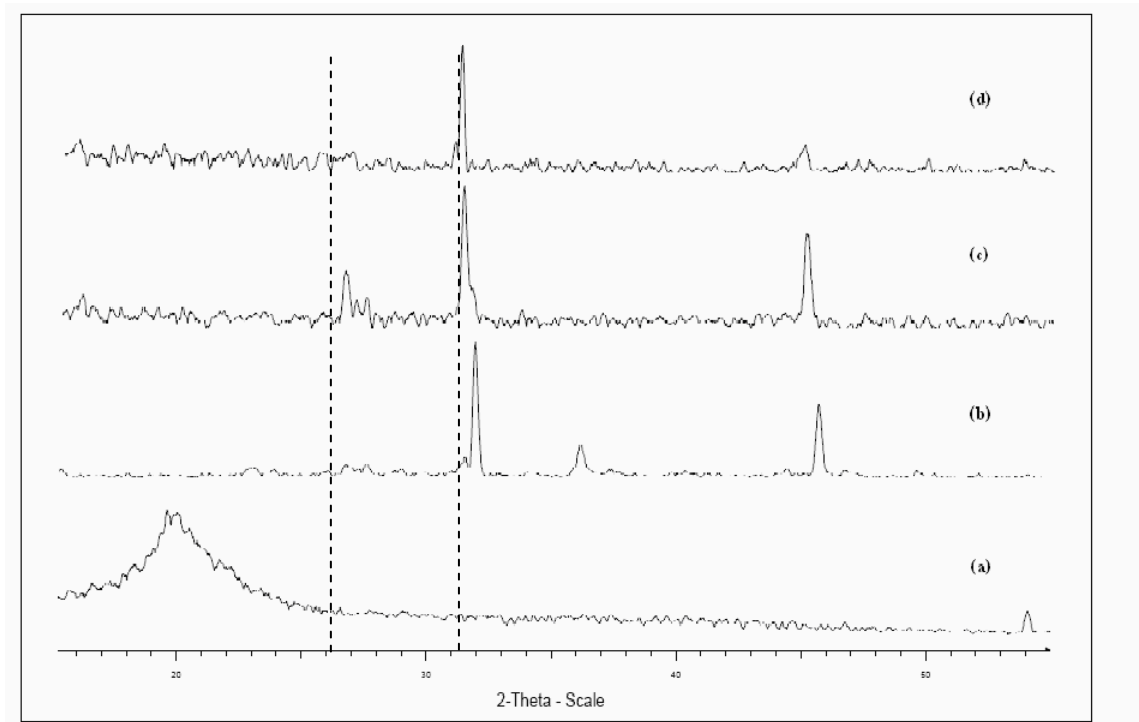
Peak value (cm^{-1})	Assignment
2996-2882	-CH stretching
1600	Amide I
1400	-NH ₂ amino
1070-1000	C-O Stretching (pyranose)



รูปที่ 4.12 FTIR ของ (a) ไคโตซาน (b) HA1 (c) HA3 และ (d) HA5

4.4 การวิเคราะห์ความเป็นผลึกของไฮดรอกซีอะพาไทต์ด้วยเทคนิคเอกซเรย์ดิฟแฟรกชัน (X-ray diffraction, XRD)

พีก XRD ดิฟแฟรกโตแกรมของไคโตซานและวัสดุเชิงประกอบไคโตซานและไฮดรอกซีอะพาไทต์ ที่มีความเข้มข้นของสารตั้งต้นในการสังเคราะห์ไฮดรอกซีอะพาไทต์แตกต่างกัน สูตร HA1 HA3 และ HA5 โดยไคโตซานแสดง board peak ที่บริเวณ $2\theta = 20^\circ$ ดังรูปที่ 4.13 (a) ในขณะที่วัสดุเชิงประกอบไคโตซานและไฮดรอกซีอะพาไทต์ทั้ง 3 สูตรแสดง strong reflection เป็น board peak ที่ตำแหน่งประมาณ 26° และ 32° (2θ) เหมือนกัน ดังรูปที่ 4.13 (b-d) ซึ่งเป็นพีกแสดงลักษณะเฉพาะของไฮดรอกซีอะพาไทต์ ประกอบกับผลการวิเคราะห์จาก ATR-FTIR ซึ่งแสดงพีกลักษณะเฉพาะของ P-O stretching ของอะพาไทต์ ที่ประมาณ 1120 cm^{-1} ซึ่งชี้ให้เห็นว่าไฮดรอกซีอะพาไทต์สามารถสังเคราะห์ขึ้นภายในไคโตซานเมทริกซ์ได้ด้วยกระบวนการแพร่ผ่านแผ่นเยื่อ และมีกระจายตัวอย่างสม่ำเสมอ

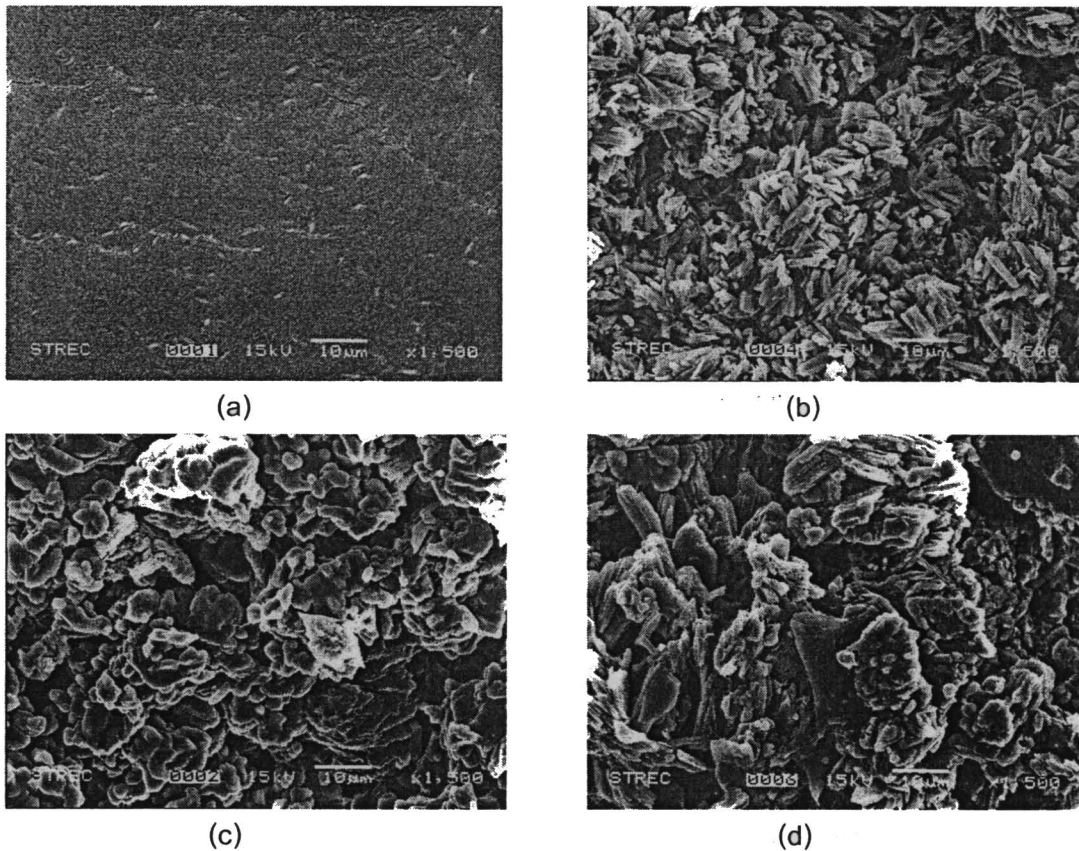


รูปที่ 4.13 เอกซ์เรย์ดิฟแฟรกโทแกรมของ (a) ไฮดรอกซีอะพาไทต์ (b) HA1 (c) HA3 และ (d) HA5

4.5 การวิเคราะห์ลักษณะสัณฐานวิทยาของวัสดุเชิงประกอบด้วยกล้องจุลทรรศน์อิเล็กตรอนแบบส่องกราด (Scanning Electron Microscope, SEM)

รูปที่ 4.14 แสดงลักษณะสัณฐานวิทยาของไฮดรอกซีอะพาไทต์ (a) และวัสดุเชิงประกอบไฮดรอกซีอะพาไทต์และไฮดรอกซีอะพาไทต์ที่มีความเข้มข้นของไฮดรอกซีอะพาไทต์เป็น 1.75 เปอร์เซ็นต์โดยน้ำหนัก แต่มีความเข้มข้นของ CaCl_2 และ Na_2HPO_4 แตกต่างกัน โดยรูปที่ 4.14 (b) HA1 (c) HA3 (d) HA5 โดยลักษณะสัณฐานวิทยาของไฮดรอกซีอะพาไทต์จะค่อนข้างเรียบ แต่เมื่อสังเคราะห์ไฮดรอกซีอะพาไทต์ลงไปแล้วพบว่าลักษณะพื้นผิวจะขรุขระมากขึ้น โดยมีลักษณะเป็นกลุ่มก้อนเนื่องมาจากผลึกของไฮดรอกซีอะพาไทต์ที่รวมตัวกัน นอกจากนี้วัสดุเชิงประกอบไฮดรอกซีอะพาไทต์และไฮดรอกซีอะพาไทต์สูตร HA1 จะพบว่าผลึกมีขนาดค่อนข้างเล็กเมื่อเทียบกับวัสดุเชิงประกอบไฮดรอกซีอะพาไทต์อีก 2 สูตร (HA3 และ HA 5) ซึ่งมีผลึกที่มีขนาดใหญ่กว่าเล็กน้อยและมีการเรียงตัวของผลึกเป็นกลุ่มก้อน แสดงให้เห็นว่าเมื่อความเข้มข้นของสารละลายแคลเซียมคลอไรด์และไดโซเดียมไฮโดรเจนฟอสเฟตต่างๆ จะทำให้อัตราเร็วในการแพร่ผ่านของไอออนเป็นไปอย่างช้าๆ ดังนั้นขนาดของผลึกไฮดรอกซีอะพาไทต์ที่สังเคราะห์ได้จึงค่อนข้างเล็ก ในขณะที่เมื่อเพิ่มความเข้มข้นของสารละลายแคลเซียมคลอไรด์และไดโซเดียมไฮโดรเจนฟอสเฟตให้สูงขึ้น อัตราเร็วในการแพร่ผ่านของไอออนก็จะมากขึ้นและเกิดปฏิกิริยาการ

สังเคราะห์ไฮดรอกซีอะพาไทต์อย่างรวดเร็วทำให้อนุภาคไฮดรอกซีอะพาไทต์ที่สังเคราะห์ได้มีเวลาไม่เพียงพอในการจัดเรียงผลึก ทำให้อนุภาคของไฮดรอกซีอะพาไทต์ที่สังเคราะห์ได้มีขนาดค่อนข้างใหญ่กว่า และรวมตัวเป็นกลุ่มก้อนมากกว่า



รูปที่ 4.14 ลักษณะสัณฐานวิทยาของวัสดุเชิงประกอบจากกล้องจุลทรรศน์อิเล็กตรอนแบบส่องกราด:

(a) ไคโตซาน (b) HA1 (c) HA3 และ (d) HA5

4.6 การวิเคราะห์อัตราส่วนของแคลเซียมต่อฟอสเฟตของวัสดุเชิงประกอบด้วยกล้องจุลทรรศน์อิเล็กตรอนแบบส่องกราด (Scanning Electron Microscope, SEM) พร้อมเครื่องวิเคราะห์ธาตุในโครงสร้างจุลภาคชนิดแจกแจงพลังงานรังสีเอกซ์ (Energy X-ray Dispersive Spectroscopy, EDS)

จากการวิเคราะห์องค์ประกอบของธาตุ เพื่อหาอัตราส่วนของแคลเซียมต่อฟอสฟอรัสของวัสดุเชิงประกอบที่เตรียมด้วยกระบวนการแพร่ผ่านแผ่นเยื่อ พบว่าอัตราส่วนของแคลเซียมและฟอสฟอรัสที่ได้มีค่าสูงกว่าอัตราส่วนของแคลเซียมต่อฟอสฟอรัสอุดมคติ (Ideal) ของไฮดรอกซี อะพาไทต์อยู่มาก

ซึ่งค่าอัตราส่วนของแคลเซียมต่อฟอสฟอรัสอุดมคติของไฮดรอกซีอะพาไทต์มีค่าประมาณ 1.67 ดังแสดงในตารางที่ 4.8 ทั้งนี้เนื่องจากกระบวนการเตรียมวัสดุเชิงประกอบ มีการผสมสารละลายแคลเซียมคลอไรด์ลงในสารละลายโคโคซาน ดังนั้นแคลเซียมไอออนที่ถูกห่อหุ้มอยู่ในโมเลกุลของโคโคซานบางส่วน เกิดปฏิกิริยาได้เป็นไฮดรอกซีอะพาไทต์แต่ยังมีบางส่วนหลงเหลืออยู่ ทำให้เมื่อวิเคราะห์อัตราส่วนระหว่างแคลเซียมและฟอสฟอรัสแล้วมีแคลเซียมในปริมาณที่มาก

ตารางที่ 4.8 อัตราส่วนของแคลเซียมต่อฟอสฟอรัส

สูตร	Ca/P	Ideal Ca/P
HA1	8.84	1.67
HA3	7.77	
HA5	5.47	

เมื่อเพิ่มความเข้มข้นของแคลเซียมไอออนและฟอสเฟตไอออนให้สูงขึ้น ปริมาณแคลเซียมไอออนที่ถูกห่อหุ้มอยู่ในโมเลกุลโคโคซานยังคงถูกจำกัดด้วยความเข้มข้นของโคโคซานที่เท่ากัน แต่จะมีแคลเซียมไอออนที่ห่อหุ้มโมเลกุลของโคโคซานมากขึ้น ประกอบกับความเข้มข้นของสารละลายโคโคซานไฮดรอกซีอะพาไทต์ที่เพิ่มขึ้น ทำให้ฟอสเฟตไอออนสามารถแพร่เข้ามาทำปฏิกิริยากับแคลเซียมไอออนทั้งที่ถูกห่อหุ้มด้วยโมเลกุลโคโคซาน และแคลเซียมไอออนที่ห่อหุ้มโมเลกุลโคโคซานไว้เพิ่มมากขึ้นด้วย ส่งผลให้อัตราส่วนของแคลเซียมต่อฟอสฟอรัสมีค่าลดลง

แต่อย่างไรก็ตามอัตราส่วนของแคลเซียมต่อฟอสฟอรัสที่ได้จากการทดลองมีค่ามากกว่าไฮดรอกซีอะพาไทต์อุดมคติมาก ซึ่งแสดงให้เห็นว่ามีแคลเซียมไอออนที่ไม่เกิดปฏิกิริยาการสังเคราะห์ไฮดรอกซีอะพาไทต์หลงเหลือและถูกห่อหุ้มอยู่ในโมเลกุลของโคโคซาน ดังตารางที่ 4.9

ตารางที่ 4.9 แคลเซียมที่หลงเหลือในวัสดุเชิงประกอบโคโคซานและไฮดรอกซีอะพาไทต์

สูตร	% Atomic				Ca _{remain} ^c
	Ca ^a	Ca ^b	P ^a	Ideal Ca/P	
HA1	1.92	0.37	0.22		1.55
HA3	6.29	1.35	0.81	1.67	4.94
HA5	8.63	2.64	1.58		5.99

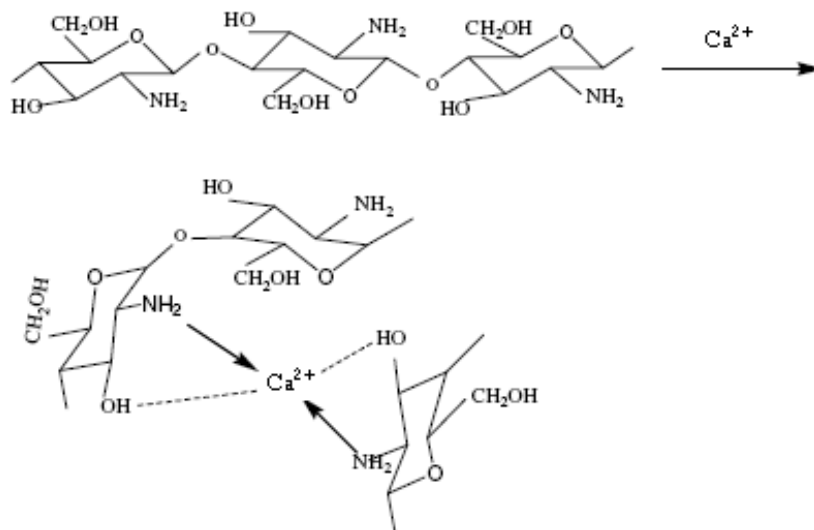
a ได้จาก % Atomic ที่วิเคราะห์จาก EDS

b ได้จากการคำนวณปริมาณ Ca ที่เกิดเป็นไฮดรอกซีอะพาไทต์ เมื่อมีปริมาณ P จากการทดลอง (a)

c ปริมาณ Ca ions ที่เหลือจากการเกิดปฏิกิริยาการสังเคราะห์ไฮดรอกซีอะพาไทต์ ซึ่งคำนวณจาก ปริมาณ Ca จากการทดลอง หักจากปริมาณ Ca ที่เกิดเป็นไฮดรอกซีอะพาไทต์

จากตารางที่ 4.9 เมื่อความเข้มข้นของแคลเซียมไอออนและฟอสเฟตไอออนเพิ่มขึ้นจากสูตร HA1, HA3 และ HA5 ตามลำดับ ปริมาณธาตุแคลเซียมและฟอสฟอรัสที่วิเคราะห์ได้จาก EDS เพิ่มขึ้นแบบแปรผันตรงกับความเข้มข้นของสารละลายแคลเซียมคลอไรด์และสารละลาย ไดโซเดียมไฮโดรเจนฟอสเฟตตามลำดับ ปริมาณไฮดรอกซีอะพาไทต์ที่สังเคราะห์ได้ควรจะเพิ่มขึ้นแบบแปรผันตรงเมื่อเพิ่มความเข้มข้นของสารละลายที่ใช้ในการสังเคราะห์มากขึ้นเช่นกัน แต่เนื่องจากความสามารถในการห่อหุ้มแคลเซียมไอออนถูกจำกัดให้คงที่ที่ความเข้มข้นของโคโคซานคงที่ จึงทำให้สังเคราะห์ไฮดรอกซีอะพาไทต์ได้ปริมาณที่ไม่แตกต่างกันอย่างมีนัยสำคัญถึงแม้ว่าจะเพิ่มความเข้มข้นของสารละลายแคลเซียมและสารละลายไดโซเดียมไฮโดรเจนฟอสเฟตก็ตามดังกล่าวข้างต้นในรูปที่ 4.10 อีกทั้งแคลเซียมไอออนที่ไม่ได้ถูกห่อหุ้มด้วยโมเลกุลของโคโคซาน กล่าวอีกนัยหนึ่งคือ แคลเซียมไอออนอิสระที่ห่อหุ้มโมเลกุลของโคโคซานก็สามารถแพร่ผ่านแผ่นเยื่อออกไปทำปฏิกิริยากับสารละลายฟอสเฟตเกิดเป็นไฮดรอกซีอะพาไทต์ในสารละลายฟอสเฟตได้เช่นกัน แต่เนื่องจากแคลเซียมไอออนที่ถูกห่อหุ้มด้วยโมเลกุลของโคโคซานที่ไม่สามารถทำปฏิกิริยากับฟอสเฟตไอออนที่แพร่ผ่านแผ่นเยื่อเข้ามา จะยังคงหลงเหลือเป็นแคลเซียมไอออนที่ยังคงถูกห่อหุ้มภายในโมเลกุลของโคโคซานและยากที่จะกำจัดออกด้วยการล้างน้ำกลั่น ดังนั้นเมื่อสังเคราะห์ไฮดรอกซีอะพาไทต์ด้วยกระบวนการแพร่ผ่านแผ่นเยื่อโดยการใช้ความเข้มข้นสารละลายแคลเซียมคลอไรด์สูงๆ จะทำให้ปริมาณแคลเซียมไอออนที่หลงเหลือและถูกห่อหุ้มด้วยโมเลกุลของโคโคซานมีปริมาณมากขึ้นตามลำดับ ดังแสดงตารางที่ 4.9

ทั้งนี้การมีแคลเซียมไอออนหลงเหลืออยู่ในโมเลกุลของโคโตซานนั้น แคลเซียมไอออนสามารถที่จะเกิดคีเลชันกับหมู่ไฮดรอกซิลของโคโตซานได้ ดังรูปที่ 4.15 ทำให้วัสดุเชิงประกอบโคโตซานและไฮดรอกซีอะพาไทต์สามารถที่จะเกิดเจลได้



รูปที่ 4.15 การเกิดคีเลชันระหว่างโคโตซานและแคลเซียมไอออน

ตาราง 4.10 อัตราการบวมตัวของโคโตซานและวัสดุเชิงประกอบโคโตซานและไฮดรอกซีอะพาไทต์ สูตร HA1, HA3 และ HA5

สูตร	อัตราการบวมตัว (%)			ค่าเฉลี่ย
	ครั้งที่ 1	ครั้งที่ 2	ครั้งที่ 3	
CTS	1350.00	2088.17	1889.812	1775.99
HA1	1269.70	1200.70	2626.09	1698.83
HA3	357.56	264.73	254.42	292.24
HA5	N/A	N/A	N/A	N/A

N/A คือ ไม่สามารถหาค่าได้

จากตารางที่ 4.10 จะเห็นว่าวัสดุเชิงประกอบโคโตซานและไฮดรอกซีอะพาไทต์สูตร HA1 และ HA3 มีปริมาณแคลเซียมไอออนที่ไม่เกิดปฏิกิริยาหลงเหลืออยู่ปริมาณ 1.55 และ 4.94 ตามลำดับ จึงทำให้วัสดุเชิงประกอบสามารถก่อเกิดเจลได้โดยมีอัตราการบวมตัวเป็น 1698.83 และ 292.24

เปอร์เซ็นต์ตามลำดับ ซึ่งจะเห็นได้ว่าวัสดุเชิงประกอบโคโตซานและไฮดรอกซีอะพาไทต์สูตร HA1 มีปริมาณแคลเซียมไอออนที่หลงเหลืออยู่น้อยกว่า จุดที่จะเกิดคีเลชันกับหมู่ไฮดรอกซิลของโคโตซานก็จะน้อย ทำให้อัตราการบวมตัวที่ได้มีค่ามากกว่าสูตร HA3 ซึ่งมีปริมาณแคลเซียมไอออนที่หลงเหลืออยู่มากกว่า

แต่เมื่อมีปริมาณแคลเซียมไอออนที่หลงเหลืออยู่มากเกินไปในสูตร HA5 กลับทำให้โคโตซานเกิดการตกตะกอน (aggregate) มากกว่าที่จะก่อเกิดเป็นเจล ดังนั้นเมื่อนำฟิล์มมาใส่ในน้ำจึงทำให้ฟิล์มค่อยๆสลายตัวจนหมดภายใน 1 วัน ดังนั้นจึงไม่สามารถหาอัตราการบวมตัวได้

บทที่ 5

สรุปผลการทดลองและข้อเสนอแนะ

จากผลการทดลองสามารถสรุปได้ดังนี้

1) จากผลการตรวจสอบความเป็นเนื้อเดียวกันของวัสดุเชิงประกอบโคโตะซานและไฮดรอกซีอะพาไทต์ด้วยเทคนิค TGA พบว่าในบริเวณที่ต่างกัน 3 บริเวณของแต่ละแผ่นฟิล์มมีปริมาณไฮดรอกซีอะพาไทต์ใกล้เคียงกัน แสดงว่าวัสดุเชิงประกอบมีการกระจายตัวของไฮดรอกซีอะพาไทต์แทรกภายในเนื้อของโคโตะซานอย่างสม่ำเสมอ

2) การศึกษาเวลาที่เหมาะสมในการเตรียมวัสดุเชิงประกอบโคโตะซานและไฮดรอกซีอะพาไทต์ด้วยเทคนิค TGA พบว่าเมื่อเปลี่ยนแปลงเวลาที่เกิดการแพร่ผ่านของแคลเซียมไฮดรอกไซด์ไปจนถึงเวลา 72 ชั่วโมงปริมาณไฮดรอกซีอะพาไทต์ที่สังเคราะห์มีค่ามากที่สุดหลังจากนั้นค่าที่ได้ไม่แตกต่างกันมากนัก ดังนั้นเวลา 72 ชั่วโมงจึงเหมาะสมที่สุด

3) การศึกษาอิทธิพลของความเข้มข้นของสารละลายโคโตะซานต่ออัตราส่วนระหว่างโคโตะซานและไฮดรอกซีอะพาไทต์ของวัสดุเชิงประกอบ พบว่าเมื่อความเข้มข้นของโคโตะซานสูงขึ้นปริมาณไฮดรอกซีอะพาไทต์ในวัสดุเชิงประกอบจะเพิ่มขึ้นเล็กน้อย แต่เมื่อพิจารณาถึงผลของความหนืดและความสามารถในการละลาย โคโตะซาน 1.75 เปอร์เซ็นต์โดยน้ำหนักจึงมีความเหมาะสมที่สุด เนื่องจากสารละลายโคโตะซานความเข้มข้น 1.5 เปอร์เซ็นต์โดยน้ำหนัก มีความหนืดที่ต่ำกว่าสารละลายโคโตะซานความเข้มข้น 1.75 เปอร์เซ็นต์โดยน้ำหนักค่อนข้างมาก ดังนั้นเมื่อเตรียมเป็นวัสดุเชิงประกอบแล้วจะขึ้นรูปเป็นฟิล์มได้ยากกว่า ในขณะที่สารละลายโคโตะซานความเข้มข้น 2 เปอร์เซ็นต์โดยน้ำหนักจะละลายค่อนข้างยาก ดังนั้นจึงมีส่วนที่ยังละลายไม่หมดหลงเหลือด้วยทำให้ไม่เหมาะสมต่อการเตรียมวัสดุเชิงประกอบโคโตะซานและไฮดรอกซีอะพาไทต์

4) การศึกษาอิทธิพลของความเข้มข้นของสารตั้งต้นที่ใช้ในการสังเคราะห์ไฮดรอกซีอะพาไทต์ต่ออัตราส่วนระหว่างโคโตะซานและไฮดรอกซีอะพาไทต์ของวัสดุเชิงประกอบ พบว่าเมื่อความเข้มข้นของแคลเซียมคลอไรด์ต่อไดโซเดียมไฮโดรเจนฟอสเฟตมากขึ้น จะมีอัตราส่วนของไฮดรอกซีอะพาไทต์มากขึ้นเล็กน้อย

5) การศึกษาสัณฐานวิทยาของวัสดุเชิงประกอบ พบว่าไฮดรอกซีอะพาไทต์มีลักษณะเป็นผลึกรูปเข็มอยู่รวมเป็นกลุ่มก้อน (cluster of needle-shaped) เมื่อความเข้มข้นของสารละลายแคลเซียมคลอไรด์และสารละลายไดโซเดียมไฮโดรเจนฟอสเฟตมากขึ้น ผลึกจะรวมกันเป็นกลุ่มก้อนใหญ่ขึ้น ขนาดอนุภาคของไฮดรอกซีอะพาไทต์จะใหญ่ขึ้น แต่ผลึกมีขนาดประมาณ 7-10 ไมโครเมตร ดังนั้นสารละลายแคลเซียมคลอไรด์และสารละลายไดโซเดียมไฮโดรเจนฟอสเฟตสูตร HA1 ซึ่งเป็นสูตรที่ใช้ความเข้มข้นของสารละลายแคลเซียมคลอไรด์และสารละลายไดโซเดียมไฮโดรเจนฟอสเฟตเจือจางที่สุดเป็นสูตรที่เหมาะสมที่สุด เนื่องจากผลึกมีลักษณะเป็นรูปเข็มอยู่รวมเป็นกลุ่มก้อนคล้ายคลึงกับไฮดรอกซีอะพาไทต์ที่พบในกระดูกและฟันมากที่สุด

6) จากการวิเคราะห์วัสดุเชิงประกอบด้วย FTIR พบพีกที่ประมาณ 1120 cm^{-1} สอดคล้องกับ P-O stretching ของอะพาไทต์ และการวิเคราะห์ด้วย XRD พบพีกที่ตำแหน่งประมาณ 26° และ 32° (2θ) ซึ่งเป็นพีกของไฮดรอกซีอะพาไทต์ยืนยันได้ว่าวัสดุเชิงประกอบที่สังเคราะห์ได้เป็นวัสดุเชิงประกอบโคโคซานและไฮดรอกซีอะพาไทต์

7) จากการวิเคราะห์องค์ประกอบของธาตุพบว่าอัตราส่วนของแคลเซียมต่อฟอสฟอรัสที่ได้มีค่าสูงกว่าอุดมคติ (Ideal) อยู่มาก เนื่องจากวัสดุเชิงประกอบโคโคซานและไฮดรอกซีอะพาไทต์มีแคลเซียมไอออนหลงเหลืออยู่มาก ซึ่งเมื่อความเข้มข้นของแคลเซียมไอออนและฟอสเฟตไอออนเพิ่มขึ้น จะทำให้แคลเซียมไอออนที่เหลือจากปฏิกิริยาและถูกห้อมล้อมภายในโมเลกุลของโคโคซานมีค่าเพิ่มขึ้น ซึ่งแคลเซียมไอออนสามารถที่จะเกิดคีเลชันกับหมู่ไฮดรอกซิลของโคโคซานได้ ทำให้วัสดุเชิงประกอบโคโคซานและไฮดรอกซีอะพาไทต์สามารถที่จะเกิดเจลได้

ข้อเสนอแนะ

1) ศึกษาปัจจัยของอุณหภูมิ เพื่อเปรียบเทียบความเหมาะสมของอุณหภูมิที่ใช้ในการสังเคราะห์ไฮดรอกซีอะพาไทต์ งานวิจัยนี้สังเคราะห์ไฮดรอกซีอะพาไทต์เนื่องจากการแพร่ของแคลเซียมไอออนและฟอสเฟตไอออนแล้วเกิดปฏิกิริยาเคมีตกตะกอนออกมาเป็นไฮดรอกซีอะพาไทต์แทรกอยู่ในสารละลายโคโคซาน ดังนั้นอุณหภูมิจึงน่าจะมีผลต่อความเร็วในการเกิดปฏิกิริยาหรือความสามารถในการตกผลึกของไฮดรอกซีอะพาไทต์ ซึ่งอาจทำให้สัณฐานวิทยาและความเป็นผลึกเปลี่ยนแปลงไป ซึ่งความเป็นผลึกที่เปลี่ยนแปลงไปนี้ยังอาจส่งผลถึงความสามารถในการดูดซับทางชีวภาพ (bioresorbability) หรือ ความสามารถในการสลายตัวทางชีวภาพ (biodegradability) อีกด้วย

2) ศึกษาปัจจัยของการรบกวนปฏิกิริยาการตกผลึกไฮดรอกซีอะพาไทต์ด้วยการสั่นเปรียบเทียบกับที่ตั้งปฏิกริยานิ่ง เนื่องจากการสั่นสารละลายตลอดเวลาจะเพิ่มความสามารถในการแพร่ของไอออน แต่ลดความสามารถในการตกผลึกไฮดรอกซีอะพาไทต์ วัสดุเชิงประกอบที่ได้น่าจะมีปริมาณไฮดรอกซีอะพาไทต์มากขึ้น แต่ความเป็นผลึกของไฮดรอกซีอะพาไทต์ลดลง ซึ่งส่งผลถึงความสามารถในการดูดซับทางชีวภาพ (bioresorbability) หรือ ความสามารถในการสลายตัวทางชีวภาพ (biodegradability) อีกเช่นกัน

รายการอ้างอิง

- [1] Zhang, N.; Nichols, H.L.; Tylor, S.; and Wen, X. Fabrication of nanocrystalline hydroxyapatite doped degradable composite hollow fiber for guided and biomimetic bone tissue engineering. Materials Science and Engineering: C 27 (2007):599–606.
- [2] An, Y.B.; and Lee, W.H. Synthesis of porous titanium implants by environmental-electro-discharge-sintering process. Materials Chemistry and Physics 95 (2006):242–247.
- [3] Yuehuei, H.A.; and Kylie, L.M. Handbook of histology methods for bone and cartilage. Totowa, N.J.: Humana Press, 2003: 64-65.
- [4] วันเพ็ญ เตชะบุญเกียรติ. เอกสารประกอบการสอนวิชาพอลิเมอร์ที่ใช้ทางการแพทย์. กรุงเทพฯ: ภาควิชาวัสดุศาสตร์ คณะวิทยาศาสตร์ จุฬาลงกรณ์มหาวิทยาลัย, 2548.
- [5] “เรื่องน่ารู้ไคติน-ไคโตซาน”. [ออนไลน์]. เข้าถึงได้จาก: <http://www.poodang.net>.
- [6] “Preparation of chitin and chitosan”. [ออนไลน์]. เข้าถึงได้จาก: www.mse.uiuc.edu/biomaterials/research.
- [7] Li, J.; Chen, Y.; Yin, Y.; Yao, F.; and Yao, K. Modulation of nano-hydroxyapatite size via formation on chitosan–gelatin network film in situ. Biomaterials 28 (2007):781–790.
- [8] Chen, X.; Liu , C.; Liu , C.; Meng, X.; Lee, C.M.; and Park, H. Preparation and biocompatibility of chitosan microcarriers as biomaterial. Biochemical Engineering Journal 27 (2006):269–274.
- [9] Min, B.; Lee, S.W.; Lim, J.N.; You, Y.; Lee, T.S.; Kang, P.H.; and Park, W.H. Chitin and chitosan nanofibers: electrospinning of chitin and deacetylation of chitin nanofibers. Polymer 45 (2004):7137–7142.
- [10] Hong, H.; Wei, J.; and Liu, C. Development of asymmetric gradational-changed porous chitosan membrane for guided periodontal tissue regeneration. Composites: Part B 38 (2007):311–316.
- [11] Mi, F.L.; Shyu, S.S.; Wu, Y.B.; Lee, S.T.; Shyong, J.Y.; and Ro, H.R.N. Fabrication and characterization of a sponge-like asymmetric chitosan membrane as a wound dressing. Biomaterials 22 (2001):165–173.

- [12] Yusof, N.L.M.; Lim, L.Y.; and Khor, E. Preparation and characterization of chitin beads as a wound dressing precursor. Journal of Biomedical Materials Research 54 (2001):59–68.
- [13] “Chitosan dressing”. [ออนไลน์]. เข้าถึงได้จาก:
<http://www.shanghai5f.com/EN/class.asp?LarCode=Dressing&MidCode=Chitosan+dressing>.
- [14] Li, F.; Liu, W.G.; and Yao, K.D. Preparation of oxidized glucoselcrosslinked N-alkylated chitosan membrane and in vitro studies of pH-sensitive drug delivery behavior. Biomaterials 23 (2002):343–347.
- [15] “ประโยชน์ของสารไคโตซาน”. [ออนไลน์]. เข้าถึงได้จาก: <http://www.poodang.net>.
- [16] Wan, A.C.A.; Khor, E.; and Hastings, G.W. Hydroxyapatite modified chitin as potential hard tissue substitute material. Journal of Biomedical Materials Research 38 (1997):235–241.
- [17] Wang, X.; Ma, J.; Wang, Y.; and He, B. Structural characterization of phosphorylated chitosan and their applications as effective additives of calcium phosphate cements. Biomaterials 22 (2001): 2247-2255.
- [18] Sunny, M.C.; Ramesh, P.; and Varma, H.K. Microstructured microspheres of hydroxyapatite ceramic. Journal of Materials Science: Materials in Medicine. 13 (2002):623–632.
- [19] Chow, K.S.; Khor, E.; and Wan, A.C.A. Porous chitin matrices for tissue engineering: fabrication and in-vitro cytotoxic assessment. Journal of Polymer Research 8 (2001):27–35.
- [20] Zhang, Y.; and Zhang, M. Synthesis and characterization of macroporous chitosan/calcium phosphate composite scaffolds for tissue engineering. Journal of Biomedical Materials Research 55 (2001):304–312.
- [21] LeGeros, R.Z.; and LeGeros, J.P. Dense Hydroxyapatite. An introduction to bioceramics Singapore: World Scientific Publishing, (1993).
- [22] Ge, Z.; Baguenard, S.; Lim, L.Y.; Wee, A.; and Khor, E. Hydroxyapatite–chitin materials as potential tissue engineered bone substitutes. Biomaterials 25 (2004):1049–1058.

- [23] Cheng, G.J.; Pirzada , D.; Cai , M.; Mohanty , P.; and Bandyopadhyay, A. Bioceramic coating of hydroxyapatite on titanium substrate with Nd-YAG laser. Materials Science and Engineering: C 25 (2005):541 – 547.
- [24] Arinze, T.L.; Tran, T.; Mcalary, J.; and Daculsi, G. A comparative study of biphasic calcium phosphate ceramics for human mesenchymal stem-cell- induced bone formation. Biomaterials 26 (2005):3631-3638.
- [25] Aoki, H. Medical Application of Hydroxyapatite. Tokyo: Ishiyaky Euro America, (1994).
- [26] Hench, L.L.; and Wilson, J. (editor). An Introduction to Bioceramics. Singapore: World Scientific Publishing, (1993).
- [27] Rathje, W. Zur Kenntnis de Phosphate I. Uber Hydroxyapatite. In: Inorganic Synthesis Vol.7 USA: Mcgraw-Hill Book, (1963).
- [28] Hayek, E.; and Newesely, H. Pentacalcium Monohydroxyorthophosphate. In: Inorganic Synthesis Vol.7 USA: Magraw-Hill Book Company, (1963).
- [29] Monma, H.; and Kamiya, T. Preparation of hydroxyapatite by the hydrolysis of brushite. Journal of Materials Science 22 (1987): 4247-4250.
- [30] Ben-Nissan, B.; Milev, A.; and Vago, R. Morphology of sol-gel derived nano-coated coralline hydroxyapatite. Biomaterials 25 (2006): 4971-4975.
- [31] Coreño J.A.; Coreño O.A.; Cruz J.J.R.; and Rodríguez C.C. Mechanochemical synthesis of nanocrystalline carbonate-substituted hydroxyapatite. Optical Materials 27 (2005): 1281-1285.
- [32] Sun, Y.; Guo, G.; Tao, D.; and Wang, Z. Reverse microemulsion-directed synthesis of hydroxyapatite nanoparticles under hydrothermal conditions. Journal of Physics and Chemistry of Solids 68 (2007): 373–377.
- [33] Somiya, S.; Loku, K.; and Yoshimura, M. Hydroxyapatite Synthesis and Characterization of Fine Apatite Crystals. Ceramic Developments 34(1988): 371-378.
- [34] Nakajima, A.; Takakuwa, K.; Kameshima, Y.; Hagiwara, M.; Sato, S.; Yamamoto, Y.; Yoshida, N.; Watanabe, T.; and Okada, K. Preparation and properties of titania-apatite hybrid films. Journal of Photochemistry and Photobiology A: Chemistry 177 (2006): 94-99.
- [35] “ไฮดรอกซีอะพาไทต์ (hydroxyapatite) วัสดุทดแทนกระดูก”. [ออนไลน์]. เข้าถึงได้จาก: http://www.mtec.or.th/th/news/cool_stuff/cool.html.

- [36] “ความสำคัญของการศึกษาด้านวิศวกรรมเนื้อเยื่อกระดูก”. [ออนไลน์]. เข้าถึงได้จาก:
<http://www.md.chula.ac.th/th/HARP/pdf/07.pdf>.
- [37] “วัสดุเชิงประกอบ”. [ออนไลน์]. เข้าถึงได้จาก:
<http://www.bg.ic.ac.uk/Lecture/Hench/BioCamp/Chap3.html>.
- [38] Kokubo, T. Surface chemistry of bioactive glass-ceramics. Journal of Non-crystalline Solid 120 (1990): 138-151.
- [39] Tachaboonyakiat, W.; Serizawa, T.; and Akashi M. Hydroxyapatite formation on/in biodegradable chitosan hydrogels by an alternate soaking process. Polymer Journal 33 (2001): 177-181.
- [40] Manjubala, I.; Scheler, S.; Bössert, J.; and Jandt, K.D. Mineralisation of chitosan scaffolds with nano-apatite formation by double diffusion technique. Acta Biomaterialia 2 (2006): 75-84.
- [41] Ehrlich, H.; Krajewska, B.; Hanke, T.; and Born, R. Chitosan membrane as a template for hydroxyapatite crystal growth in a model dual membrane diffusion system. Journal of Membrane Science 273 (2006): 124-128.
- [42] Mathieu, L.M.; Bourban, P.E.; and Manson, J.A.E. Processing of homogeneous ceramic/polymer blends for bioresorbable composites. Composites Science and Technology 66 (2006): 1606–1614.
- [43] Kong, L.; Gao, Y.; Cao, W.; Gong, Y.; Zhao, N.; and Zhang, X. Preparation and characterization of nano-hydroxyapatite/chitosan composite scaffolds. Journal of Biomedical Materials Research Part A 75(2) (2005): 275-282.
- [44] Hu, Q.; Li, B.; Wang, M.; and Shen, J. Preparation and characterization of biodegradable chitosan/hydroxyapatite nanocomposite rods via in situ hybridization: a potential material as internal fixation of bone fracture. Biomaterials 25 (2004): 779-785.
- [45] Viala, S.; Freche, M.; and Lacout, J.L. Preparation of a new organic-mineral composite: chitosan-hydroxyapatite. Annales de Chimie Science des Matériaux 23(1-2) (1998): 69-72.

ภาคผนวก

ภาคผนวก ก

การเตรียมวัสดุเชิงประกอบโคโตนและไฮดรอกซีอะพาไทต์

ก.1 การตรวจสอบการกระจายตัวของไฮดรอกซีอะพาไทต์ภายในวัสดุเชิงประกอบ

ตาราง ก.1 ร้อยละของไฮดรอกซีอะพาไทต์ในบริเวณที่แตกต่างกัน ที่เวลา 24, 48, 72, 96 และ 120 ชั่วโมงจากเทคนิค TGA

เวลา (ชั่วโมง)	สัดส่วนไฮดรอกซีอะพาไทต์ (%)				ค่าเบี่ยงเบนมาตรฐาน
	ครั้งที่ 1	ครั้งที่ 2	ครั้งที่ 3	ค่าเฉลี่ย	
24	34	39	36	36.33	2.51
48	37	45	45	42.33	4.61
72	46	50	49	48.33	2.08
96	51	47	50	49.33	2.08
120	47	46	54	49	4.35

ก.2 การหาภาวะที่เหมาะสมในการเตรียมวัสดุเชิงประกอบโคโตนและไฮดรอกซีอะพาไทต์ จาก 3 ชุดการทดลอง

ตาราง ก .2 ร้อยละของไฮดรอกซีอะพาไทต์ที่เวลา 24, 48, 72, 96 และ 120 ชั่วโมงจากเทคนิค TGA

เวลา (ชั่วโมง)	สัดส่วนไฮดรอกซีอะพาไทต์ (%)				ค่าเบี่ยงเบนมาตรฐาน
	ครั้งที่ 1	ครั้งที่ 2	ครั้งที่ 3	ค่าเฉลี่ย	
24	44.5	44	36	41.50	4.77
48	48.5	50	45	47.83	2.57
72	46	60	49	51.67	7.37
96	50	63	50	54.33	7.51
120	42.5	50	54	48.83	5.84

ตาราง ก.3 ร้อยละของไฮดรอกซีอะพาไทต์ที่ความเข้มข้นของโคโคซาน 1, 1.5, 1.75 และ 2 เปอร์เซ็นต์โดยน้ำหนัก เวลา 72 ชั่วโมง

ความเข้มข้นของโคโคซาน (% โดยน้ำหนัก)	สัดส่วนไฮดรอกซีอะพาไทต์ (%)				ค่าเบี่ยงเบนมาตรฐาน
	ครั้งที่ 1	ครั้งที่ 2	ครั้งที่ 3	ค่าเฉลี่ย	
1	57	54	55	55.33	1.53
1.5	62.5	55	62.5	60.00	4.33
1.75	64.5	57	59	60.17	3.88
2	62	56.5	65.5	61.33	4.54

ตาราง ก.4 อัตราส่วนระหว่างความเข้มข้นของ CaCl_2 และ Na_2HPO_4 ที่ใช้ในการสังเคราะห์ไฮดรอกซีอะพาไทต์ในแต่ละสูตร

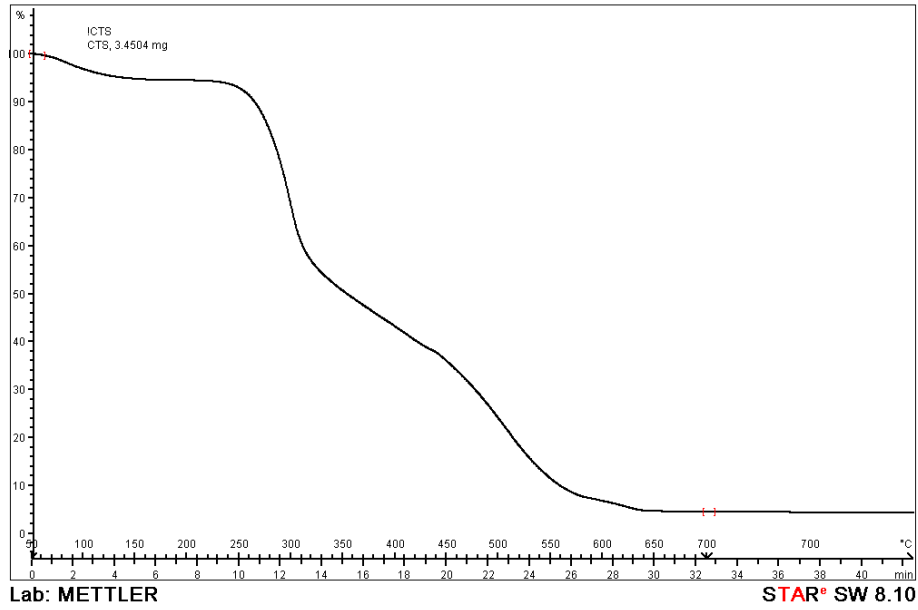
สูตร	CaCl_2 (M)	Na_2HPO_4 (M)
HA1	0.20	0.12
HA2	0.40	0.24
HA3	0.60	0.36
HA4	0.80	0.48
HA5	1.00	0.60
HA6	2.00	1.20

ตาราง ก.5 ร้อยละของไฮดรอกซีอะพาไทต์ที่ความเข้มข้นของโคโคซาน 1.75 เปอร์เซ็นต์โดยน้ำหนัก ใช้เวลาในการแพร่ผ่านของอิออน 72 ชั่วโมง

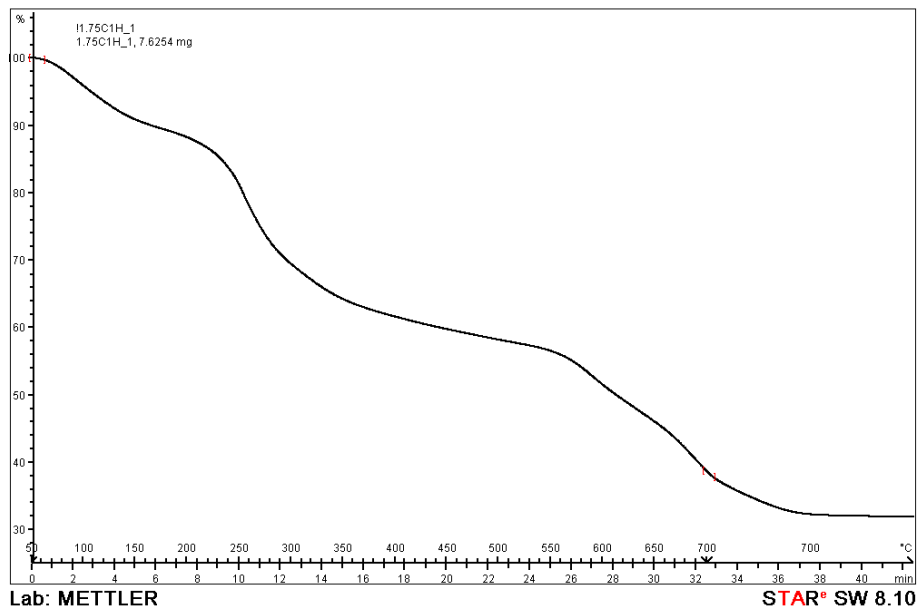
สูตร	สัดส่วนไฮดรอกซีอะพาไทต์ (%)				ค่าเบี่ยงเบนมาตรฐาน
	ครั้งที่ 1	ครั้งที่ 2	ครั้งที่ 3	ค่าเฉลี่ย	
HA1	36	40	42	39.33	3.06
HA2	50	54	51	51.67	2.08
HA3	60	53	51	54.67	4.73
HA4	46	62	50	52.67	8.33
HA5	55	59	53	55.67	3.06
HA6	57	58	59	58	1

ตาราง ก.6 ร้อยละของไฮดรอกซีอะพาไทต์ที่ความเข้มข้นของโคโคซาน 1 เปอร์เซ็นต์โดยน้ำหนัก ใช้เวลาในการแพร่ผ่านของอิออน 72 ชั่วโมง

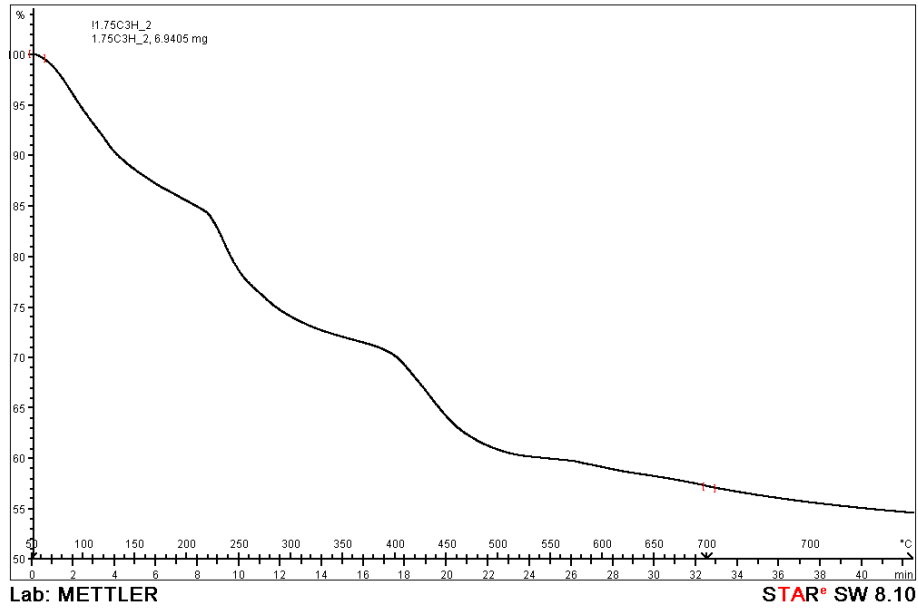
สูตร	สัดส่วนไฮดรอกซีอะพาไทต์ (%)				ค่าเบี่ยงเบนมาตรฐาน
	ครั้งที่ 1	ครั้งที่ 2	ครั้งที่ 3	ค่าเฉลี่ย	
HA1	41	43	32	38.67	5.86
HA2	52	48	50	50.00	2.00
HA3	48	58	53.5	53.17	5.01
HA4	53.5	43	51	49.17	5.48
HA5	57	50	52	53.00	3.61
HA6	65	43	57	55.00	11.14



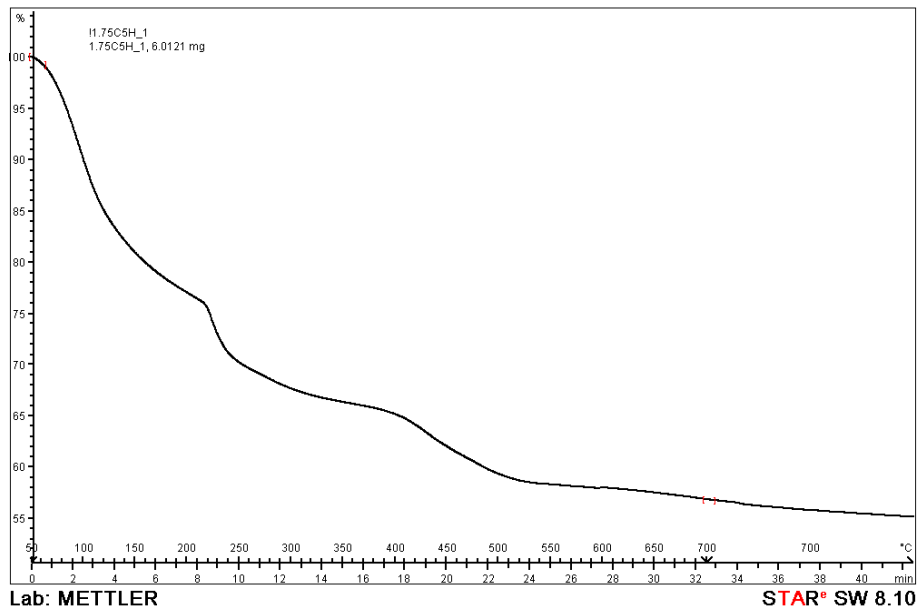
รูป ก.1 TGA เทอร์โมแกรมของโคโตซาน



รูป ก.2 TGA เทอร์โมแกรมของวัสดุเชิงประกอบโคโตซานและไฮดรอกซีอะพาไทต์
HA1



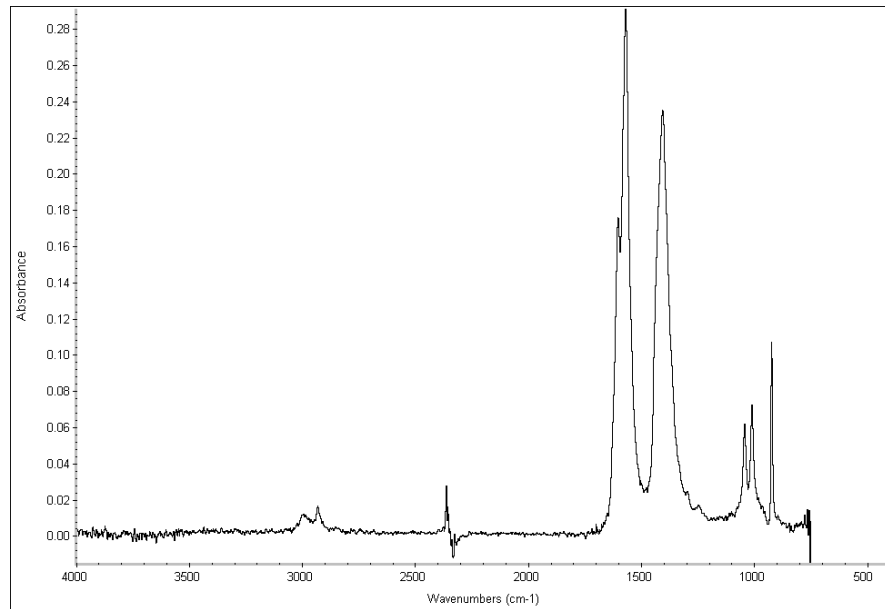
รูป ก.3 TGA เทอร์โมแกรมของวัสดุเชิงประกอบโคโตซานและไฮดรอกซีอะพาไทต์
สูตร HA3



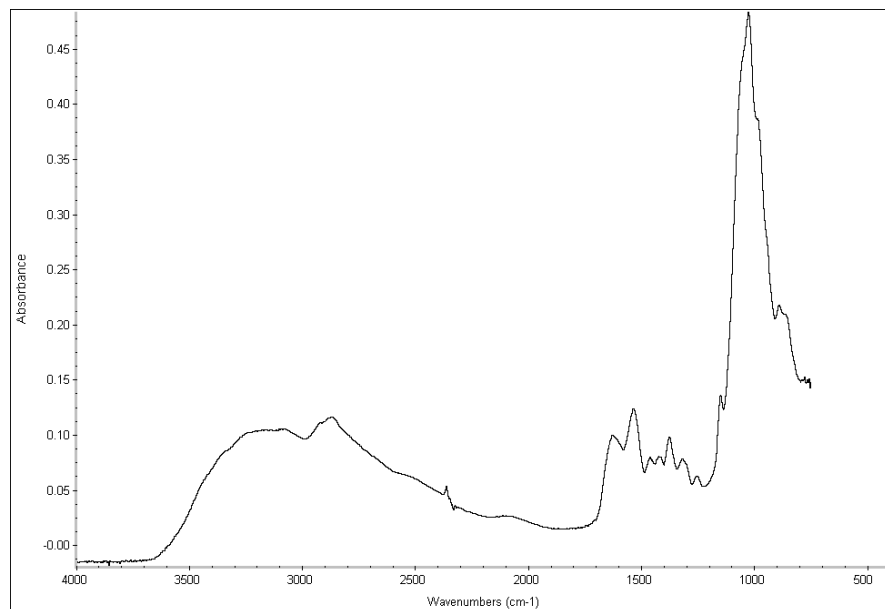
รูป ก.4 TGA เทอร์โมแกรมของวัสดุเชิงประกอบโคโตซานและไฮดรอกซีอะพาไทต์
สูตร HA5

ภาคผนวก ข

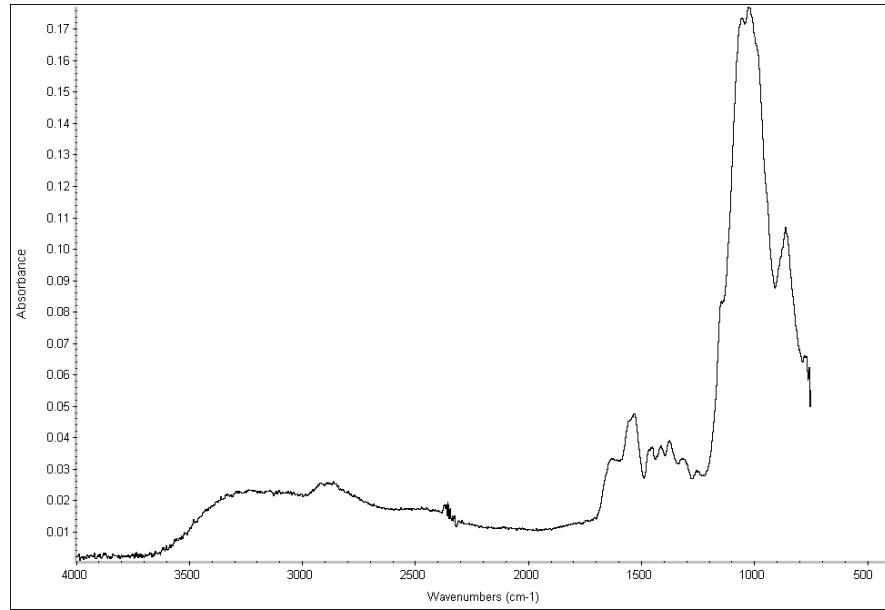
การวิเคราะห์ส่วนประกอบทางเคมีด้วยเทคนิค FT-IR



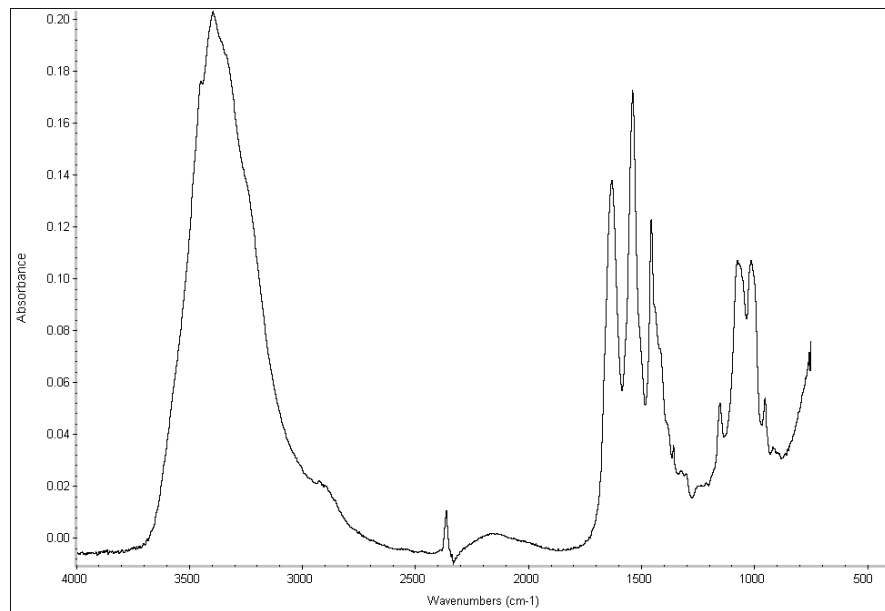
รูป ข.1 FT-IR ของไคโตซาน



รูป ข.2 FT-IR ของวัสดุเชิงประกอบไคโตซานและไฮดรอกซีอะพาไทต์สูตร HA1



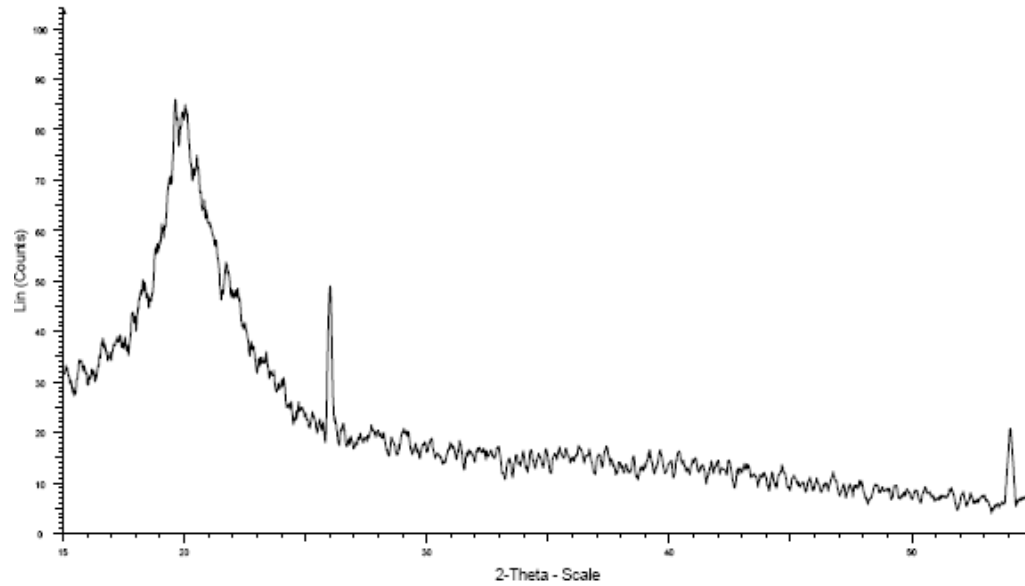
รูป ข.3 FT-IR ของวัสดุเชิงประกอบโคโตซานและไฮดรอกซีอะพาไทต์สูตร HA3



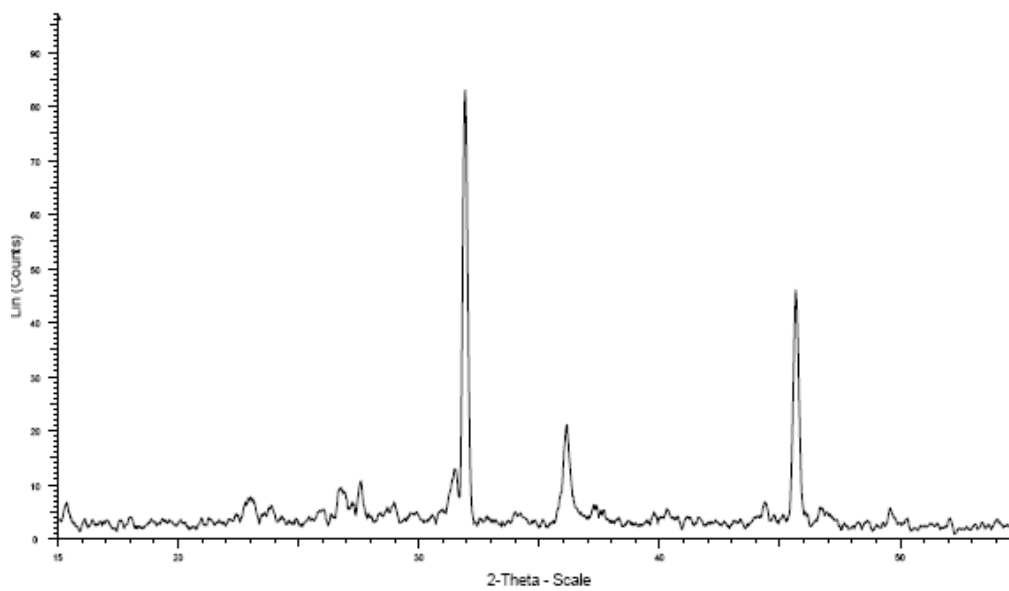
รูป ข.4 FT-IR ของวัสดุเชิงประกอบโคโตซานและไฮดรอกซีอะพาไทต์สูตร HA5

ภาคผนวก ค

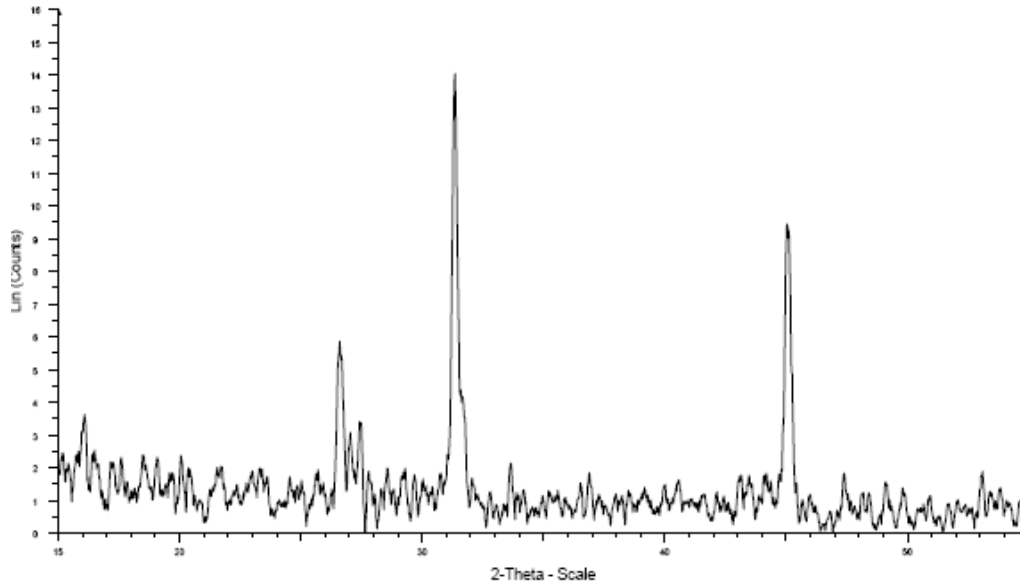
การวิเคราะห์ความเป็นผลึกของไฮดรอกซีอะพาไทต์ด้วยเทคนิค XRD



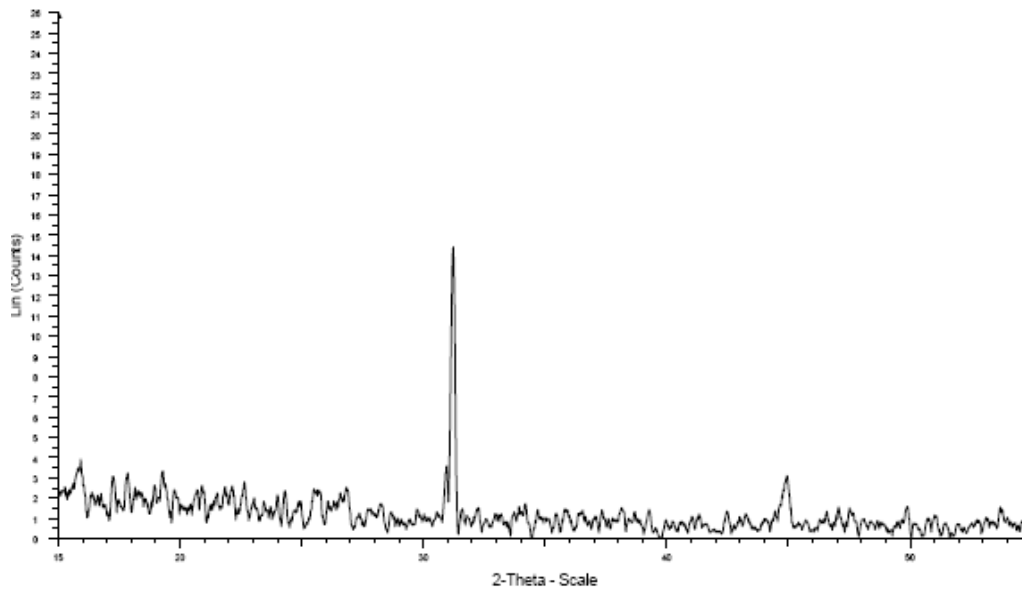
รูป ค.1 XRD ของโคโคซาน



รูป ค.2 XRD ของวัสดุเชิงประกอบโคโคซานและไฮดรอกซีอะพาไทต์สูตร HA1



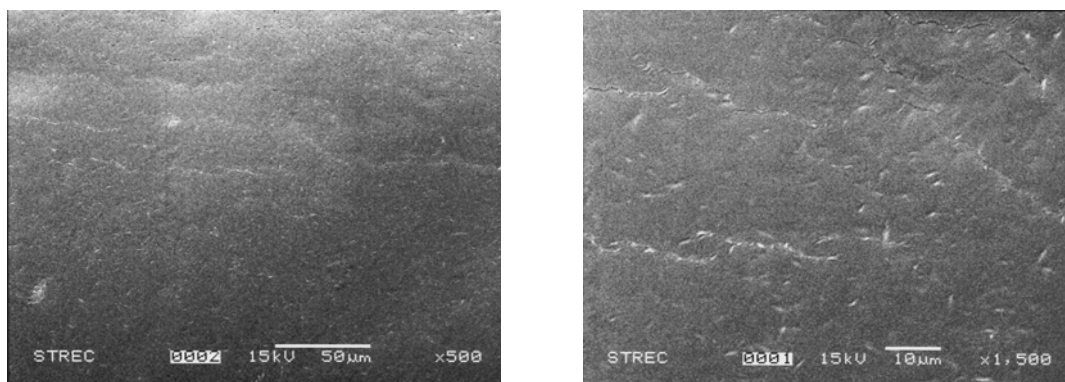
รูป ค.3 XRD ของวัสดุเชิงประกอบไคโตซานและไฮดรอกซีอะพาไทต์สูตร HA3



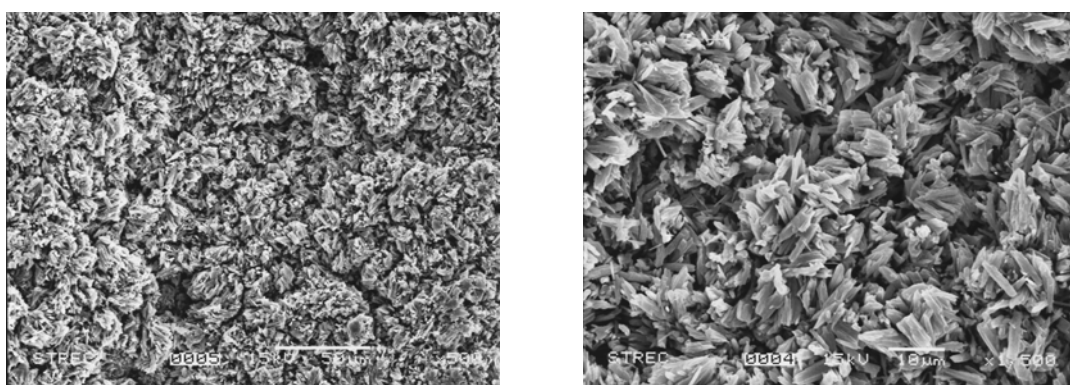
รูป ค.4 XRD ของวัสดุเชิงประกอบไคโตซานและไฮดรอกซีอะพาไทต์สูตร HA5

ภาคผนวก ง

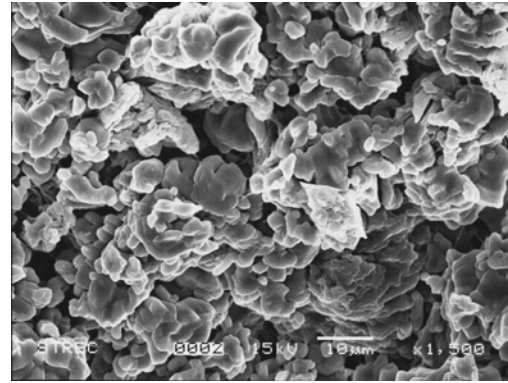
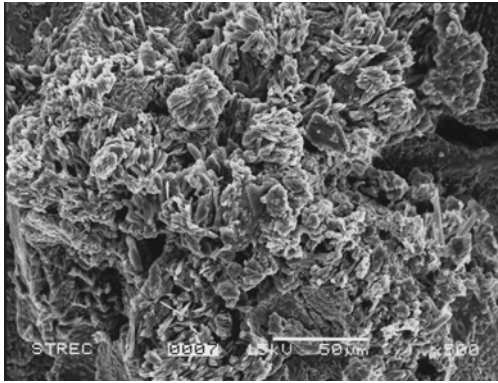
การวิเคราะห์ลักษณะพื้นฐานภายนอกของวัสดุเชิงประกอบด้วยเทคนิค SEM



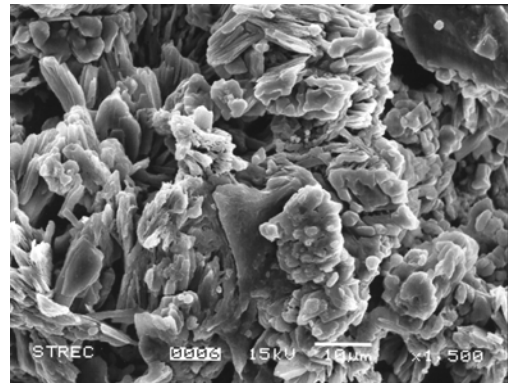
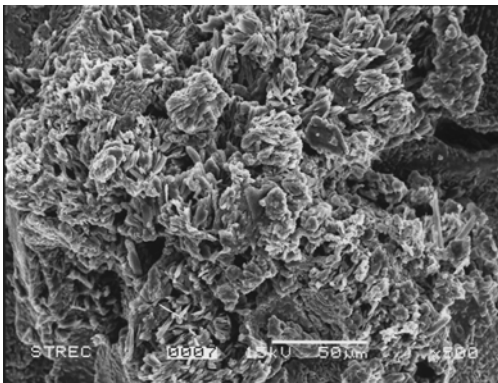
รูป ง.1 SEM ของโคโตซาน (กำลังขยาย 500 และ 1500 เท่า)



รูป ง.2 SEM ของวัสดุเชิงประกอบโคโตซานและไฮดรอกซีอะพาไทต์สูตร HA1 (กำลังขยาย 500 และ 1500 เท่า)



รูป ง.3 SEM ของวัสดุเชิงประกอบโคโตซานและไฮดรอกซีอะพาไทต์สูตร HA3 (กำลังขยาย 500 และ 1500 เท่า)



รูป ง.4 SEM ของวัสดุเชิงประกอบโคโตซานและไฮดรอกซีอะพาไทต์สูตร HA5 (กำลังขยาย 500 และ 1500 เท่า)

ภาคผนวก จ

การวิเคราะห์องค์ประกอบของธาตุด้วยเทคนิค EDS

ตาราง จ.1 อัตราส่วนของแคลเซียมต่อฟอสฟอรัส

สูตร	Ca/P	Ideal Ca/P
HA1	8.84	1.67
HA2	7.77	
HA3	5.47	

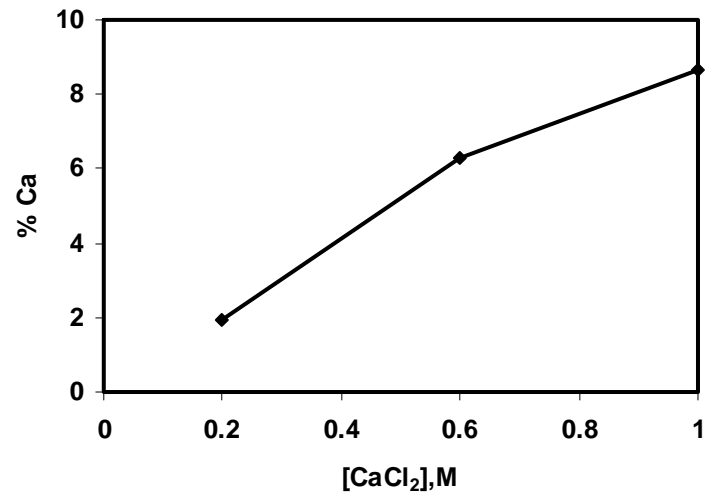
ตาราง จ.2 แคลเซียมที่หลงเหลือในวัสดุเชิงประกอบ

สูตร	% Atomic				Ca _{remain} ^c
	Ca ^a	Ca ^b	P ^a	Ideal Ca/P	
HA1	1.92	0.37	0.22	1.67	1.55
HA3	6.29	1.35	0.81		4.94
HA5	8.63	2.64	1.58		5.99

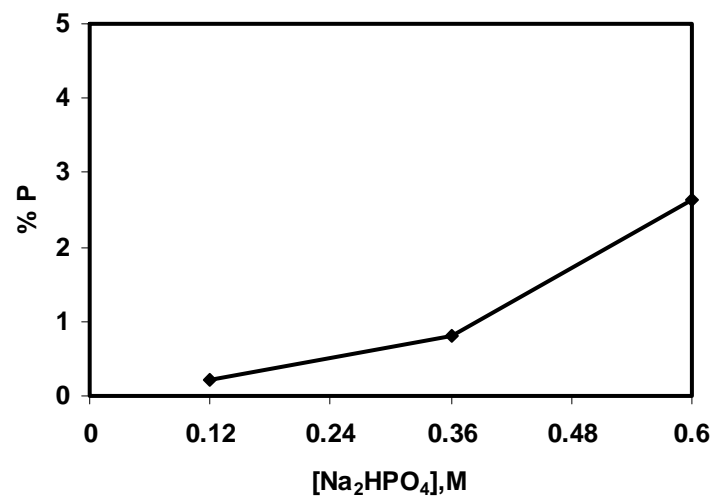
a ได้จาก % Atomic ที่วิเคราะห์จาก EDS

b ได้จากการคำนวณปริมาณ Ca ที่เกิดเป็นไฮดรอกซีอะพาไทต์ เมื่อมีปริมาณ P จากการทดลอง (a)

c ปริมาณ Ca ions ที่เหลือจากการเกิดปฏิกิริยาการสังเคราะห์ไฮดรอกซีอะพาไทต์ ซึ่งคำนวณจาก ปริมาณ Ca จากการทดลองหักจากปริมาณ Ca ที่เกิดเป็นไฮดรอกซีอะพาไทต์



รูป จ.1 ความสัมพันธ์ระหว่างปริมาณธาตุแคลเซียมและความเข้มข้นของสารละลายแคลเซียมคลอไรด์เริ่มต้นที่ใช้ในการสังเคราะห์ไฮดรอกซีอะพาไทต์



รูป จ.2 ความสัมพันธ์ระหว่างปริมาณธาตุฟอสฟอรัสและความเข้มข้นของสารละลายไดโซเดียมไฮโดรเจนฟอสเฟตเริ่มต้นที่ใช้ในการสังเคราะห์ไฮดรอกซีอะพาไทต์

ประวัติผู้เขียนวิทยานิพนธ์

นางสาวดุสิตา สหวัตร เกิดเมื่อวันที่ 20 สิงหาคม พ.ศ.2526 สำเร็จการศึกษาระดับปริญญาตรี คณะวิศวกรรมศาสตร์และเทคโนโลยีอุตสาหกรรม ภาควิชาวิทยาการและวิศวกรรมวัสดุ สาขาวิชาปิโตรเคมีและวัสดุพอลิเมอร์ มหาวิทยาลัยศิลปากร ในปีการศึกษา 2548 หลังจากนั้นจึงเข้าศึกษาต่อในหลักสูตรวิทยาศาสตรมหาบัณฑิต สาขาวิชาวิทยาศาสตร์พอลิเมอร์ประยุกต์และเทคโนโลยีสิ่งทอ คณะวิทยาศาสตร์ จุฬาลงกรณ์มหาวิทยาลัย เมื่อภาคปลายปีการศึกษา 2548 และสำเร็จการศึกษาในภาคต้นของปีการศึกษา 2550 รวมระยะเวลาในการศึกษา 2 ปี